

ブロック暗号を使った 秘匿, メッセージ認証, 及び認証暗号を目的とした 利用モードの技術調査報告

要旨: 本報告では, ブロック暗号を使うためにこれまで知られている利用モードのうち, 秘匿, メッセージ認証, 及び認証暗号の目的で利用できるものについての技術調査の報告を行う.
今回の調査内容では, 安全性と処理効率, その他の工業的, 暗号学的性質などを考慮して, 既存情報に関する総覧を与える.

Abstract: In this report, we report the survey regarding block-cipher modes of operation usable for confidentiality, message authenticity, and authenticated encryption.
Making this time of survey, we substantially concern security, efficiency, and other characteristics with respect to industry and cryptography.

目次

1	はじめに	5
1.1	各用語の簡単な説明	5
2	記号や用語の厳密な定義	8
2.1	記法	10
2.2	ブロック暗号	10
2.3	暗号化方式	11
2.4	メッセージ認証コード	12
2.5	メッセージ認証つき暗号化方式	13
3	各々の利用モードを定義する文書	13
3.1	商務省連邦情報処理規格 (FIPS), 特殊文書 (SP)	13
3.1.1	ブロック暗号プリミティブ	14
3.1.2	ブロック暗号利用モード	14
3.2	ISO/IEC	15
3.3	JIS	16
3.4	金融に関するセキュリティ標準	17
3.5	ANSI	17
3.6	AES 利用モード候補方式	17
3.7	IEEE ディスクセクター暗号	19
3.8	NESSIE	19
3.9	その他工業製品や業界標準などで利用されたもの	19
3.10	その他学術論文などに提案されたもの	20
4	安全性の定義	20
4.1	ブロック暗号の安全性	20
4.1.1	擬似ランダム置換族	20
4.1.2	強擬似ランダム置換族	22
4.1.3	上記以外のブロック暗号の安全性	22
4.2	秘匿の安全性	23
4.3	従来の秘匿定義の関係	28
4.4	メッセージ認証コードの安全性	28
4.4.1	弱偽造不可能性	29
4.4.2	強偽造不可能性	29
4.4.3	MAC-G が決定的アルゴリズムである場合の安全性	30
4.4.4	上記以外の安全性	31

4.5	攻撃者の能力	32
4.6	証明可能安全性の仮定	32
4.7	利用モードに対する攻撃	33
5	秘匿に関する利用モード	33
5.1	ECB	34
5.2	CBC	35
5.3	k -CFB	38
5.4	OFB	41
5.5	CTR	43
5.6	2DEM	46
5.7	ABC	46
5.8	IGE	47
5.9	自己同期型利用モード	47
5.10	F8@ 3GPP	49
6	認証暗号に関する利用モード	50
6.1	CCM	50
6.2	CWC	52
6.3	EAX	54
6.4	IACBC/XCBC	56
6.5	IAPM/OCB	58
6.6	k -PCFB	60
7	ディスクセクタ向け暗号利用モード	60
7.1	EMD	61
7.2	EME	61
7.3	CMC	62
7.4	NR	62
8	認証に関する利用モード	62
8.1	CBC MAC	63
8.2	EMAC	67
8.3	RMAC	69
8.4	XCBC	78
8.5	TMAC	81
8.6	OMAC	84
8.7	XOR MAC	88
8.8	XECB MAC	93

8.9	PMAC	101
8.10	f_9	104
9	まとめ	107
	参考文献	109

1 はじめに

ブロック暗号を非公式に定義すると、鍵をパラメータとして固定長ブロックのデータを可逆な演算として攪拌する暗号学的プリミティブである。性質として、鍵に関する情報を持たない攻撃者は出力結果から入力結果の情報が得られなかったり、入出力ペアから鍵情報を推定することが難しいなどの暗号学的強さを持つ。

ブロック暗号の利用モードとは、そのようなブロック暗号の使い方を定義するものであり、達成する機能として、秘匿やメッセージ認証、メッセージ認証つき暗号などがこれまで知られている。

本報告では、これまで知られる利用モードに関する技術情報のうち秘匿に関する利用モードについての技術調査の報告を行なう。今回の調査の主眼は、これまで知られる利用モードについてであって、その安全性、処理効率、その他工業的、暗号学的性質に置かれている。扱う利用モードは、各種標準化作業や学術出版物などで知られるものを扱う。

今回の調査の結果、扱う利用モードは、内部で用いるブロック暗号を選ぶものではなく、CRYPTREC[WWW2, WWW3] で選定された 64 ビットブロック暗号、128 ビットブロック暗号のどちらにも理論上適用することができ、利用モード一般に議論される範囲の安全性は達成できていると考えられる。

1.1 各用語の簡単な説明

ブロック暗号は固定長、 n ビットの平文を暗号化する。多くのブロック暗号では $n = 64$ や、 $n = 128$ である。ブロック暗号は、ブロック暗号利用モードのプリミティブとして用いられる。ブロック暗号利用モードの主な機能はメッセージの**秘匿** (privacy) と**認証** (authenticity) である。本報告書では、秘匿のためのブロック暗号利用モードを**暗号化方式** (encryption scheme)、認証のためのブロック暗号利用モードを**メッセージ認証コード** (message authentication code) という。また、これらの機能を併せもつブロック暗号利用モードを**メッセージ認証つき暗号化方式** (authenticated encryption scheme) という。

- 暗号化方式はブロック暗号を用いて、 n ビットより長いメッセージを暗号化する。送信者と受信者が秘密鍵 K を共有しており、送信者は暗号化アルゴリズム \mathcal{E} を用いて、平文 M と鍵 K から暗号文 $C = \mathcal{E}_K(M)$ を計算し、 C を受信者に送る。 M の長さは n ビット

よりも長くてよい。受信者は復号アルゴリズム D を用いて、暗号文 C と鍵 K から平文 $M = D_K(C)$ を計算する。

例として、ECB, CBC, OFB, CFB, CTR などがある。Fig. 1 参照。

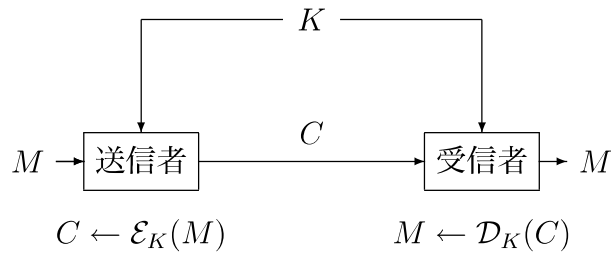


図 1: 暗号化方式のモデル

- メッセージ認証コードはブロック暗号を用いて、メッセージが偽造、改ざんされることを防ぐ技術である。送信者と受信者が秘密鍵 K を共有しており、送信者はタグ生成アルゴリズム G を用いて、平文 M と鍵 K からタグ $T = G_K(M)$ を計算し、メッセージ、タグのペア (M, T) を受信者に送る。 M の長さは、 n ビットよりも長くてよい。 T は固定長であり、 32, 64, 96, 128 ビット程度の長さが一般的である。 (M, T) を受け取った受信者は確認アルゴリズム V を用いて、受理信号、もしくは改ざん検出信号を出力する。 V は、受け取ったメッセージに対し、 $T^* = G_K(M)$ を計算し、 $T = T^*$ なら受理信号を、そうでなければ改ざん検出信号を出力する。

例として、CBC MAC, EMAC, OMAC, PMAC などがある。Fig. 2 参照。

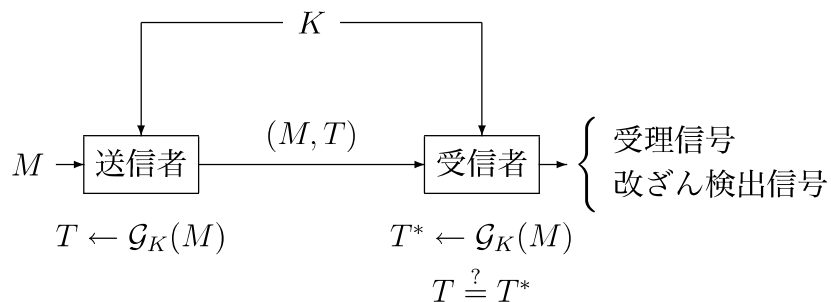


図 2: メッセージ認証コードのモデル

- メッセージ認証つき暗号化方式は、暗号化方式とメッセージ認証コードの機能を併せもつ。送信者と受信者が秘密鍵 K を共有しており、送信者は暗号化アルゴリズム \mathcal{E} を用いて、平文 M と鍵 K から暗号文 $C = \mathcal{E}_K(M)$ を計算し、 C を受信者に送る。受信者は復号アルゴリズム \mathcal{D} を用いて、暗号文 C と鍵 K から平文 $M = \mathcal{D}_K(C)$ を、もしくは改ざん検出信号を出力する。

例として、CCM, IAPM, OCB などがある。また、任意の暗号化方式とメッセージ認証コードを組み合わせてメッセージ認証つき暗号化方式を構成する方法が知られている。Fig. 3 参照。

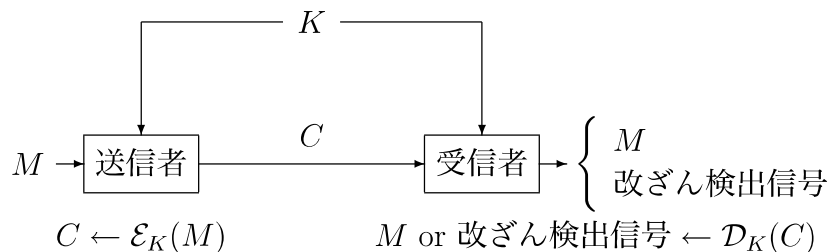


図 3: メッセージ認証つき暗号化方式のモデル

ブロック暗号利用モードの安全性 Bellare, Kilian, Rogaway により、CBC MAC の安全性が数学的に示された [BKR00]。ブロック暗号が安全な擬似ランダム置換族であれば、CBC MAC は偽造不可能性の意味で安全であることを示している。以降、多くのブロック暗号利用モードの安全性は、この種の証明可能安全性を根拠にしている。以下、暗号化方式、メッセージ認証コード、メッセージ認証つき暗号化方式、それぞれについて、安全性の定義を概説する。

- 暗号化方式に対しては、いくつかの安全性定義が存在する [BDJR97] が、ランダムビット列からの識別不能性 (indistinguishability from random strings) が一般的である。暗号文 C か、もしくは C と同じ長さのランダムビット列 R が与えられ、有意な確率でこの 2 つを見分けることができないとき、暗号化方式は安全である、という。
- メッセージ認証コードに対しては、偽造不可能性 (unforgeability) が一般的である。(鍵 K を知らずに) $T = \mathcal{G}_K(M)$ となる (M, T) を出力できないとき、メッセージ認証コードは安全である、という。

- メッセージ認証つき暗号化方式では、暗号化方式の安全性定義とメッセージ認証コードの安全性定義の両方を考える。
 - 暗号文 C か、もしくは C と同じ長さのランダムビット列 R が与えられ、有意な確率でこの 2 つを見分けることができない。
 - (鍵 K を知らずに) 改ざん検出信号 $\neq DEC_K(C)$ となる C を出力できない。

上記二つが成り立つとき、メッセージ認証つき暗号化方式は安全である、という。

ブロック暗号利用モードの効率 本報告書は、安全性を主眼にしているが、効率についても述べる。主に以下の点について述べる。

- 鍵長：安全性が変わらないのであれば、短いほうがよい。
- ブロック暗号鍵スケジューリングの呼び出し回数：一般的にブロック暗号鍵スケジューリングは計算時間がかかり、安全性が変わらないのであれば、少ないほうがよい。
- メッセージ M に対するタグを生成するのにかかるブロック暗号の呼び出し回数：安全性が変わらないのであれば、少ないほうがよい。
- 事前計算するべきブロック暗号の呼び出し回数：これらは、メッセージ M によらず実行できる。安全性が変わらないのであれば、少ないほうがよい。
- 並列処理性：ブロック暗号の並列処理が可能であれば、ハードウェア上で高速に実装できる。

2 記号や用語の厳密な定義

本章では本報告書で扱う記法をまとめるとともに、ブロック暗号、およびその利用モードの一般的な定義と、安全性の定義を述べる。

いくつかの標準化などでは、特定の利用モードを 64 ビットブロック暗号への適用のみに限定した記載などをしている場合がある。しかし、本稿で扱う利用モードすべては、処理単位長に特化した利用モードであることはない。よって、その暗号学的な本質を議論することを目的として、

汎用的なブロック暗号に対するモードとして議論を進める。具体的には、内部で用いるブロック暗号のブロック長を n ビットとする。

本稿では、排他的論理和演算を多用する。本稿ではそのサイズは文脈から明らかであり単に “ \oplus ” で示す。

あるシステムから固定長文字列を逐次的に生成する場合について、その文字列生成システム (または、生成する文字列) の性質として “nonce” (ナンス, と読む) を説明する。これは、生成時点より前には生成されたことがないような値を出力するものである。その例としてカウンタや時刻情報などがあるが、これらは無限にこの性質をもつものではない。そういう意味では乱数発生系列も確率的ではあるが、多くの場合において、“nonce” の性質を持っているといえる。

主に安全性の議論で参照される技術用語に、ランダム関数、擬似ランダム関数、及び擬似ランダム置換がある。これらの正確な定義は専門書、及び技術論文に譲るとしてここでは簡単にその説明をする。

ランダム関数とは、与えた入力に対してその出力が決定されるものの、その出力は、どんな情報からも推測できないランダムな値であるような関数のモデルである。このような関数は現実に存在するかどうかは別にして、そのような関数の振舞いをブロック暗号の性質に見立てて、利用モードの安全性を議論することがある。

しかし、ランダム関数は入力に対する出力がどのような方法を用いても推測できない、という性質は、現在のブロック暗号にそれを求めるのは無理がある。ブロック暗号には鍵入力がありこの鍵が求まってしまえば、どの入力がどの出力を出すかがわかってしまう。そこで、ある程度の時間、計算量をかけた上で破れるかもしれないようなランダム関数のモデルを擬似ランダム関数モデルという。これを証明などで扱う場合、パラメータがつく。

また、ブロック暗号は入力、出力の間に単射という性質がある。これ自身もランダム関数にはない特殊な性質であるので、実際のブロック暗号は、単なる擬似ランダム関数ではなく、さらに弱い擬似ランダム置換というモデルまで落して考えることが多い。ここで扱うモデルを擬似ランダム置換という。

ディスクセクタ暗号の部分などで、universal hash (汎用ハッシュ) と呼ばれる関数を考えることがある。これは、ある種の関数であって、ざっくり説明すると任意長の入力とパラメータから固定長の出力を出す関数であって、任意に固定した二つの入力が衝突する場合というのが、パラメータすべてのうちごくわずかであることが、どのような二入力メッセージについても言えるような関数である。ただし、パラメータを知っている攻撃者のようなものがいれば、衝突を作ることは必ずしも難しくない。

その他の用語、記号については以下のとおりに定義する:

ρ	ランダム関数モデル
π	擬似ランダム関数
$a \ll k$	レジスタ値 a を左に k ビットシフトする演算
$\text{msb}_k(a)$	レジスタ値 a の上位 k ビットの値
$\text{Enc}_K(\cdot)$	あるブロック暗号プリミティブの暗号化処理 (鍵 K)
$\text{Dec}_K(\cdot)$	あるブロック暗号プリミティブの復号化処理 (鍵 K)

2.1 記法

A が集合である場合, $a \stackrel{R}{\leftarrow} A$ は A から a を一様ランダムに選ぶことをあらわす. A がアルゴリズムである場合, $a \leftarrow A$ は A の実行結果を a とする, ということであらわす. A が確率的アルゴリズムであれば, $a \stackrel{R}{\leftarrow} A$ と表記する. 整数 l に対し, $\{0, 1\}^l$ はすべての l ビット列の集合をあらわす. また, $\{0, 1\}^{\leq l}$ は, l ビット以下のすべてのビット列の集合をあらわす. 長さ 0 のビット列 ε もこれに含める. 同様に, $(\{0, 1\}^l)^+$ は, 長さが l の整数倍のすべてのビット列からなる集合をあらわす. すなわち, $(\{0, 1\}^l)^+ = \bigcup_{l'=1, 2, \dots} \{0, 1\}^{ll'}$ である. 同様に, $\{0, 1\}^*$ は, すべてのビット列の集合を表す. すなわち, $\{0, 1\}^* = \bigcup_{l=0, 1, 2, \dots} \{0, 1\}^l$ である. a と b が同じ長さのビット列であれば, $a \oplus b$ はそれらのビットごとの排他的論理和をあらわす. a がビット列のとき, $|a|$ は a のビット長をあらわす.

2.2 ブロック暗号

ブロック暗号 (block cipher) E とは, $E: \mathcal{K}_E \times \mathcal{M}_E \rightarrow \mathcal{M}_E$ なる関数である. \mathcal{K}_E は, 鍵空間とよばれ, $\mathcal{K}_E = \{0, 1\}^k$ のとき, k を鍵長という. \mathcal{M}_E は, メッセージ空間, もしくは平文空間とよばれ, $\mathcal{M}_E = \{0, 1\}^n$ のとき, n をブロック長という. ただし, すべての $K \in \mathcal{K}_E$ に対し, $E(K, \cdot)$ は \mathcal{M}_E 上の置換でなくてはならない. $E(K, \cdot)$ は \mathcal{M}_E 上の置換なので, その逆関数 $E^{-1}(K, \cdot)$ が存在する. すべての鍵 $K \in \mathcal{K}_E$ とすべての平文 $X \in \mathcal{M}_E$ に対し, $E^{-1}(K; E(K, X)) = X$ であり, すべての鍵 $K \in \mathcal{K}_E$ とすべての暗号文 $Y \in \mathcal{M}_E$ に対し, $E(K; E^{-1}(K, Y)) = Y$ である. 関数 $E(K; \cdot)$ を暗号化関数, 関数 $E^{-1}(K; \cdot)$ を復号関数という. それぞれ $E_K(\cdot)$, $E_K^{-1}(\cdot)$ と表記する.

2.3 暗号化方式

暗号化方式 (encryption scheme) はメッセージ秘匿のためのブロック暗号利用モードである。暗号化方式 ENC は、三つのアルゴリズム $ENC = (ENC-K, ENC-E, ENC-D)$ から成る。 $ENC-K$ を鍵生成アルゴリズム, $ENC-E$ を暗号化アルゴリズム, $ENC-D$ を復号アルゴリズムという。また, メッセージ空間 \mathcal{M}_{ENC} をもつ。

ここで, 鍵生成アルゴリズム $ENC-K$ は確率的アルゴリズムであり, 入力はなく, ランダムな鍵 K を出力する。 $K \stackrel{R}{\leftarrow} ENC-K$ と表記する。暗号化アルゴリズム $ENC-E$ は, 確率的, 決定的, 状態をもつ, もしくは nonce を利用するアルゴリズムである。鍵 K とメッセージ $M \in \mathcal{M}_{ENC}$ を入力とし, 暗号文 C を出力する。 $C \stackrel{R}{\leftarrow} ENC-E(K; M)$ や $C \leftarrow ENC-E(K; M)$ と表記する。また, 乱数や状態を明示的に入力に示すこともある。

暗号化アルゴリズムが確率的アルゴリズムである場合, 入力 (K, M) が与えられるたびに乱数を選び, それを用いて暗号文 C を計算する。アルゴリズムが呼び出されるたびに乱数を選びなおす。同じ入力度 2 度アルゴリズムを呼び出したとしても, 同じ出力になるとは限らない。

暗号化アルゴリズムが状態をもつアルゴリズムである場合, まずある定められた方法に従って状態を初期化する。入力 (K, M) が与えられると, (K, M) と現在の状態に応じて暗号文 C を計算し, 状態を更新し, 新しい状態を保持する。多くの場合, 状態は単なるカウンタである。

暗号化アルゴリズムが nonce を用いるアルゴリズムである場合, メッセージごとに異なる値である nonce を用いる。メッセージを数えるカウンタは, メッセージごとに異なる値であるので, nonce として用いることができる。ただし, nonce はカウンタのように値が増える (あるいは減る) 必要はなく, 単に異なるメッセージに対しては, 異なる値であればよい。

復号アルゴリズム $ENC-D$ は, 決定的アルゴリズムであり, 鍵 K と暗号文 C を入力とし, メッセージ M を出力する。 $M \leftarrow ENC-D(K; C)$ と表記する。

全ての鍵 K と全てのメッセージ M に対し,

$$ENC-D(K; ENC-E(K; M)) = M$$

でなければならない。

$ENC-E(K; \cdot)$ と $ENC-D(K; \cdot)$ を, $ENC-E_K(\cdot)$ や $ENC-D_K(\cdot)$ と表記する。

例として, 一般的な ECB, CBC, OFB, CFB, CTR [SP800-38A], ディスク暗号化用の NR [NR99], CMC [HR03b], 3GPP の $f8$ [3GPPa, 3GPPb] などがある。

2.4 メッセージ認証コード

メッセージ認証コード (Message Authentication Code, MAC) MAC は、メッセージ認証のためのブロック暗号利用モードである。メッセージ認証コード MAC は、三つのアルゴリズム $MAC = (MAC-K, MAC-G, MAC-V)$ から成る。 $MAC-K$ を鍵生成アルゴリズム、 $MAC-G$ をタグ生成アルゴリズム、 $MAC-V$ を確認アルゴリズムという。また、メッセージ空間 \mathcal{M}_{MAC} とタグ空間 \mathcal{T}_{MAC} をもつ。

鍵生成アルゴリズム $MAC-K$ は確率的アルゴリズムであり、入力はなく、鍵 K を出力する。 $K \stackrel{R}{\leftarrow} MAC-K$ と表記する。

タグ生成アルゴリズム $MAC-G$ は、確率的、決定的、もしくは状態をもつアルゴリズムである。鍵 K とメッセージ $M \in \mathcal{M}_{MAC}$ を入力とし、タグ $T \in \mathcal{T}_{MAC}$ を出力する。 $T \stackrel{R}{\leftarrow} MAC-G(K; M)$ や $T \leftarrow MAC-G(K; M)$ と表記する。また、乱数や状態を明示的に入力に示すこともある。

$MAC-G$ が確率的アルゴリズムである場合、入力 (K, M) が与えられるたびに乱数を選び、それを用いてタグ T を計算する。アルゴリズムが呼び出されるたびに乱数を選びなおす。同じ入力で2度アルゴリズムを呼び出したとしても、同じ出力になるとは限らない。

$MAC-G$ が状態をもつアルゴリズムである場合、まずある定められた方法に従って状態を初期化する。入力 (K, M) が与えられると、 (K, M) と現在の状態に応じてタグ T を計算し、状態を更新し、新しい状態を保持する。多くの場合、状態は単なるカウンタである。

確認アルゴリズム $MAC-V$ は、決定的アルゴリズムであり、鍵 K 、メッセージ $M \in \mathcal{M}_{MAC}$ 、タグ $T \in \mathcal{T}_{MAC}$ を入力とし、 `accept or reject` を出力する。 $MAC-V(K; M; T) = \text{accept}$ や、 $MAC-V(K; M; T) = \text{reject}$ と表記する。

全ての鍵 K と全てのメッセージ M に対し、

$$MAC-V(K; M; MAC-G(K; M)) = \text{accept}$$

でなければならない。

$MAC-G(K; \cdot)$ と $MAC-V(K; \cdot; \cdot)$ を、 $MAC-G_K(\cdot)$ や $MAC-V_K(\cdot, \cdot)$ と表記する。

例として、CBC MAC [BKR00], EMAC [BB+95, PR00], RMAC [JJ+02a, JJ+02b, JJ+02c], XCBC [BR00], TMAC [KI03], OMAC [IK03a], XOR MAC [BGR95], XECB MAC [GD01a], PMAC [BR02], f_9 [3GPPa, 3GPPb] などがある。

2.5 メッセージ認証つき暗号化方式

メッセージ認証つき暗号化方式 (authenticated encryption scheme) はメッセージ秘匿とメッセージ認証の機能を併せ持つブロック暗号利用モードである。メッセージ認証つき暗号化方式 AE は、三つのアルゴリズム $AE = (AE-K, AE-E, AE-D)$ から成る。 $AE-K$ を鍵生成アルゴリズム、 $AE-E$ を暗号化アルゴリズム、 $AE-D$ を復号アルゴリズムという。また、メッセージ空間 M_{AE} をもつ。

ここで、鍵生成アルゴリズム $AE-K$ は確率的アルゴリズムであり、入力はなく、ランダムな鍵 K を出力する。 $K \stackrel{R}{\leftarrow} AE-K$ と表記する。暗号化アルゴリズム $AE-E$ は、確率的、決定的、状態をもつ、もしくは nonce を利用するアルゴリズムである。鍵 K とメッセージ $M \in M_{AE}$ を入力とし、暗号文 C を出力する。 $C \stackrel{R}{\leftarrow} AE-E(K; M)$ や $C \leftarrow AE-E(K; M)$ と表記する。また、乱数や状態を明示的に入力に示すこともある。

復号アルゴリズム $AE-D$ は、決定的アルゴリズムであり、鍵 K と暗号文 C を入力とし、メッセージ M 、もしくは改ざん検出信号を出力する。 $M \leftarrow AE-D(K; C)$ や、改ざん検出信号 $\leftarrow AE-D(K; C)$ と表記する。

全ての鍵 K と全てのメッセージ M に対し、

$$AE-D(K; AE-D(K; M)) = M$$

でなければならない。

$AE-E(K; \cdot)$ と $AE-D(K; \cdot)$ を、 $AE-E_K(\cdot)$ や $AE-D_K(\cdot)$ と表記する。

例として、IACBC, IAPM [J01], OCB [RBBK01a], XCBC [GD01a], CCM [WHF02, J02], CWC [KVVW03], EAX [BRW03] などがある。

3 各々の利用モードを定義する文書

利用モードは各種標準化や、学術文書において定義されることが多い。ここでは、利用モードを定義する文書についての紹介を行う。

3.1 商務省連邦情報処理規格 (FIPS), 特殊文書 (SP)

米国では政府などで用いる暗号技術の方式を FIPS (Federal Information Processing Standard, 商務省連邦情報処理規格) で定めている [WWW4]。FIPS は NIST (National Institute of Standards and Technology, 商務省技術標準局) [WWW5] で編集が行なわれ、管理されている。

3.1.1 ブロック暗号プリミティブ

本報告の主要な対象技術はブロック暗号利用モードである。しかしブロック暗号プリミティブに関する記載も完全に不要というわけでない。最低限の情報がわかるために、ここではFIPSで記載のブロック暗号のうちDES, AESについて、仕様の概要を紹介する。

Data Encryption Standard (DES) ブロック暗号に関するNISTの標準としては、DES(Data Encryption Standard, データ暗号化規格)がFIPS46(1977年1月15日)で定義されており、現在その改訂などによりFIPS46-3(2003年11月時点)が公開されている[FIPS46-3]。FIPS46-3では、DESのブロック暗号としての強度を高める目的でTDEA(Triple Data Encryption Algorithm, 三連DES)が定義されており、三つ鍵版(K_1, K_2, K_3)の定義をもとに、鍵利用オプションとして二個鍵版($K_1 = K_3$)やDESコンパクト版($K_1 = K_2 = K_3$)が定義されている。これが通称トリプルDES(T-DES, 3DES)である。

DESは鍵長64ビットであるが、そのうちパリティビット8ビットは暗号学的強度に寄与しないため、実質56ビットである。ブロックサイズは64ビットである。TDEAはブロックサイズは変わらず、実質鍵長が、三つ鍵版168ビット、二つ鍵版112ビットである。

Advanced Encryption Standard (AES) DESやTDEAの安全性への懸念を受けて、NISTは1997年からの標準化活動の結果として、2001年11月26日、AES(Advanced Encryption Standard, 次世代暗号標準)をFIPS197として定義した[FIPS197]。

AESはブロック長128ビットで、鍵長は128ビット、192ビット、256ビットの三つの鍵長の処理(AES-128, AES-192, AES-256)が定義されている。

3.1.2 ブロック暗号利用モード

歴史的に標準を紹介すると、NISTはDESをFIPS掲載してから間もなく、DESの利用方法を定める**DES利用モード**をFIPS81で定義した(1980年12月2日)[FIPS81]。また、仕様書の誤植の変更として1891年11月20日にChange Noticeが発行された。FIPS81では、ECB, CBC, k -CFB, k -OFBの4つのモードが定義されている。ただし、この文書に対するChange Notice 2(1996年5月31日)において、 k -OFBに関しては $k < 64$ では使うべきでなくこれを以降サポートしない由が記載された。

Change Notice 3は64-bit OFBのテストベクトルのみ記載されている。同様にFIPS113では、DESを使ったメッセージ認証符号の生成方法としてCBC-MACを定義している[FIPS113]。

NISTは次にAESのための利用モードを定義するが、ここではFIPSではなくSpecial Publicationとしての発行が準備されている[WWW6]。2003年11月時点では、5つの秘匿に関する利用モードがSP800-38A(2001年12月版)として定義されている(2001年12月版)[SP800-38A]。これには、FIPS81で定義した4つのモードに加えて、CTRモードが挿入されている。またOFBモードは安全性の観点からパラメータ k はブロックサイズのみとし、末端処理の定義を付け加えている。これら方式は、FIPS認定の任意のブロック暗号アルゴリズムに適用できると記載されている。

またブロック暗号からメッセージ認証符号を生成するためのモードについては、2003年11月時点でSP800-38BとしてNISTが準備中であり、ドラフト版では、RMACを定義している[SP800-38B]。そして、もうひとつ、認証暗号(すなわち、復号化時、暗号文の改竄を検出できる暗号処理)の標準をSP800-38Cとして準備中であり、ドラフト版ではCCMを定義している[SP800-38C]。SP800-38Bと、SP800-38Cはドラフト版であり、今後の動向を注視する必要がある。

SP800-38A 暗号化方式 (ECB, CBC, CFB, OFB, CTR)

SP800-38B メッセージ認証コード (RMAC, ドラフト版である)

SP800-38C メッセージ認証つき暗号化方式 (CCM, ドラフト版である)

また、DESを定義するFIPS46-3でもANSI X9.52で定義される7つの利用モードの利用を認めている。7つとは、すべてTDEA用であって4つはECB, CBC, CFB, OFBであり、残りはANSI X9.52版CBC, CFB, OFBモードである(これらはインターリーピング、すなわちパイプライン処理系にも適用できるような仕様変更がなされている)。

3.2 ISO/IEC

ISO(International Organization for Standardization, 国際標準化機構)、及びIEC(International Electrotechnical Commission, 国際電気標準会議)は一部の国際規格を共同で策定している。特に暗号技術に関する分野では、ISO/IEC JTC 1/SC27などで標準化会議が開かれ、暗号や情報セキュリティに関するISO/IEC標準文書が作成されている。

利用モードに関する標準化文書としては、IS 8372(64ビットブロック暗号利用モード)[ISO8372]、ISO 10116[ISO10116] (n ビットブロック暗号

利用モード, 2002年6月26日)がある。IS 8372の記述は, ISO 10116に統合されることから, 近い将来ISが抹消されることになる。現在文書中には, ECB, CBC, CFB, OFBの4つのモードが定義されているが, 次の改訂作業でCTRモードが新たに加わる方向で議論が進んでいる。

また, ISOの金融取引に関する標準化TC68では, 8731-1でCBC-MACを定義している。

ISO 8372 64ビットブロック暗号利用モードである。4つの暗号化方式ECB, CBC, CFB, OFBを定めている。DESに関するFIPS 81とANSI X3.106を一般化し, 任意の64ビットブロック暗号を対象としたものになっている。

ISO 9797 メッセージ認証コードである。CBC MACを定めている。同様の標準として, ISO 8731-1, ISO 9807, ANSI X9.9, ANSI X9.19がある。

ISO 10116 ISO 8372を n ビットブロック暗号について定めたものである。

ISO 8631-1 ISOのTC68では金融サービスのためのセキュリティ標準を定めている。以下の標準を定めている。

ISO 8731-1 メッセージ認証コード, CBC MAC
ISO 10126 メッセージ暗号化

3.3 JIS

JIS(日本工業規格)は, JISC(Japanese Industrial Standard Committee, 日本工業標準調査会)が制定・改正を行なう日本の工業標準となる国家規格である。具体的には, JISCでの審議のあと, 主務大臣により制定され, JSA(Japanese Standards Association, 日本規格協会)から発行される。

JISでの利用モードに関する規格として, JIS X 5052, JIS X 5003がある。前者はISO 8372ならびにANSI X3.106 (American National Standard for Information Systems – Data Encryption Algorithm – Modes of Operation)と同一であり, JIS X 5053はISO/IEC 10116と同一である。

表 1: 秘匿のための利用モード一覧

略号	名前	日本語
2DEM	2D-Encryption Mode	二次元暗号
ABC	Accumulated Block Chaining	累積ブロック連鎖
CTR	Counter Mode Encryption	カウンタ
IGE	Infinite Garble Extention	無限改竄拡張

3.4 金融に関するセキュリティ標準

ANSI X3 ANSI (American National Standards Institute) では, 以下の 2 つの標準を定めている.

- ANSI X3.92 FIPS 46 で定められている DES
- ANSI X3.106 FIPS 81 で定められている DES の利用モード

ANSI X9 ANSI X9 シリーズでは, 以下の標準を定めている.

- ANSI X9.9 メッセージ認証コード, CBC MAC
- ANSI X9.19 メッセージ認証コード, CBC MAC
- ANSI X9.23 メッセージ暗号化
- ANSI X9.52 Triple DES と利用モード

3.5 ANSI

ANSI(American National Standards Institute, アメリカ規格協会)[WWW7]では, 主に ANSI X3.106, X3.92 で共通鍵暗号技術を標準化している. 具体的には, ANSI X3.92 は DES を定義し, X3.106 でその利用モードを定義する.

3.6 AES 利用モード候補方式

NIST が AES の利用モードを策定する活動でも, いくつかの利用モードが提案された. 2003 年 11 月時点での公開されている提案利用モードは表 1, 2, 3, 4 のとおり.

表 2: AES に提案された MAC 生成のための利用モード

略号	名前	日本語
OMAC	OMAC: One-Key CBC	一個鍵 CBC
PMAC	Parallelizable M-.A-.Code	並列 MAC
RMAC	Randomized MAC	攪拌 MAC
TMAC	Two-Key CBC-MAC	二個鍵 CBC-MAC
XCBC	Extended Cipher Block Chaining MAC	拡張 CBC-MAC
XECB	eXtended Electronic Code Book MAC	拡張 ECB-MAC

表 3: AES に提案された認証暗号のための利用モード

略号	名前
CCM	Counter with CBC-MAC
CWC	Carter Wegman with Counter
EAX	A Conventional Authenticated-Encryption Mode
IACBC	Integrith Aware Cipher Block Chaining
IAPM	Integrith Aware Parallelizable Mode
OCB	Offset Codebook
PCFB	Propagating Cipher Feedback
XCBC	eXtended Cipher Block Chaining Encryption

表 4: AES に提案されたその他の利用モード

略号	名前	日本語
KFB	Key Feedback Mode	鍵フィードバック
AES-hash	AES-hash	AES ハッシュ

3.7 IEEE ディスクセクター暗号

IEEE(the Institute of Electrical and Electronics Engineers, Inc., 電気電子学会) の Security in Storage WG[WWW1] では, セクターレベルの記憶装置における機密情報を守る構想を定義し, 暗号アルゴリズムや利用モードを定義している. 2003 年 11 月まで, 5 回の会合 (2002 年 6 月 20 日 New York/ 2002 年 10 月 10 日 Ontario, Canada/ 2002 年 12 月 10 日 Maryland/ 2003 年 4 月 10 日 San Diego, CA/ 2003 年 8 月 21~22 日 Goleta, CA) とワークショップ (SISW2003, 2003 年 10 月 31 日 Washington D.C.) が開催された.

2003 年 11 月時点では標準化活動が進行中である.

3.8 NESSIE

NESSIE (New European Schemes for Signatures, Integrity, and Encryption) [WWW8] はヨーロッパで 2000 年 1 月に開始された 3 年間のプロジェクトで, ブロック暗号, メッセージ認証コード, 公開鍵暗号, ハッシュ関数といった暗号プリミティブの評価を行うことを目的としている. 2003 年 2 月の最終報告書が公開され, メッセージ認証コードでは EMAC が portfolio に含まれた.

3.9 その他工業製品や業界標準などで利用されたもの

3GPP(3rd Generation Partnership Project) では, ブロック暗号 KASUMI[3GPPb] 及びその利用モード [3GPPa] が作成されている. 暗号化方式として f_8 が, メッセージ認証コードとして f_9 が策定されている. それぞれ従来よく知られた利用モードとは異なるものを用いている.

RFC2040 ではブロック暗号 RC5(TM) の利用方法として, CBC をベースにした末端処理つき CBC モードが記載されている. これは CTS (Cipher Text Stealing, 暗号文窃盗) と呼ばれている [RFC2040].

また, Kerberos Version 4 では, 認証暗号の目的で PCBC が用いられていたが, 安全性の観点で欠陥が見つかったため, Version 5 では使われなくなった.

3.10 その他学術論文などに提案されたもの

主に学会でもブロック暗号の利用については議論されている。この中には、自己同期式利用モード各種 [M91, JR99, AGPS02], iaPCBC[GD99], NCBC, RPC などがある。

また、ブロック暗号の利用方法、という観点からもいくつかの提案があり、ブロック暗号を暗号学的一方向性ハッシュ関数に変換する利用モード [BRS02, PGV94] や、ブロック暗号から、AONT(All-or-Nothing-Transform, 完全出鱈目変換) の手法を与える利用モード [R97], さらに、秘密でない乱数鍵が刺さったブロック暗号を鍵つきブロック暗号に変換する手法 [EM97] (さらにこれに対する安全性の検討 [D93]), 鍵長の短いブロック暗号の全数探索への強化方法 [KR96] (およびそれに関する検討 [M02]) などがある。

4 安全性の定義

利用モードの安全性の議論は 1990 年代から多く議論されるようになった。その大きな話題のひとつが、証明可能安全性に関する議論である。これは、内部で用いるブロック暗号を疑似ランダム置換 (PRP) としてモデル化しながら、利用モードが提供する機能を数学的に証明するものである。この利用モードにおける証明可能安全性についてより深く紹介する。

4.1 ブロック暗号の安全性

ブロック暗号の代表的な安全性の定義として、疑似ランダム置換 (pseudorandom permutation) としての安全性と強疑似ランダム置換 (superpseudorandom permutation, あるいは strong-pseudorandom permutation) としての安全性がある。

4.1.1 疑似ランダム置換族

ブロック暗号 $E : \mathcal{K}_E \times \mathcal{M}_E \rightarrow \mathcal{M}_E$ は、 \mathcal{M}_E 上の置換族 $\{E_K(\cdot) \in \text{Perm}(\mathcal{M}_E) \mid K \in \mathcal{K}_E\}$ と捉えることができる。ここで、 $\text{Perm}(\mathcal{M}_E)$ は \mathcal{M}_E 上のすべての置換の集合である。

直感的に、「あるブロック暗号が疑似ランダム置換族である」とは、適応的選択平文攻撃を行う任意の敵が、置換族 $\{E_K(\cdot) \in \text{Perm}(\mathcal{M}_E) \mid K \in \mathcal{K}_E\}$ と \mathcal{M}_E 上のすべての置換の集合 $\text{Perm}(\mathcal{M}_E)$ を区別できないことをいう。

より厳密には、敵 A として、オラクルにアクセスできるアルゴリズムを考える。何回かの質問の後、 A は 1 ビットを出力する。ブロック暗号 $E: \mathcal{K}_E \times \mathcal{M}_E \rightarrow \mathcal{M}_E$ の、敵 A に対する、擬似ランダム置換としての安全性は、アドバンテージ $\text{Adv}_E^{\text{prp}}(A)$ によって評価される。ここで、

$$\text{Adv}_E^{\text{prp}}(A) \stackrel{\text{def}}{=} \left| \Pr(K \stackrel{R}{\leftarrow} \mathcal{K}_E : A^{E_K(\cdot)} = 1) - \Pr(P \stackrel{R}{\leftarrow} \text{Perm}(\mathcal{M}_E) : A^{P(\cdot)} = 1) \right|$$

と定義され、 $A^{E_K(\cdot)}$ は質問 X に対し、 $Y = E_K(X)$ を返すオラクル $E_K(\cdot)$ を持つ敵 A を表し、 $A^{P(\cdot)}$ は質問 X に対し、 $Y = P(X)$ を返すオラクル $P(\cdot)$ を持つ敵 A を表す。特に断りがなければ、質問は適応的に行う。すなわち、ある質問に対する答えを得た後、次の質問を行う。

$\text{Perm}(\mathcal{M}_E)$ から一様ランダムに選ばれた P を \mathcal{M}_E 上のランダム置換、あるいは単に、ランダム置換という。

計算量理論的安全性 上記の定義はある一つの敵に対する評価である。一般的に、敵が利用できる資源をパラメータにし、そのパラメータを利用するすべての敵の最大のアドバンテージを考える。ブロック暗号の擬似ランダム置換族としての安全性を考える場合に扱う資源は、実行時間 t とオラクルへの質問回数 q である。ここで、実行時間に関しては、ある計算のモデルが固定されているとする。その単位時間によって、ランダムに K を選ぶ時間や、 $E_K(X)$ の計算にかかる時間があらかわせるものとする。また、実行時間 t には、 A の記述に要する長さ (A を記述するプログラムの長さ) が含まれているものとし、また、 A の実行に関するすべての時間が含まれる。これにはランダムに K を選ぶ時間や、(オラクルとの) 入出力にかかる時間、等も含まれる。以降のすべての実行時間 t は同様に定義される。

$$\text{Adv}_E^{\text{prp}}(t, q) \stackrel{\text{def}}{=} \max_A \{ \text{Adv}_E^{\text{prp}}(A) \}$$

と定義される。ただし、最大値は実行時間 t , オラクルへの質問回数 q のすべての敵 A についてとる。

この定義においては、正確には「安全な擬似ランダム置換族」という概念は存在しない。すべてのブロック暗号 E は、ある大きさの $\text{Adv}_E^{\text{prp}}(t, q)$ をもつ置換族である。「 E が安全な擬似ランダム置換族である」や、「 E が擬似ランダム置換族である」という表現や仮定は、「適当に大きい t と q に対し、 $\text{Adv}_E^{\text{prp}}(t, q)$ が十分小さい」ということを意図している。厳密な安全性の定理を言う場合にはこれらの表現は用いない。

4.1.2 強擬似ランダム置換族

「あるブロック暗号が強擬似ランダム置換族である」とは、適応的選択平文暗号文攻撃を行う任意の敵が、置換族 $\{E_K(\cdot) \in \text{Perm}(\mathcal{M}_E) \mid K \in \mathcal{K}_E\}$ と \mathcal{M}_E 上のすべての置換の集合 $\text{Perm}(\mathcal{M}_E)$ を区別できないことをいう。

より厳密には、敵 A として、2つのオラクルにアクセスできるアルゴリズムを考える。何回かの質問の後、 A は1ビットを出力する。ブロック暗号 $E: \mathcal{K}_E \times \mathcal{M}_E \rightarrow \mathcal{M}_E$ の、敵 A に対する、強擬似ランダム置換としての安全性は、アドバンテージ $\text{Adv}_E^{\text{sprp}}(A)$ によって評価される。ここで、

$$\text{Adv}_E^{\text{sprp}}(A) \stackrel{\text{def}}{=} \left| \Pr(K \xleftarrow{R} \mathcal{K}_E : A^{E_K(\cdot), E_K^{-1}(\cdot)} = 1) - \Pr(P \xleftarrow{R} \text{Perm}(\mathcal{M}_E) : A^{P(\cdot), P^{-1}(\cdot)} = 1) \right|$$

と定義され、 $A^{E_K(\cdot), E_K^{-1}(\cdot)}$ は質問 X に対し、 $Y = E_K(X)$ を返す暗号化オラクル $E_K(\cdot)$ と、質問 Y に対し、 $X = E_K^{-1}(Y)$ を返す復号オラクル $E_K^{-1}(\cdot)$ を持つ敵 A を表し、 $A^{P(\cdot), P^{-1}(\cdot)}$ は質問 X に対し、 $Y = P(X)$ を返す暗号化オラクル $P(\cdot)$ と、質問 Y に対し、 $X = P^{-1}(Y)$ を返す復号オラクル $P^{-1}(\cdot)$ を持つ敵 A を表す。特に断りがなければ、質問は適応的に行う。すなわち、ある質問に対する答えを得た後、次の質問を行う。

計算量理論的安全性 ブロック暗号の強擬似ランダム置換族としての安全性を考える場合に扱う資源は、実行時間 t 、暗号化オラクルへの質問回数 q_e 、復号オラクルへの質問回数 q_d である。

$$\text{Adv}_E^{\text{sprp}}(t, q_e, q_d) \stackrel{\text{def}}{=} \max_A \{ \text{Adv}_E^{\text{sprp}}(A) \}$$

と定義される。ただし、最大値は実行時間 t 、暗号化オラクルへの質問回数 q_e 、復号オラクルへの質問回数 q_d のすべての敵 A についてとる。

一般に、「 E が安全な強擬似ランダム置換族である」や、「 E が強擬似ランダム置換族である」という表現は、「適当に大きい t, q_e, q_d に対し、 $\text{Adv}_E^{\text{sprp}}(t, q_e, q_d)$ が十分小さい」ということを意図している。

4.1.3 上記以外のブロック暗号の安全性

上記以外にもブロック暗号の安全性定義がいくつか存在する。鍵関連攻撃を考慮した安全性定義 [BK03] などがこれに含まれる。

また、理想的ブロック暗号モデル (ideal-block cipher model) というブロック暗号のモデル化がある。ハッシュ関数のランダムオラクルに対応するものであり、RMAC [JJ+02a, JJ+02b] の安全性解析に用いられた。

4.2 秘匿の安全性

暗号学における利用モードに関する安全性とは、想定した攻撃者に対するメカニズムの性質を議論する。よって、攻撃者をきちんと定義する必要がある。

ここで考える攻撃者は限られた能力をもつものであって、指定されたこと以外の動作や、動作から得られる以外の情報の獲得は考えられていない。研究として、なるべく現実に近い、すなわち能力が高く、さまざまな能力をもつ攻撃者を検討する方向はあるが、完全ではない。

ここで考える攻撃者は、まず最低質問オラクルとのゲームを1回だけ行なう。また、攻撃者の能力としてそれとは別にさまざまなオラクルへの通信が可能である。

多くのモデルで、攻撃者が暗号化オラクルに対するアクセスを許している。これは攻撃者が、任意の(あとあと都合のよい)平文を生成するとそれに対する暗号文を教えてもらえるものである。これを繰り返すことにより攻撃者が知識を獲得することが許される。

また、いくつかの暗号スキームに対する証明可能安全性では復号化オラクル(暗号化と同様に、今度は暗号文に対して(必要であれば改竄検知をし、もし問題なければ)平文を返答教えてくれるもの)を考える場合もある。

もし、攻撃者の能力として、選択平文攻撃を考えるならば、その安全性の検討では、攻撃者の暗号化オラクルのアクセスを検討する。また、選択暗号文攻撃では(通常、選択平文攻撃の能力を含んだ定義を考えるとが多いので)暗号化オラクルに加えて、復号化オラクルを含めた評価を行なう。

以上の攻撃者の能力を特定した上で、スキームについての安全性を検討する。安全性は、秘匿、認証に分けて扱う。認証暗号は、これら秘匿、認証の両方の安全性を達成している。

まず、秘匿からはじめる。この分野における、秘匿の定義は厳密には複数存在する。しかし、その多くが計算量的に等価であることが知られているため、実質的にはひとつの安全性を達成すれば一般にいわゆる秘匿の種類はある程度保証できる。

Real-or-Random (暗号文-乱数処理文識別) この秘匿に関する安全性を大雑把に理解するなら、攻撃者の目標は次の二つの暗号文を見分けることである、(1) 攻撃者自身が作成した平文に対応する暗号文、(2) その平文と同じ長さなだけで全然関係のない乱数を暗号化したもの。正式には、オラクルが行なう2種類のゲームで考える。オラクルはそれぞれの

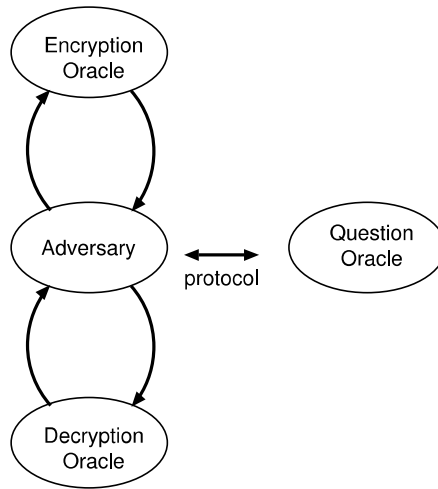


図 4: 証明可能安全性における攻撃者の例 (選択暗号文攻撃)

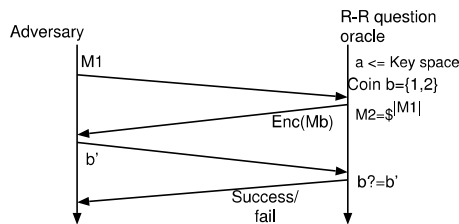


図 5: Real-or-Random notion を定義するゲームのプロトコル

ゲーム開始後には鍵を決定する。そして、攻撃者からメッセージ受信を待つ。ゲーム 1 では、メッセージを受信したら、さきほど決定した鍵で暗号化し、その結果を送信する。ゲーム 2 では、メッセージを受信しても、単にそれと同じ長さの乱数を発生し、その暗号化結果を送信する。

ある暗号化スキームが(ある条件下で、例えば選択平文攻撃などで) Real-or-Random で安全であるとは、(その条件が許される) どのような現実的な攻撃者も、ゲーム 1 とゲーム 2 を有意な確率で区別することが難しいことをいう。

定義 4.1 (Real-or-Random). 暗号化スキーム $\Pi = (\mathcal{E}, \mathcal{D}, \mathcal{K})$ が *Real-or-Random* の意味で $(t, q, \mu; \epsilon)$ -安全であるとは、次で指定される任意の攻撃者の利得 Adv_A^{rr} について下記が成り立つことである。攻撃者は、最大時間 t の間動作し、最大 q 回のオラクル質問 (ここでは暗号化オラクルへの質問) を行ない、これらの質問の長さが最大 μ ビットであるような攻撃者

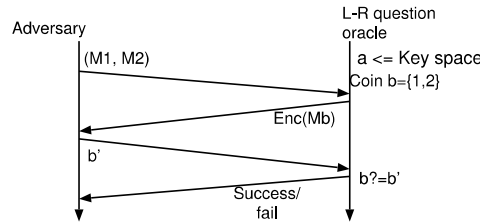


図 6: Left-or-Random notion を定義するゲームのプロトコル

である.

$$\text{Adv}_A^{\text{rr}} = \Pr[a \leftarrow \mathcal{K} : A^{\mathcal{E}_a(\cdot)} = 1] - \Pr[a \leftarrow \mathcal{K} : A^{\mathcal{E}_a(\$)} = 1] \leq \epsilon.$$

Left-or-Right (左右平文暗号文識別) この秘匿に関する安全性でも二つのゲームを考える. 質問オラクルへの攻撃者からの入力, 長さが同じな平文のペアである (これらのペアが異なることが厳密には記載されていないが, 同じであれば攻撃者が不当に利得を得る可能性があるので一般的には異なるもののみを考える). オラクルは, ゲーム開始後には鍵を決定する. そして, 攻撃者から二つの同じ長さのメッセージペア (M_1, M_2) の受信を待つ. メッセージを受信したら, ゲーム 1 では M_1 を, ゲーム 2 では M_2 をそれぞれ, 先ほど生成した鍵で暗号化し, その結果を送信する.

ある暗号化スキームが (ある条件下で, 例えば選択平文攻撃などで) Left-or-Right で安全であるとは, (その条件が許される) どのような現実的な攻撃者も, ゲーム 1 とゲーム 2 を有意な確率で区別することが難しいことをいう.

定義 4.2 (Left-or-Right). 暗号化スキーム $\Pi = (\mathcal{E}, \mathcal{D}, \mathcal{K})$ が *Left-or-Right* の意味で $(t, q, \mu; \epsilon)$ -安全であるとは, 次で指定される任意の攻撃者の利得について下記が成り立つことである. 攻撃者は, 最大時間 t の間動作し, 最大 q 回のオラクル質問 (ここでは暗号化オラクルへの質問) を行ない, これらの質問の長さが最大 μ ビットであるような攻撃者である (ただし, 質問オラクルへのメッセージペア, (M_1, M_2) は同じ長さとする).

$$\text{Adv}_A^{\text{lr}} = \Pr[a \leftarrow \mathcal{K} : A^{\mathcal{E}_a(\text{left}(\cdot, \cdot))} = 1] - \Pr[a \leftarrow \mathcal{K} : A^{\mathcal{E}_a(\text{right}(\cdot, \cdot))} = 1] \leq \epsilon.$$

Find-then-Guess (発見-推測識別) Find-then-Guess は [GM84, MRS88] で扱っている多項式計算量的安全性 (Polynomial security) の言い替えである. ここでは攻撃者は二つのステージを考える. 第一の find ステージ

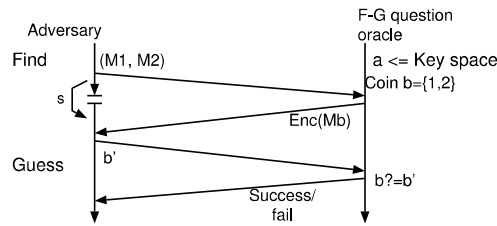


図 7: Find-then-Guess notion を定義するゲームのプロトコル

では、攻撃者は最終的に同じ長さのメッセージペア (M_1, M_2) を生成するが、その目的は次のステージでこれらの暗号文を区別することである。また、この間に攻撃者は知識を蓄えることができ、最終的にあとで使う知識 s を生成してこのステージを終了する。

もうひとつの guess ステージでは、質問オラクルから暗号文 C を受信する。 C はさきほどの (M_1, M_2) どちらかの暗号文である。攻撃者は知識 s を知っている。ここで、その暗号文 C がどちらの平文のものであるかを決めることができれば、「攻撃者の勝ち」とする。

ある暗号化スキームが(ある条件下で、例えば選択平文攻撃などで) Find-then-Guess で安全であるとは、(その条件が許される) どのような現実的な攻撃者も、それらを有意な確率で区別することが難しいことをいう。

定義 4.3 (Find-then-Guess). 暗号化スキーム $\Pi = (\mathcal{E}, \mathcal{D}, \mathcal{K})$ が Find-then-Guess の意味で $(t, q, \mu; \epsilon)$ -安全であるとは、次で指定される任意の攻撃者の利得について下記が成り立つことである。攻撃者は、最大時間 t の間動作し、最大 q 回のオラクル質問(ここでは暗号化オラクルへの質問)を行ない、これらの質問の長さが最大 μ ビットであるような攻撃者である。

$$\text{Adv}_A^{\text{fg}} = 2 \cdot \Pr[a \leftarrow \mathcal{K} : (M_1, M_2, s) \leftarrow A^{\mathcal{E}_a(\cdot)}(\text{find}); b \leftarrow \{1, 2\}; C \leftarrow \mathcal{E}_a(M_b) : A^{\mathcal{E}_a(\cdot)}(\text{guess}, C, s) = b] - 1 \leq \epsilon.$$

Semantic (意味抽出) Goldwasser と Micali[GM84] では、semantic security を「暗号文が与えられてから平文に関してわかる情報というのは、暗号文がなくともわかるものだけだ」と説明している。ここでの semantic は公開鍵暗号における semantic security をそのまま適応する。 f を平文を引数にとることができる関数とする。この関数は、攻撃者が(暗号文から)知ろうとしている情報の種類を表していると考えることができる。平文空間は確率的な分布を取るものとして考える。任意の整数 m に対して、「平文空間における m 分布」とは、 m ビット以下の文字列で代表される

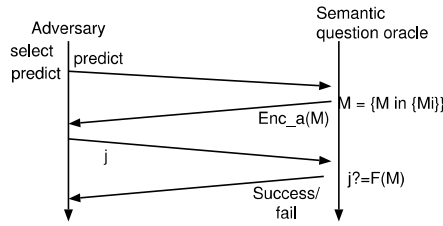


図 8: Semantic-security notion を定義するゲームのプロトコル

平文空間上の確率分布, の集合 $\mathcal{M} = \{\mathcal{M}_\gamma\}_{\gamma \in \{0,1\}^{\leq m}}$ とし, すべての \mathcal{M}_γ が有効 (valid) とする. ここで, 有効とはすべての確率分布 \mathcal{M}_γ について, 確率が非 0 の文字列すべてが同じ長さであり, その長さは最大で m である, ということの意味する. $p_{f,\mathcal{M}_\gamma}^* = \max_{C^*} \{P[M \leftarrow \mathcal{M}_\gamma : f(M) = C^*]\}$ と定義する. これは平文の確率分布でもっともありうる $f(\cdot)$ 値である.

攻撃者は二つのステージを考える. 第一の select ステージでは, 攻撃者は都合の良い平文分布 \mathcal{M}_γ を生成する. もうひとつの predict ステージでは, 質問オラクルが, 指定された平文分布に従って無作為にメッセージ M を生成し, 暗号文 C を送信する. 攻撃者はこれを受信し, $f(M)$ 値を予想しようとする.

ある暗号化スキームが (ある条件下で, 例えば選択平文攻撃などで) Semantic で安全であるとは, (その条件が許される) 関数 f と分布 \mathcal{M} に対して, どのような現実的な攻撃者も, $p_{f,\mathcal{M}_\gamma}^*$ を越える確率で $f(M)$ を予想することができない, ことをいう.

従来 (つまり公開鍵暗号で議論されていたところ) の定義では, この条件はすべての関数 f について成り立つ必要があった. 共通鍵暗号においては, 関数 f と確率分布 \mathcal{M} がパラメータとする. このことで, ある特殊な平文の性質が, ある特別な分布において, ちゃんと情報が隠れているか/いないかを議論できる.

定義 4.4 (Semantic). 関数 f を, 平文空間を入力としてなにかしらのバイナリ文字列を出力する関数とする. $\mathcal{M} = \{\mathcal{M}_\gamma\}_{\gamma \in \{0,1\}^{\leq m}}$ を平文空間における m 分布とする.

暗号化スキーム $\Pi = (\mathcal{E}, \mathcal{D}, \mathcal{K})$ が Semantic の意味で f と \mathcal{M} に対して $(t, q, \mu; \epsilon)$ -安全であるとは, 次で指定される任意の攻撃者の利得について下記が成り立つことである. 攻撃者は, 最大時間 t の間動作し, 最大 q 回のオラクル質問 (ここでは暗号化オラクルへの質問) を行ない, これらの質問の長さが最大 μ ビットであるような攻撃者である.

$$\text{Adv}_A^{\text{sm}}(f, \mathcal{M}) = \mathbf{E}[a \leftarrow \mathcal{K} : (\gamma, s) \leftarrow A^{\mathcal{E}_a(\cdot)}(\text{select}) : \alpha(a, \gamma, s)] \leq \epsilon.$$

ここで

$$\alpha(a, \gamma, s) = \Pr[M \leftarrow \mathcal{M}_\gamma; C \leftarrow \mathcal{E}_a(M) : A^{\mathcal{E}_a(\cdot)}(\text{predict}, C, s) = f(M) :] - p_{f, \mathcal{M}_\gamma}^*$$

Ciphertext-Random (暗号文-乱数) 近年の認証暗号など新しい利用モードの提案では, Real-or-Randomとは異なる, 暗号文-乱数不可識別性で秘匿の安全性を証明する利用モードがある. Real-or-Randomに酷似するため詳細は省略する.

Real-or-Randomでは, Game 2において, 乱数の暗号文を返答していた. この定義では, 乱数そのものを返信するプロトコルでゲームをする.

4.3 従来秘匿定義の関係

上記, 秘匿の定義のうち前4つの定義については, [BDJR97]で詳細に扱われており, 同じ文献でこれら4つの定義間の関係が明らかにされている.

4つの定義で最強とされるものは, Left-or-RightとReal-or-Randomである. これらは安全性パラメータも損なわない多項式還元が実現されており, 他の2つの定義へも効率的に還元できる. すなわち秘匿の定義としては最強の定義である.

これらに対してFind-then-GuessとSemanticについては, 安全性パラメータが多少欠損するものの, これらが言えれば上記2方式の安全性も保証することができる.

以上により, 上記4つの定義のどれかを達成していれば共通鍵暗号における秘匿は十分なレベルが達成できていると言える.

4.4 メッセージ認証コードの安全性

メッセージ認証コード $MAC = (MAC-K, MAC-G, MAC-V)$ の安全性には, 弱偽造不可能性 (weak unforgeability) と強偽造不可能性 (strong unforgeability) がある.

どちらの場合も, 敵 A として, タグ生成オラクルと確認オラクルにアクセスできるアルゴリズムを考える. $A^{MAC-G_K(\cdot), MAC-V_K(\cdot, \cdot)}$ は, メッセージ M に対し, タグ $T = MAC-G_K(M)$ を返すタグ生成オラクル $MAC-G_K(\cdot)$ と, メッセージ, タグのペア (M, T) に対し, accept or reject = $MAC-V_K(M, T)$ を返す確認オラクル $MAC-V_K(\cdot, \cdot)$ をもつ敵をあらわす. 質問は適応的に行う. すなわち, ある質問に対する答えを得た後, 次の質問を行う.

4.4.1 弱偽造不可能性

弱偽造不可能性の意味でメッセージ認証コード $MAC = (MAC-K, MAC-G, MAC-V)$ を破ろうとする敵 A が、タグ生成オラクルに q 個のメッセージ M_1, \dots, M_q を質問し、その答え T_1, \dots, T_q を得たとする。また、確認オラクルに q' 個のメッセージ、タグのペア $(M'_1, T'_1), \dots, (M'_{q'}, T'_{q'})$ を質問したとする。

ある i に対し、 $MAC-V_K(M'_i, T'_i) = \text{accept}$ であり、 $M'_i \notin \{M_1, \dots, M_j\}$ であれば、 A は弱偽造不可能性の意味で偽造に成功した、という。ここで、 $\{M_1, \dots, M_j\}$ は、 (M'_i, T'_i) を確認オラクルに質問する以前に、タグ生成オラクルに送った質問である。

直感的には、見たことのないメッセージに対するタグを出力できたらなば、偽造に成功したことになる。

メッセージ認証コード $MAC = (MAC-K, MAC-G, MAC-V)$ の、敵 A に対する、弱偽造不可能性の意味での安全性は、アドバンテージ $\text{Adv}_E^{\text{w-uf}}(A)$ によって評価される。ここで、

$$\text{Adv}_{MAC}^{\text{w-uf}}(A) \stackrel{\text{def}}{=} \Pr(K \xleftarrow{R} MAC-K : A^{MAC-G_K(\cdot), MAC-V_K(\cdot, \cdot)} \text{ が弱偽造不可能性の意味で偽造に成功})$$

と定義される。

計算量理論的安全性 メッセージ認証コード $MAC = (MAC-K, MAC-G, MAC-V)$ の、弱偽造不可能性の意味での安全性を考える場合に扱う資源は、実行時間 t 、タグ生成オラクルへの質問回数 q 、それら質問の長さ σ (ビット単位、もしくはブロック単位)、確認オラクルへの質問回数 q' 、それら質問の長さ σ' (ビット単位、もしくはブロック単位) である。実行時間 t はブロック暗号と同様に定義される。

$$\text{Adv}_{MAC}^{\text{w-uf}}(t, q, \sigma, q', \sigma') \stackrel{\text{def}}{=} \max_A \{ \text{Adv}_{MAC}^{\text{w-uf}}(A) \}$$

と定義される。ただし、最大値は実行時間 t 、タグ生成オラクルへの質問回数 q 、それら質問の長さ σ 、確認オラクルへの質問回数 q' 、それら質問の長さ σ' のすべての敵 A についてとる。

4.4.2 強偽造不可能性

強偽造不可能性の意味でメッセージ認証コード $MAC = (MAC-K, MAC-G, MAC-V)$ を破ろうとする敵 A が、タグ生成オラクルに q 個のメッセージ M_1, \dots, M_q を質問し、その答え T_1, \dots, T_q を得たとする。また、確認オラクルに q' 個のメッセージ、タグのペア $(M'_1, T'_1), \dots, (M'_{q'}, T'_{q'})$ を質問したとする。

ある i に対し, $MAC\text{-}\mathcal{V}_K(M'_i, T'_i) = \text{accept}$ であり, $(M'_i, T'_i) \notin \{(M_1, T_1), \dots, (M_j, T_j)\}$ であれば, A は強偽造不可能性の意味で偽造に成功した, という. $\{(M_1, T_1), \dots, (M_j, T_j)\}$ は, (M'_i, T'_i) を確認オラクルに質問する以前に, タグ生成オラクルに送った質問とその答えである.

直感的には, 見たことのないメッセージ, タグのペアを出力できたらなば, 偽造に成功したことになる. タグが異なっていれば, メッセージ自体は見たことがあってもよい.

メッセージ認証コード $MAC = (MAC\text{-}\mathcal{K}, MAC\text{-}\mathcal{G}, MAC\text{-}\mathcal{V})$ の, 敵 A に対する, 強偽造不可能性の意味での安全性は, アドバンテージ $\text{Adv}_E^{\text{s-uf}}(A)$ によって評価される. ここで,

$$\text{Adv}_{MAC}^{\text{s-uf}}(A) \stackrel{\text{def}}{=} \Pr(K \xleftarrow{R} MAC\text{-}\mathcal{K} : A^{MAC\text{-}\mathcal{G}_K(\cdot), MAC\text{-}\mathcal{V}_K(\cdot, \cdot)} \text{ が強偽造不可能性の意味で偽造に成功})$$

と定義される.

計算量理論的安全性 メッセージ認証コード $MAC = (MAC\text{-}\mathcal{K}, MAC\text{-}\mathcal{G}, MAC\text{-}\mathcal{V})$ の, 強偽造不可能性の意味での安全性を考える場合に扱う資源は, 弱偽造不可能性の場合と同様である.

$$\text{Adv}_{MAC}^{\text{s-uf}}(t, q, \sigma, q', \sigma') \stackrel{\text{def}}{=} \max_A \{ \text{Adv}_{MAC}^{\text{s-uf}}(A) \}$$

と定義される. ただし, 最大値は実行時間 t , タグ生成オラクルへの質問回数 q , それら質問の長さ σ , 確認オラクルへの質問回数 q' , それら質問の長さ σ' のすべての敵 A についてとる.

4.4.3 $MAC\text{-}\mathcal{G}$ が決定的アルゴリズムである場合の安全性

$MAC\text{-}\mathcal{G}$ が決定的アルゴリズムの場合, 弱偽造不可能性の意味での安全性と強偽造不可能性の意味での安全性は同一の定義となる. また, この場合, タグ生成オラクルが確認オラクルのかわりになり得る. すなわち, タグ生成オラクルに M_i を質問し, T_i を得たなら, 確認オラクルは質問 (M_i, T_i) に対しては accept を返し, 質問 (M_i, T'_i) (ただし $T'_i \neq T_i$) に対しては reject を返す. したがって, q' と σ' のパラメータを用いなくて, q と σ にこれらを含めるのが一般的である. $MAC\text{-}\mathcal{G}$ が決定的アルゴリズムの場合, 弱偽造不可能性と強偽造不可能性とを区別せず, 単に偽造不可能性 (unforgeability) という.

敵 A として, タグ生成オラクルにアクセスできるアルゴリズムを考える. $A^{MAC\text{-}\mathcal{G}_K(\cdot)}$ は, メッセージ M に対し, タグ $T = MAC\text{-}\mathcal{G}_K(M)$ を返

すタグ生成オラクル $MAC-G_K(\cdot)$ をもつ敵をあらわす。質問は適応的に行う。すなわち、ある質問に対する答えを得た後、次の質問を行う。

偽造不可能性の意味でメッセージ認証コード $MAC = (MAC-K, MAC-G, MAC-V)$ を破ろうとする敵 A がタグ生成オラクルにメッセージ M_1, \dots, M_j を質問し、その答え T_1, \dots, T_j を得たとする。タグ生成オラクルへの質問の途中、 A は偽造文 (M_{j+1}, T_{j+1}) を出力する。

$MAC-V_K(M_{j+1}, T_{j+1}) = \text{accept}$ であり、 $M_{j+1} \notin \{M_1, \dots, M_j\}$ であれば、 A は偽造不可能性の意味で偽造に成功した、という。 $\{M_1, \dots, M_j\}$ は、 (M_{j+1}, T_{j+1}) を出力する以前に、タグ生成オラクルに送った質問である。ある偽造文が reject された場合でも、 A はさらにタグ生成オラクルに質問を続け、あたらな偽造文を出力してよい。ただし、 (M_{j+1}, T_{j+1}) はタグ生成オラクルに対する質問として数える。

直感的には、見たことのないメッセージに対するタグを出力できたらなば、偽造に成功したことになる。

メッセージ認証コード $MAC = (MAC-K, MAC-G, MAC-V)$ の、敵 A に対する、偽造不可能性の意味での安全性は、アドバンテージ $\text{Adv}_{MAC}^{\text{mac}}(A)$ によって評価される。ここで、

$$\text{Adv}_{MAC}^{\text{mac}}(A) \stackrel{\text{def}}{=} \Pr(K \xleftarrow{R} MAC-K : A^{MAC-G_K(\cdot)} \text{ が偽造不可能性の意味で偽造に成功})$$

と定義される。

計算量理論的安全性 メッセージ認証コード $MAC = (MAC-K, MAC-G, MAC-V)$ の、偽造不可能性の意味での安全性を考える場合に扱う資源は、実行時間 t 、タグ生成オラクルへの質問回数 q (M' を含む)、それら質問の長さ σ (ビット単位、もしくはブロック単位、 M' の長さも含む) である。実行時間 t はブロック暗号と同様に定義される。

$$\text{Adv}_{MAC}^{\text{mac}}(t, q, \sigma) \stackrel{\text{def}}{=} \max_A \{\text{Adv}_{MAC}^{\text{mac}}(A)\}$$

と定義される。ただし、最大値は実行時間 t 、タグ生成オラクルへの質問回数 q 、それら質問の長さ σ のすべての敵 A についてとる。

4.4.4 上記以外の安全性

上記以外にもいくつかの安全性定義が存在する。それらについては、そのつど説明をする。

4.5 攻撃者の能力

安全性の証明を考える上で攻撃者の能力を正確に決める必要がある。これについては、暗号化(秘匿の利用モード, ならびに認証暗号の利用モード)と認証(MAC生成のモード)で独立に考える。

暗号における証明可能安全性では、攻撃者の能力として

- A 攻撃者自身で都合良く選んだ平文に対して、それに対応する暗号文を知ることができる,
- B 攻撃者自身で都合良く選んだ暗号文に対して、それに対応する平文を知ることができる.

の二つの能力を考える。そして暗号が扱われる現実世界や、これまで提案されてきた利用モードの性質から、現状(B)のみが許されるような攻撃者は考えない。よって、暗号の安全性の前提となる攻撃者の種類は(A)のみを対象とした場合(選択平文攻撃)か、もしくは(A)(B)両方が可能な攻撃者を対象とした場合(選択暗号文攻撃)のふたとおりどちらかである。

4.6 証明可能安全性の仮定

証明可能安全性と現実での暗号利用には大きな差がある。その差に関する研究結果もいくつか知られてきているが、それがすべてではない。

まず、初期値に関する議論がある。これらすべての証明可能安全性において、初期値を正しく生成する必要がある。しかし、それに必要とされる乱数性や信頼性(カウンタのリセットを防止するメカニズムなど)を現実的に暗号に利用するのは多くの場合困難である。

次に攻撃者の能力である。多くの秘匿に関する証明可能安全性は、自分で生成した暗号文に対応する平文の情報を知ることができないことになっている。しかし、暗号文の改竄や、あるいは通信ノイズがあるような通信路の暗号処理では、攻撃者にいかなる復号化結果を渡してはならない。現に、安易なチェックサムを用意してしまった暗号方式から、チェックサムの合否を用いて平文を読みとる攻撃手法が発見された事例がある[V02]。これについてはあとで述べる。

最後に、攻撃者の暗号文を取得できる能力は、メッセージ単位に限定されている、という点である。場合によっては、メッセージという単位よりもより細かい単位(例えばブロック単位など)で攻撃を組み立てる攻撃者が存在するかもしれない。また、このような、攻撃が可能である場合、証明可能だった安全性が崩れる例が知られている[JMV02]。

4.7 利用モードに対する攻撃

ここまで議論したような証明可能安全性は、現実世界が完全にモデル化されたとおりに動く場合に限って現実的に信頼できる。しかしながら、実際にはそうでない場合がある。安全性に関する議論の最後に、これまでに知られている攻撃関連の話題をいくつか紹介する。

[V02]では、CBCモードに対する攻撃を示している。不適切な実装として、改竄検知を目的としたパディングとそれによる改竄検知がいくつかの標準化で実装された。この改竄検知機能を利用することで、本来秘匿されるはずの情報を読みとることができる。CBCモードは秘匿にのみ使われるべきであり、不用意に、利用モードの範囲外のことを行なうと、もともとの安全性も崩れる典型的な例である。

[JMV02]では、CBC, IACBC, (そして公開鍵とのハイブリッド暗号GEM)に対する秘匿に関する攻撃の可能性を示している。ここでは現実的には考えにくいほど強力な攻撃者を想定するが、攻撃は攻撃である。従来安全性評価は、攻撃者の判定したいメッセージ対はメッセージストリームを最後まで消化した上で暗号文の最初のブロックが生成されていた。ところが、オンライン処理を用いるときなどは、かならずしも暗号文出力のために、メッセージを受信終了をまたずに出力することは多い。このような攻撃者の場合、暗号文で見分けがつくようなメッセージ対を生成することができる、という攻撃である。

またDESに対する辞書攻撃、ならびに鍵の全数探索に対する強度向上を目的とした、DESの三重利用モードに対する解析がある。Bihamは[B96]で、多くの多重利用モードが有効な強化策となっていないことを示している。こののち、Wagnerはさらに初期値の制御を使うことにより、Bihamが安全であろうとしたいくつかのモードについても別の懸念があることを指摘した[W98]。

5 秘匿に関する利用モード

この章では、これまで知られている秘匿に関する利用モードのうち、主に工業的に用いられているものや、機能面などで重要視する必要のあるものを詳細に説明する。

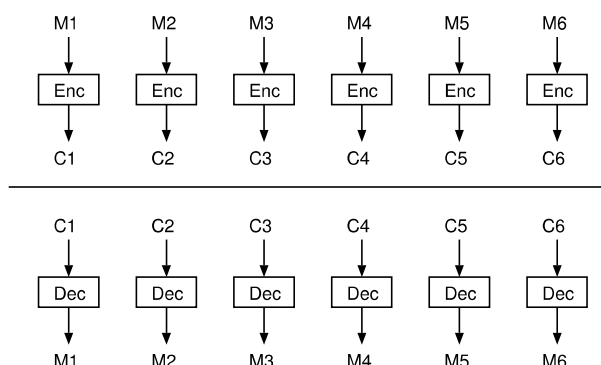


図 9: ECB モードの暗号化と復号化のブロック図

5.1 ECB

仕様の概要 ECB(Electronic CodeBook, 電子辞書) モードは, 平文長が n の倍数であるような平文に対して暗号化を行なう利用モードである [FIPS81]. 手法は, 平文を n ビット毎のブロックに分割し (それぞれを M_i とする), それぞれ独立にブロック暗号の暗号化関数の入力とする. その結果えられた出力が暗号文ブロック (C_i) となり, 暗号文はそれらを接続したものである.

$$C_i = Enc_K(M_i).$$

この利用モードには初期値がない. 平文と鍵のみから暗号文が生成される. 復号化はその逆関数である.

$$M_i = Dec_K(C_i).$$

安全性 ECB モードには以下のような欠点があるため, その特性が必要でない限り利用すべきではない. 具体的には, 平文がオールゼロなど, ある文字列を繰り返すものを想定すると, 暗号文もあるパターンを繰り返すことになる. 一般化して, 同じ平文パターンは同じ暗号文パターンとして再現されるため, 暗号文からそのような情報が漏洩する.

この欠点を補う方法としては, 平文ブロックが衝突しない (同じ値にならない) ように圧縮を掛けたり, 平文としてエントロピの高いデータを用いることなどが挙げられる. しかしながら, これらの対策も万全ではないため, できる限り他の利用モードを使うべきである.

効率 平文長 $t \times n$ ビットに対して, ブロック暗号を t 回呼び出すのみであり, 処理効率はよい.

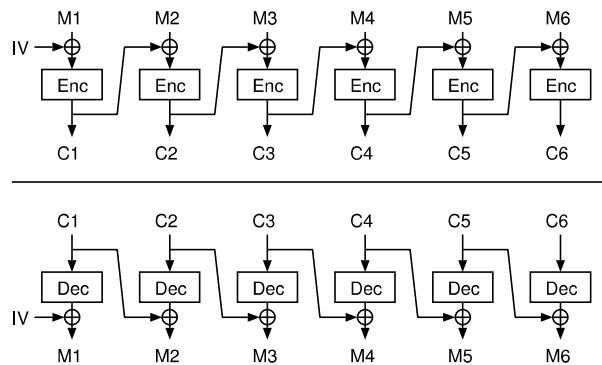


図 10: CBC モードの暗号化と復号化のブロック図

エラー伝播 暗号文を電送するなどしたときに発生した1ビットのエラーは該当ブロック n ビットに影響を及ぼす可能性がある。

同期ずれについては(同期のずれる幅がブロック単位である特殊な場合を除いて), 別途再同期のメカニズムが必要である。

並列処理性など 暗号化復号化ともに並列処理性と, 数少ない処理順序不問性 (Out-of-order) 性がある。すなわち, ブロック単位でデータが入れ替わったとしても, その順序いれかえをすることなく, 到着した順序に復号処理に渡すことができる。もちろん, 復号化結果は, 到着順序に応じて並べかえねば正しい平文には戻らない。

復号化 復号化時にも, 暗号化処理と同様に並列処理性や O-O-O の利点がある。復号化処理には, ブロック暗号の復号化関数を使う。

5.2 CBC

仕様の概要 CBC(Cipher Block Chaining, 暗号文ブロック連鎖) モードは, 平文長が n の倍数であるような平文に対して暗号化を行なう利用モードである [FIPS81]。手法は, 平文を n ビット毎のブロックに分割し(それぞれを M_i とする), 中間値 $H_i = M_i \oplus C_{i-1}, C_0 = IV$ を生成したあと, それをブロック暗号の暗号化関数の入力とする。その結果えられた出力が暗号文ブロック (C_i) となり, 暗号文はそれらを接続したものである。

$$C_i = Enc_K(M_i \oplus C_{i-1}).$$

復号化はその逆関数である.

$$M_i = Dec_K(C_i) \oplus C_{i-1}.$$

安全性 CBCモードの安全性は [BDJR97] で議論されている. ここでは, 以下の条件がすべて満たされる場合において秘匿の意味で証明可能安全性である.

1. 攻撃者は適応的選択平文攻撃のみである.
2. 初期値生成が以下に限定されるものである.
 - (a) 攻撃者が事前に知ることができない乱数
 - (b) 信頼できる nonce を一度ブロック暗号 (鍵は暗号化鍵でよい) で攪拌したもの
3. 内部で用いるブロック暗号が, 擬似ランダム置換モデル以上の安全性をもつ.
4. 攻撃者の選択平文に対する暗号文の獲得は, メッセージ単位である.

より, 具体的には, Left-or-Right 不可識別性 (秘匿に関する定義のひとつ) の観点からいくつかの安全性が [BDJR97] で示されており:

1. 内部のブロック暗号をランダム関数モデルに置き換えた場合の, CBCモードの安全性が与えられている. Left-or-Right における利得の定義は参考文献を参照頂くとして, その利得が以下の式で押えられる.

$$\text{Adv}_{CBC-\rho}^{\text{lr}} \leq (\mu^2/n^2 - \mu/n) \cdot 2^{-n}.$$

ここで, 攻撃者の能力として最大 q 回の選択平文質問を行ない, その平文長が合計 μ ビットとする.

2. 内部のブロック暗号を擬似ランダム関数モデルに置き換えた場合の, CBCモードの安全性が与えられている. 具体的には, 擬似ランダム関数のパラメータを $(t', q'; \epsilon')$ とすると, 任意の q に対して, これを使った CBCモードについての安全性が $(t, q, \mu; \epsilon)$ -安全であることをいうための定数 c が存在する. ここで

$$(t, \mu, \epsilon) = (t' - c\mu, q'n, 2\epsilon' + (\mu^2/n^2 - \mu/n) \cdot 2^{-n}).$$

効率 平文長 $t \times n$ ビットに対して、ブロック暗号を t 回呼び出すのみであり、処理効率はよい。

エラー伝播 暗号文を電送するなどしたときに発生した1ビットのエラーは該当ブロック n ビットに影響を及ぼす可能性があり、次のブロックの該当部分1ビットが確実に反転する。

同期ずれについては、ECBと同様、特殊な場合を除いてそれ自身で回復しないため、別途再同期のためのメカニズムが必要である。

並列処理性など 暗号化には、まったくの並列処理性がない。一方、復号化では、ブロック暗号処理に関する並列処理性は可能である。しかしながら、平文データを復元するためには前ブロックの暗号文ブロックが必要であることを注意しなければならない。

また、ECBモードほど小さな単位では実現できないが、ある程度ブロックがまとまれば(Out-of-order)的な復号処理も可能な場合がある。すなわち、 t ブロック単位でデータが入れ替わったとしても、その順序いれかえをすることなく、到着した順序に復号処理に渡すことができ、その場合、最初のブロックを除いた $t-1$ ブロックは正常に復号化可能である。

ただし、例外的に並列処理が可能な運用もある。ANSI X3.106 や ISO 10116 では、CBCモードをインターリーブすることにより、ある程度の並列度を持たせることができる暗号方式を記載している。具体的には、独立なCBCモードを並列度数だけ飛ばしながらメッセージストリームを処理する仕様である。この場合、初期値も並列度数だけ用意せねばならず、それぞれ独立かつランダムに選択する必要がある。

復号化 復号化時に関する特別な注意事項はない。復号化処理には、ブロック暗号の復号化関数を使う。

CTS CTS(CipherText Stealing, 暗号文窃盗)モードは、RFC2040[RFC2040]で提案された、CBCモード向けの端数処理モードである。RFCではバイト単位の端数処理のみが定義されているが、単純に一般化することで n ビット以上の任意のビット数のメッセージに対して処理可能となる。

このモードはほとんどの処理がCBCモードであるので、安全性以外の主な特徴はCBCモードに準じる。

安全性については特別に議論された技術文書は見当たらないが、次のように考えることで秘匿に関する安全性は保持できていると考える。

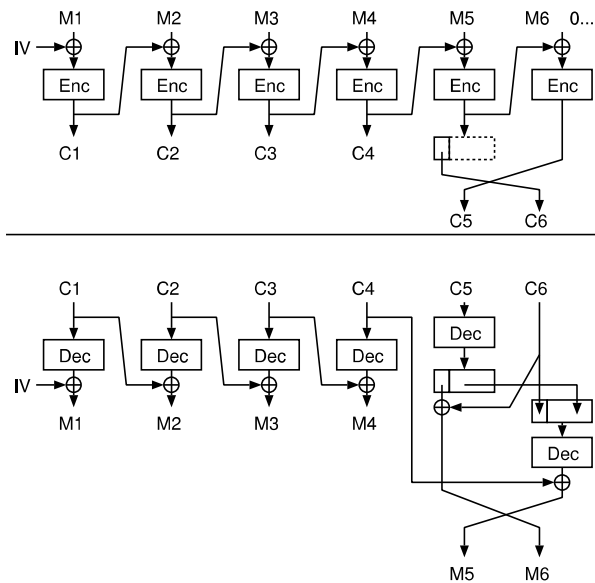


図 11: CTS モードの暗号化と復号化のブロック図

CBC⁺という新しい利用モードを考える。従来の CBC モードを暗号化する場合に、 n ビットの 0 パディングを行なってから CBC モードを処理する。CBC⁺と同様に安全であると考えられる。

ここで $m \times n$ ビット長の CBC⁺モードでの暗号化結果と $(m-1) \times n + t$ ($1 \leq t < n$) ビット長の CTS モードでの暗号化の強度は、後者、すなわち CTS のほうが強力である。なぜならば、CTS における任意の攻撃者の振舞いは、すべて前者に対する攻撃者として再現できるからである。よって CTS は CBC と同程度に強力であると考えられる。

5.3 k -CFB

仕様の概要 CFB(Cipher FeedBack, 暗号文フィードバック)モードは、パラメータ k を持つブロック暗号利用モードである [FIPS81]。平文長が k の倍数であるような平文に対して暗号化を行なう利用モードであることから、バイト単位のデータなど、データ単位長がブロック長の倍数でないような場合に用いられていた。便宜的に内部レジスタ R を考えながら処理を説明する。

k ビットの倍数長のメッセージ M は、 k ビット毎のブロックに分割する (それぞれを M_i とする)。初期値 IV は R の初期値 R_0 である。各ブ

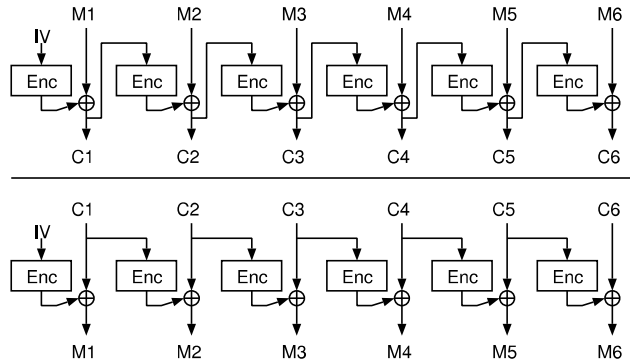


図 12: n -CFB モードの暗号化と復号化のブロック図

ブロックでのブロック処理は、まず中間値 $H_i = Enc_K(R_i)$ を生成することから始まり、このうち上位 k ビットの値 \hat{H}_i を、平文ブロック M_i と排他論理和することで暗号文ブロック $C_i = M_i \oplus \hat{H}_i$ を得る。最後に R を更新する。 R を上位へ k ビットシフトし、シフトの際、0 が埋められた下位 k ビットに C_i を埋め込む。よって、 $k = n$ の場合は、 $R_i = C_i$ となる。

$$C_i = M_i \oplus \text{msb}_k(Enc_K(R_{i-1})),$$

$$R_i = ((R_{i-1}) \ll k) \oplus C_i.$$

復号化はその逆関数である。

$$M_i = C_i \oplus \text{msb}_k(Enc_K(R_{i-1})),$$

$$R_i = ((R_{i-1}) \ll k) \oplus C_i.$$

安全性 CFB モードの安全性については、[AGPS02] で評価している。ここではレジスタ値の衝突確率をもとに Left-or-Right における攻撃者の利得の上限を求めている。 $k < n$ の場合には、異なる時間のあいだでレジスタの値同士が独立でない。これも考慮した上での評価である。

ランダム関数を使った場合には、攻撃者の利得は

$$\epsilon_{\text{CFB-}\rho}^{\text{lr}} \leq q(q-1)2^{-l-1},$$

となる。ここで t は攻撃者の計算時間、 q は攻撃者の質問回数、 l はランダム関数の入力長、 L はランダム関数の出力長である。

さらに、擬似ランダム関数を使った k -CFB モードについての安全性の評価結果も調べられており、 l ビット入力- L ビット出力の $(t', q'; \epsilon')$ -安全

な擬似ランダム置換を使った場合、CFBモードは $(t, q, \mu; \epsilon)$ -安全である。ここで

$$(t, q, \mu, \epsilon) = (t' - q \times t_{\text{CFB}} - t_{\text{const}}, q', q'L, 2\epsilon' + q(q-1)2^{l-1}),$$

であり、 t_{CFB} はランダム関数の呼び出しを除いたに CFB モード 1 ブロック処理に必要な処理時間である。

ただし、特に k が小さい場合には、初期値に注意する必要がある。例えば、0 ばかり続く平文（もしくは 1 ばかり続く平文）を初期値 $IV = 0^n$ や $IV = 1^n$ の 1-CFB で暗号化した場合、約半分の鍵に対しては内部レジスタの更新がまったくおこなわれなため安全性に問題が生じることとなる [W02b]。

効率 CFBモードは、パラメータの値に応じて処理効率に変化し、場合によっては、他のモードよりも極端に非効率的となる。

具体的には mk ビットのメッセージを暗号化するためには m 回のブロック暗号の呼び出しを必要とする。 $k = n$ の場合、ECB や CBC と同じ程度の効率であるが、それ以外の場合、約 n/k 倍の処理量となる。

エラー伝播 1 ビットの暗号文におけるエラーにより、まず該当の平文ビットの反転が起こる。さらに該当エラーがレジスタに残る限り、平文回復ができないので、その間はエラーがおき続ける可能性がある。これは最悪、 $\lceil n/k \rceil$ ブロック分、エラーが起こる可能性がある。

並列処理性など CBCモードと同様、暗号化には並列処理性がない。復号化では、該当ブロックのブロック暗号処理結果は次のブロック暗号処理に直接影響しない。よって構成上はパイプラインングなど並列処理性はある。しかし、該当ブロックを処理するためには、該当ブロック以前の暗号文ブロックが必要であるので、各々のブロック暗号エンジンでこれらをバッファリングするメカニズムが必要である。これらバッファは左右にずれているだけであるので、(並列度に応じた長い) バッファを共有することでも実現可能である。

また CBC モードと同様に、例外的に並列処理が可能な運用もある。ANSI X3.106 や ISO 10116 では、CFB をインターリーブすることにより、ある程度の並列度を持たせることができる暗号方式を記載している。具体的には、独立な CFB モードを並列度数だけ飛ばしながらメッセージストリームを処理する仕様である。この場合、初期値も並列度数だけ用

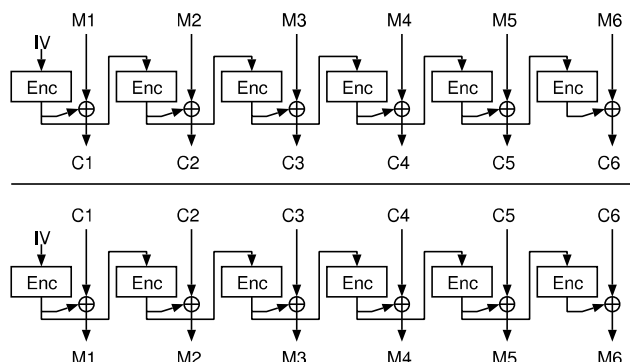


図 13: OFB モードの暗号化と復号化のブロック図

意せねばならず、それぞれが安全であるためには、ランダムかあるいは攻撃者に選択されないような nonce にする必要がある。

復号化 CFB モードでは、ブロック暗号の復号化関数を利用しない。よって、CFB 暗号化、CFB 復号化の両方の機能を実装する場合には、その実装コストは、CBC や ECB に比較して軽いことが期待できる。

自己同期性 CFB の大きな特徴として、自己同期性がある。これはブロック単位でのデータの欠損や挿入については、ある程度のエラーブロックをひきずりながらも、その後には、復号処理が回復するものである。

この機能は CBC にも一応あてはめることはできる (ただし同期パケットの境界がブロック暗号のブロック長) が、比較的大きいためこの機能が現実的に便利であることはあまりない。

CFB の場合、ブロック長を任意に設定することができるため、例えばバイト単位や、極端な例ではビット単位の同期ずれやデータ欠損挿入などにも回復する強みがある。ただし、注意するのは、ビット単位やバイト単位など短いデータ境界での自己同期を期待すればするほど、その処理負荷が大きくなる。

これを解決したのが、OCFB モードである。詳細は OCFB モード参照。

5.4 OFB

仕様の概要 OFB(Output FeedBack, 出力フィードバック) モードは、初期値のみに依存し逐次的に擬似乱数を生成しながら暗号化を行なう方法

であり、任意のビット長の平文を処理できる [FIPS81]. まず、平文を n ビット毎のブロックに分割 (それぞれを M_i とする) し、最後の端数の部分は端数ブロックとして扱う. 初期値 IV を内部レジスタの初期値 H_0 とする. H_{i-1} をブロック暗号入力とし、暗号化処理の結果を H_i とする (すなわち次のブロックの内部レジスタの値にもなる). これより暗号文ブロック $C_i = M_i \oplus H_i$ を生成する.

$$\begin{aligned} H_i &= Enc_K(H_{i-1}), \\ C_i &= M_i \oplus H_i. \end{aligned}$$

この利用モードには初期値がない. 平文と鍵のみから暗号文が生成される. 復号化はその逆関数である.

$$\begin{aligned} H_i &= Enc_K(H_{i-1}), \\ M_i &= C_i \oplus H_i. \end{aligned}$$

安全性 OFB モードに関するきちんとした証明可能安全性は知られていない. しかし、ブロック暗号出力全体をそのまま入力に戻すことで内部のブロック暗号が理想的である場合、周期が約 2^{n-1} になることが知られている. この周期の中では乱数性の高い鍵ストリームとして利用できるため、高い安全性が期待できる.

効率 OFB は ECB や CBC と同等の処理効率で暗号化、復号化処理を行なうことができる.

エラー伝播 暗号文における 1 ビットのエラーは、対応する平文ビットの反転を起こす. しかし、それ以降のエラー伝播などの影響はない.

ただし、同期ずれについては (ECB と同様、ブロック長単位の同期ずれでない限り) 耐性がなく、同期ずれが起こるような場合には、別途再同期のメカニズムが必要である.

並列処理性など 暗号化、復号化処理ともに、並列処理性はまったくない

しかし、インターリーブによる並列処理が可能な運用方法が知られ、ANSI X3.106 や ISO 10116 などに記載されている. 具体的には、独立な OFB モードを並列度数だけ飛ばしながらメッセージストリームを処理するものである. この場合、初期値も並列度数だけ用意せねばならず、それぞれが安全であるためには、ランダムかあるいは攻撃者に選択されないような nonce にする必要がある.

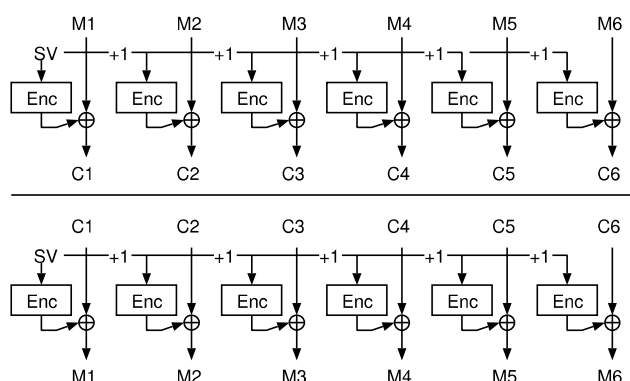


図 14: CTR モードの暗号化と復号化のブロック図

復号化 OFB モードでは、ブロック暗号の復号化関数を利用しない。よって、OFB 暗号化、OFB 復号化の両方の機能を実装する場合には、その実装コストは、CBC や ECB に比較して軽いことが期待できる。

k -OFB FIPS-81 など古い利用モードの標準化では、OFB モードを k ブロック単位で行なうことも指摘されていた。これは、 k -CFB と同様、 n ビット単位でないデータを扱う場合への適用を考えたものであった。しかし、 $k < n$ の場合、安全性の観点から大きな問題があることを理由に、OFB は $k = n$ として用いるべきとなった。よってこの古い仕様は今後使われるべきでない。

安全性の懸念には二通りある。第一には、脆弱な初期値の存在である。初期値に n ビットの 0 を与えて 1-OFB を実行すると約半数の鍵において 0 ばかり続く鍵系列が出力され、初期値に n ビット値 1 を与えて 1-OFB を実行すると約半数の鍵において 1 ばかり続く鍵系列が出力される [W02b]。また、第二の安全性の懸念として、 $k < n$ の場合には、内部レジスタの更新関数が単射性を保証できなくなり、これが理由で周期の平均が $2^{n/2}$ ブロック程度となることが挙げられる。

5.5 CTR

仕様の概要 CTR(カウンタ)モードは、初期値のみに依存し逐次的に擬似乱数を生成しながら暗号化を行なう方法であり、任意のビット長の平文を処理できる [DH79, LRW00]。まず、平文を n ビット毎のブロックに分割 (それぞれを M_i とする) し、最後の端数の部分は端数ブロックとし

て扱う。開始値 SV を内部レジスタの初期値 R_1 とする。 R_i をブロック暗号入力とし、暗号化処理の結果を H_i とする。これより暗号文ブロック $C_i = M_i \oplus H_i$ を生成する。次のブロックでは、内部レジスタ R を整数カウンタとして1数えあげる。

$$\begin{aligned} C_i &= M_i \oplus Enc_K(R_i), \\ R_{i+1} &= R_i + 1. \end{aligned}$$

復号化はその逆関数である。

$$\begin{aligned} M_i &= C_i \oplus Enc_K(R_i), \\ R_{i+1} &= R_i + 1. \end{aligned}$$

ここで開始値とは、特殊な運用が必要な初期値である。CTR が安全な処理モードであるために、同一の鍵が用いられている間は常に異なるブロック暗号入力を与える必要がある。

CTR モードでは、内部状態の更新がカウンタであるため、システム要件から、カウンタの更新回数の限度などを知ることができる場合がある。このような情報を使いついながら、うまく開始値を定義して、(同じ鍵のもとで) 複数の平文を安全に暗号化できるようにする。

具体的には、ひとつのメッセージ長が32ブロック未満で定義されるシステムでは、下位5ビットをカウンタ動作部分としてリザーブしておき、残り上位 $n-5$ ビットをメッセージ ID として固有な数字を埋め込む。こうすることにより、最大 2^{n-5} 個のメッセージを安全に処理できる¹。

安全性 CTR モードの安全性については [BDJR97] で議論されている。該当の文献では (モードの名称は CTR でなく XOR であるが)、開始値が乱数の場合と、カウンタの場合との二種類について検討している。

前者、開始値が乱数の場合、ランダム関数を使ったスキームの安全性について、攻撃者の利得は

$$Adv_E^t \leq \mu(q-1)/(L \cdot 2^l),$$

となる。ここで t は攻撃者の計算時間、 q は攻撃者の質問回数、 l はランダム関数の入力長、 L はランダム関数の出力長である。

さらに、擬似ランダム関数を使った、開始値が乱数の CTR モードについての安全性の評価結果も調べられており、 l ビット入力- L ビット出力の

¹厳密には 2^{n-5} 個も暗号化してしまうと、別の情報が漏洩するため安全とはいえない。

$(t', q'; \epsilon')$ -安全な擬似ランダム関数を使った場合、乱数開始値の CTR モードは $(t, q, \mu; \epsilon)$ -安全である。ここで

$$(t, \mu, \epsilon) = (t' - c \cdot \frac{\mu}{L}(l + L), q'L, 2\epsilon' + \mu(q - 1)/(L \cdot 2^l),$$

である。

また、カウンタを初期値にした CTR モードをランダム関数モデルと一併に用いた場合、 $\text{Adv}_E^{\text{ctr}} = 0$ となる。ここで攻撃者のパラメータとして、計算時間が最大 t 、質問回数が最大 q 、質問長が最大 $\mu < L2^l$ の場合を考える。

そして、擬似ランダム関数を使った、開始値がカウンタの CTR モードについては、 l ビット入力- L ビット出力の $(t', q'; \epsilon')$ -安全な擬似ランダム関数を使った場合、 $(t, q, \mu; \epsilon)$ -安全である。ここで

$$(t, \mu, \epsilon) = (t' - c \cdot \frac{\mu}{L}(l + L), \min(q'L, L2^l), 2\epsilon'),$$

である。

効率 CTR は ECB や CBC モードとほぼ同程度に効率的である。

エラー伝播 暗号文における 1 ビットのエラーは、対応する平文ビットの反転を起こす。しかし、それ以降のエラー伝播などの影響はない。

ただし、同期ずれについては (ECB と同様、ブロック長単位の同期ずれでない限り) 耐性がなく、同期ずれが起こるような場合には、別途再同期のメカニズムが必要である。

並列処理性など 暗号化復号化ともに並列処理性が実現可能である。しかし、このためには、処理しているブロックが平文 (もしくは暗号文) の何ブロック目であるかという情報を処理系が知っている必要がある。従って、パイプラインングなどのようなメカニズムで、メッセージ (もしくは暗号文) を最初のブロックから処理する場合には問題とはならない。

同様に、何ブロック目のデータであるかがわかれば、処理順序不問性 (Out-of-order) 性も達成できる。すなわち、ブロック単位でデータが入れ替わったとしても、その順序いれかえをすることなく、到着した順序に復号処理に渡すことができる。もちろん、復号化結果は、到着順序に応じて並べかえねば正しい平文には戻らない。

復号化 CTR モードでは、ブロック暗号の復号化関数を利用しない。よって、CTR 暗号化、CTR 復号化の両方の機能を実装する場合には、その実装コストは、CBC や ECB に比較して軽いことが期待できる。

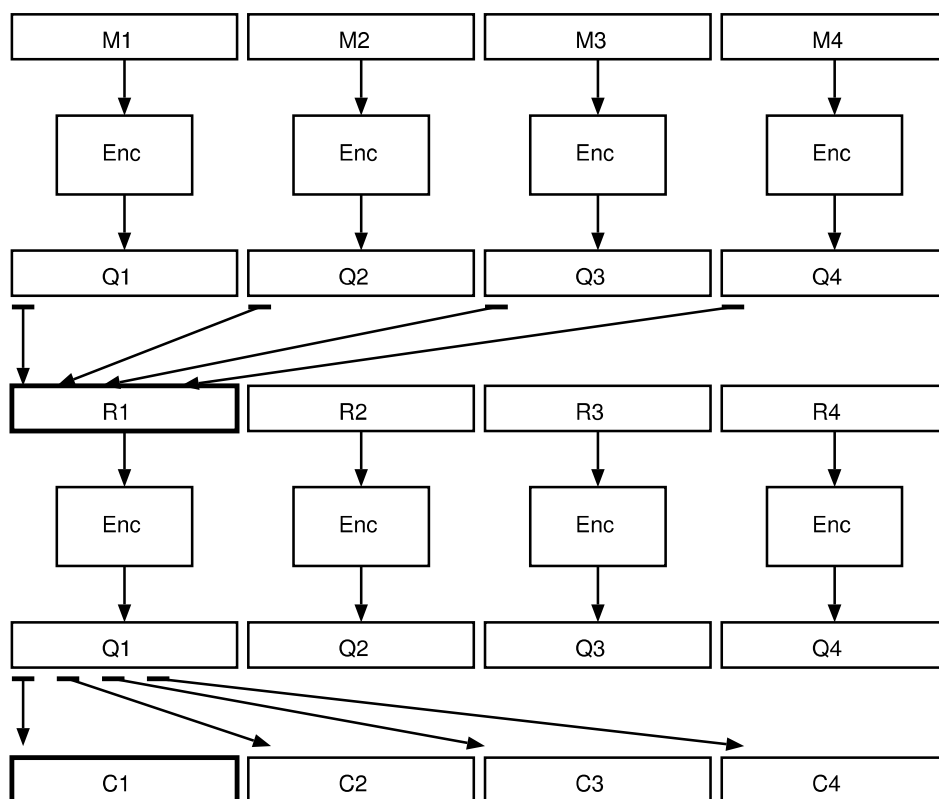


図 15: 2DEM モードの暗号化と復号化のブロック図

5.6 2DEM

仕様の概要 この2DEM(2D Encryption Mode, 二次元暗号モード)の目的は、ECBの安全性の懸念、CBCの並列処理性の低さを克服することを目的に、主にバイトデータを二次元配列で解釈し、暗号化処理を行なうことを記述したものである [BA01].

具体的には、メッセージをまずECBで処理したものを、バイト単位でインターリーブする。そうしてできたブロック列を再度ECBで処理し、その結果を再度インターリーブして暗号文ブロック列とするものである。

5.7 ABC

仕様の概要 ABC(Accumulated Block Chaining, 累積ブロック連鎖)は、エラー伝播が最後まで続くような暗号利用モードとしてAES利用モード

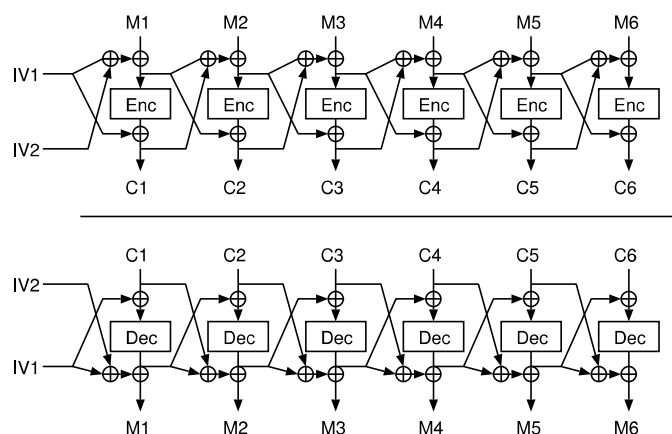


図 16: ABC モードの暗号化と復号化のブロック図

に提案された [K00]. しかし, 提案は秘匿の目的のみであり, 上記性質が暗号学的な意味のある安全性には特に関連していない. 処理の流れを図 16 に示しておくが詳細な説明は省略する.

5.8 IGE

IGE(Infinite Garble Extension, 無限改竄拡張) は, もともと CBC と同じくらい古くに提案された利用モードである [C78]. AES の利用モードで, このモードに対する解析結果が発表されメッセージ認証に対して安全でないことが示されている [GD00].

暗号化と復号化の処理フローが同じである (つまり両方がそれぞれ上下対称) であるのは, なんらかの実装の利点があるかもしれないが, それ以上に, 復号化処理でブロック暗号の復号関数が必要となり, そうでない CFB, OFB, CTR などがより効率的である可能性が高い. ここでは詳細な記述は行なわない.

5.9 自己同期型利用モード

CFB モードは FIPS81 に掲載され, 長い間使われ続けてきた. しかし, CFB モードが特徴とする自己同期性には一つの懸念があった. なるべく小さいデータ単位, 例えば 1 ビットや 1 バイト単位などでの自己同期を行なうためには, それだけの処理負荷の増大を伴うことである. 例えば,

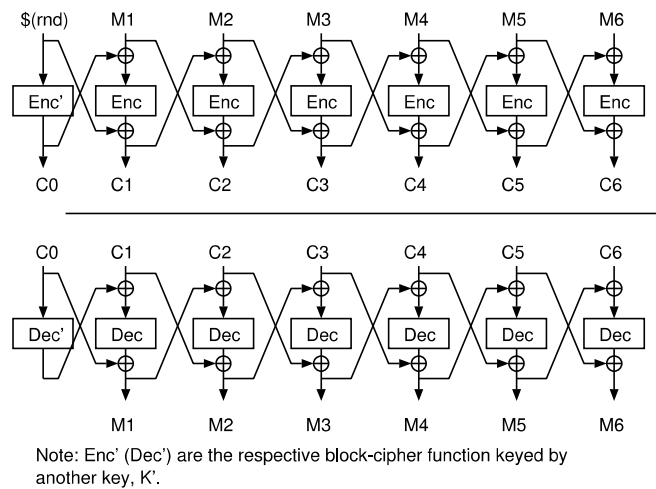


図 17: IGE モードの暗号化と復号化のブロック図

AES で 1-CFB を実行してしまうと、CBC モードの 128 倍もの処理が必要となる。しかしビット単位の自己同期が可能な唯一の標準利用モードであった。

しかし、効率の良い自己同期に関する一連の研究成果があり、標準化されるに至っていないものの、技術的に重要なものであるのでここに紹介する。

Maurer は自己同期に関する新しいアプローチとしてその設計手法と解析結果を発表した [M91]。この発表から遅れて、Jung, Ruland は [JR99] にて類似の手法を提案している。さらに、Alkassar, Gerald, Pfitzmann, Sadeghi も同様な手法を提案している [AGPS02]。提案手法の主に共通する部分では、目的として任意の自己同期機能を実現しながらもその処理速度、厳密にはブロック暗号の呼びだし回数はなるべく ECB に近付けるものである。

具体的には、 k -CFB を改良する方向で理解するとわかりやすい。ブロック暗号出力をこれまで捨てていたところをバッファとして動かせることにより効率化を行なっている。バッファが空になれば再度ブロック暗号処理を行ない新しい乱数列を充填する。

さらに同期回復のためのアイデアとして、暗号文パターンを監視し、特定のパターンが出現したところで、先述のバッファの残量を無視して、ブロック暗号を処理させ、バッファをフラッシュする。

これら二点のアイデアを使うことにより、同期が暗号文パターンで行なわれるため自己同期が実現でき、かつ、パターンサイズを適切に選ぶ

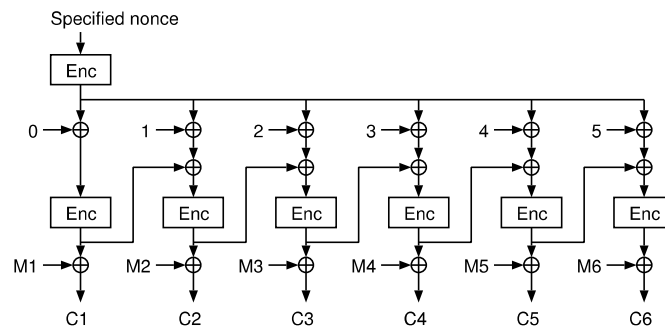


図 18: F8 モードの暗号化処理のブロック図

ことでバッファから捨てる乱数長を減らすことができる。

安全性に関する考察は [M91] でも行なわれているが、現在議論される証明可能安全性の観点からは、[AGPS02] に記載されている安全性の証明が参考になる。安全性に関する欠陥は今のところ見つかっていない。

また、処理速度の観点からの解析はさまざまな論文でなされており [H01a, H01b, H03a, JKRW01, AGPS02], 結果として、場合により CFB よりもひじょうに効率的な処理となっている。

5.10 F8@ 3GPP

3GPP では、ブロック暗号 KASUMI の利用モードとして二つの利用モード F8 と F9 を定義している [3GPPa]. それぞれ、秘匿、メッセージ認証に関する利用モードである。KASUMI の設計も含め、この標準化は、3GPP での利用を目的としており、モバイル端末の電波区間の暗号化に特化している。従って、汎用目的にはあるべき性質などが棄却され、必要な目的に特化した方式であることを注意しておく。

F8 は (仕様で定義された) “nonce” 入力と鍵から鍵ストリームを生成する方法である。暗号化はこの鍵ストリームからストリーム暗号的に行なう。鍵ストリームの生成は、カウンタモードに CBC モードを組み合わせたようなものである。具体的には、鍵ストリームブロックを生成するためには、ブロック暗号入力に “nonce” 値、カウンタ値、そして前ブロックの鍵ストリーム値全部を排他的論理和したものである。

これについては安全性の問題点はないように見える。また、処理効率も ECB 程度であり、復号化には CFB などと同様、KASUMI の暗号化関数だけで処理が可能である。ただし、並列処理性能がない仕様となって

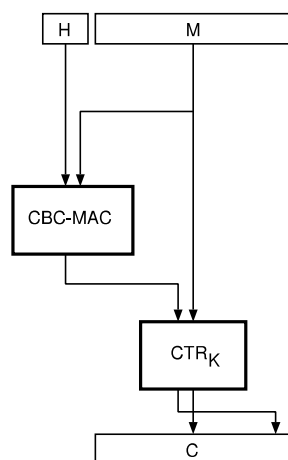


図 19: CCM モードの暗号化と復号化のブロック図

いる (が, これは必要ない実装だけで用いられるという理由で問題にはならない).

6 認証暗号に関する利用モード

この章では, これまで提案されてきた認証暗号に関する利用モードのうち, 標準化活動や学会活動を通じて評価者が得た情報のうち, 特に安全性の欠陥の見つからないものについて簡単に紹介する.

ここで, 「本章にて扱わなかった認証暗号の利用モードはすべて安全性に欠陥がある」という意味ではないことに注意する.

6.1 CCM

仕様の概要 CCM(Counter with CBC-MAC, カウンタと CBC-MAC)[WHF02] はメッセージ, 及び認証データに対して, CBC-MAC による MAC を生成し, MAC 処理で生成されたタグとメッセージを, CTR モードで暗号化する. 本質的な部分では, CTR と CBC-MAC の組み合わせを改良したものである. CTR, CBC-MAC の両方に同じ秘密鍵を用いているので鍵のセットアップは 1 回である.

暗号処理や MAC 生成には, いくつかの詳細なパディングが記載されており, その一部に長さ情報が含まれる.

安全性 CTRは秘匿の観点から安全性が証明されてはいるが、攻撃者の能力が、CTRで暗号化してくれる暗号化オラクルとの通信に限定されていることが重要である。CCMでは、同じ暗号化オラクルでも暗号化処理が異なるため、攻撃者に得られる情報が異なる。よって従来のCTRモードの安全性証明はCCMの安全性とは関係ないと考えべきである。

CCMについての安全性評価はJonssonにより[J02]で与えられている。ここでは、メッセージ認証、秘匿の二つについての安全性の議論が与えられている。

メッセージ認証に関する安全性評価では、一般的な改竄攻撃の定義を用いており、利得は攻撃者の改竄成功確率としている。攻撃者の能力として、1. 暗号化オラクルへの暗号化要求(質問長上限 μ_E)、2. 改竄試行(復号化オラクルへ暗号文をなげ、その暗号文が有効か無効かの判定、質問長上限 μ_F 、質問回数上限 q_F)の二つが許可されている。

ブロック暗号のブロック長を n 、タグ長を t とすると、ブロック暗号を擬似ランダム関数で置き換えた場合の攻撃者の利得は

$$\text{Adv}_{\text{CCM}}^{\text{auth}} = \epsilon' + q_F \cdot 2^{-t} + (\mu_E + \mu_F)^2 \cdot 2^{-n-1},$$

となる。ここで、 ϵ' は、擬似ランダム関数に関する安全性のパラメータであるが、質問回数などのその他のパラメータとの相関がしめされておらず、不完全な記述である。

また、秘匿に関しては別の定義を用いている。この定義はReal-or-Randomに類似するが、乱数の暗号文、ではなく、乱数そのものをオラクルは攻撃者に返す。あとは、利得の定義なども含めて、Real-or-Randomと同じである。攻撃者は暗号化オラクルのみが利用可能であり、この場合擬似ランダム関数を使ったスキームに対する攻撃者の利得は

$$\text{Adv}_{\text{CCM}}^{\text{rr}'} = \epsilon' + (\mu_E)^2 \cdot 2^{-n-1},$$

となる。

効率 CCMはECBやCBCモードの二倍のブロック暗号呼びだしを行なうため、処理量もECBのそれに比べて約2倍である。

ただし、実質的にCTRモードとCBC-MACの組合せであり、データサイズが(処理系が扱えるメモリサイズに対して)大きい場合には注意が必要である。例えば、ストリーミングデータなどへの処理には、CCMとして、内部で呼び出すCTRの処理とCBC-MACの処理、両方を交互に行なうような実装を行なわないと、処理が不可能となる。この場合、中間データの保持のためにいくらかの必要レジスタサイズの増加が考えられる。

その他の懸念とされる事項が技術文書として公開されている。後の議論の章を参照頂きたい。

並列処理性など まず、CCM 処理中の CTR 処理と、CBC-MAC 処理は並列処理が可能である。従って適切な実装により 2 並列度までは簡単に達成できる。しかし、CBC-MAC には並列処理機能がないため、それ以上の並列処理は CTR のみに適用可能となる。

これは復号化処理についても同じことがいえる。

復号化 CCM モードでは、ブロック暗号の復号化関数を利用しない。よって、CCM 暗号化、CCM 復号化の両方の機能を実装する場合には、その実装コストは、CBC や ECB に比較して軽いことが期待できる。

議論 CCM は IEEE 802.11 の標準ドラフトなど、いくつかの業界標準方式として採用されている実績がある [WHR02] このモードの利用に関する注意を記した文書が Rogaway, Wagner らにより公開されている [RW03]。主に効率に関するコメントと安全性に関するコメントであるが、安全性は上記 [J02] の結果を否定するものではなく、CCM の NIST への提案文書 [WHF02] における安全性の主張に根拠がなく、かつ誤りと思われる宣言がいくつかある、という指摘に留まっている。現状 (2003 年 11 月現在)、CCM に対して安全性を懸念する材料となるには至っていない。

[RW03] で指摘する効率に関する注意点は次の 3 点である。

1. オンラインアルゴリズムでない。
2. ワード境界がずれる可能性がある。
3. 固定ヘッダ情報に対しての事前計算ができない。

その他、仕様が複雑であることや、タグ長 (改竄検知に関する安全性レベル) の柔軟性から考える安全性への懸念などが示されている。

これらを指摘した [RW03] では、CCM の代替として、EAX の利用を提案している。

6.2 CWC

仕様の概要 CWC (Carter Wegman with Counter) モードは、CTR モードの暗号化と、Universal hash (汎用ハッシュ) による MAC 生成とを利用した認証暗号方式である [KVW03]。

具体的には、メッセージに対してCTRモードで一度暗号文を生成し、その暗号文に対して(暗号化されない付加データの入力を許して)MACをつけるというものである。

MAC生成は、Universal hashという性質をもつ特殊な(パラメータ付きの)ハッシュ関数を使って暗号文のハッシュ値を生成し、さらにこれを使い捨て的な乱数(ただし、真の乱数ではなく、仕様で定義された計算方法で求められる、攻撃者には計算できない値)でマスクして暗号文に添付するものである。

本方式はNISTの策定しているAES利用モードへ提案された利用モードである[KVW03].

安全性 提案の文書では、128ビットブロック暗号に限定した安全性評価を行なっている。

メッセージ認証については、内部で用いるブロック暗号を擬似ランダム関数に置き換えた時(それに対する攻撃者の利得を ϵ' と定義した時)、MAC偽造を目的とした攻撃者の利得は以下ようになる。

$$\text{Adv}_{\text{CWC}}^{\text{auth}} \leq \epsilon' + (\mu_M + \mu_A)/2^{133} + 2^{-125} + 2^{-t}.$$

ここで、 μ_M, μ_A はそれぞれ、メッセージ、付加情報の長さの上限であり、 t はタグ長に相当するアルゴリズムの安全性のパラメータの一つである。

また、内部で用いるブロック暗号を擬似ランダム置換とした場合には、質問回数が最大 $q-1$ 、オラクルへの質問長が最大 μ であるとき、改竄を行なう攻撃者の利得は以下ようになる。

$$\text{Adv}_{\text{CWC}}^{\text{auth}} \leq \epsilon' + (\mu/128 + 3q + 1)^2/2^{129} + (\mu_M + \mu_A)/2^{133} + 2^{-125} + 2^{-t}.$$

秘匿については、暗号文が乱数との識別できる/できないという定義で議論している。具体的な評価では、内部で用いるブロック暗号を擬似ランダム関数に置き換えた時(それに対する攻撃者の利得を ϵ' と定義した時)、暗号文を乱数と区別する攻撃者の利得は以下ようになる。

$$\text{Adv}_{\text{CWC}}^{\text{auth}} \leq \epsilon'.$$

また、内部で用いるブロック暗号を擬似ランダム置換とした場合には、質問回数が最大 $q-1$ 、オラクルへの質問長が最大 μ であるとき、改竄を行なう攻撃者の利得は以下ようになる。

$$\text{Adv}_{\text{CWC}}^{\text{auth}} \leq \epsilon' + (\mu/128 + 3q + 1)^2/2^{129}.$$

効率 この利用モードは効率の評価がやや困難である。処理はCTRモードの処理と Universal hash の計算の部分が大部であるが、後者がブロック暗号による処理でないもののそれ相応の処理となるため、処理するプラットフォームや開発に用いる記述言語などにより universal hash の計算の効率が大きく変化すると考えられる。

少なくともこれまでの利用モードには珍しい(秘密情報に依存した)算術乗算演算があるため、実装には注意が必要な場合がある。

並列処理性など Universal hash の処理はCTRモードの結果を用いるため、安直に実装してしまうとこれらの並列処理性がないような実装に陥る可能性がある。しかしながら、CTRモードの処理の最後のデータがMACの最初の処理に用いられるものではないので、仕様書から技術を十分読みとれば、CTR と universal hash との両方の処理を交互に処理するような実装が可能である。

CTR 自身は並列処理可能である一方、universal hash の並列処理には、冪乗計算を並列に行なうための工夫が必要である。そのための概要は示してあるが、一般のエンジニアがこれらの文面から並列処理を実現するには別の技術解説文書が必要である。

復号化 CCMモードでは、ブロック暗号の復号化関数を利用しない。よって、CCM暗号化、CCM復号化の両方の機能を実装する場合には(もちろん、冪乗演算のコストが新たに必要だが)、CBCやECBに比較して軽いことが期待できる。

6.3 EAX

仕様の概要 EAX(A Conventional Authenticated-Encryption Mode) は、CTRモードと OMAC[IK03a] を組み合わせた利用モードである [BRW03]。機能としては、入力としてメッセージ、nonce、ヘッダ情報があり、暗号化することにより、メッセージの情報が秘匿されることが保証され、かつメッセージとヘッダ情報の認証が復号化時に行なわれる。

具体的な処理としては、以下のような処理となる。メッセージは、nonce から生成された攪拌 nonce N を開始値としてCTRモードにより暗号化する。この結果を暗号文とする。そして N 、暗号文のMAC、ヘッダ情報のMACを排他論理和し、その結果をタグとするものである。

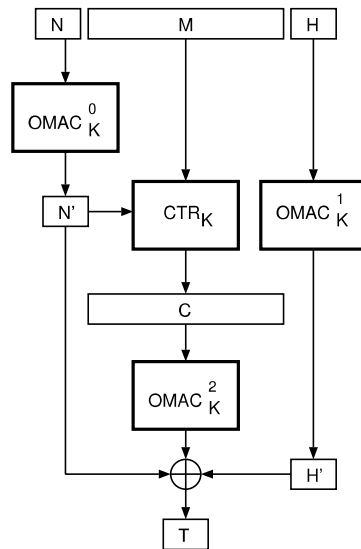


図 20: EAX モードの暗号化の処理を示すブロック図

安全性 証明可能安全性であるとされているが、その証明についてはまだ公開されていない。近い将来公開される予定である。

効率 処理効率はヘッダ部分の処理と、秘匿するメッセージ部分の処理との重さが異なる。秘匿するメッセージ部分に対しては ECB の二倍必要であるが、ヘッダについては ECB と同等の処理速度である。

並列処理性など 暗号化や MAC 生成など、処理の本質となる部分が3つあるため、並列処理できる/できないという表現では説明次第ではあいまいになる。ここを整理しながら説明する。

ヘッダ部分への処理は他とはほぼ独立であり、ここは切り離して並列度に数えることができる。

メッセージについては、CTR と OMAC が直列に並んでいるため、それ自身では並列処理はできないように見える。しかしながら、CTR が処理した結果である暗号文が生成されれば OMAC 処理は開始できるので多少の遅れをもって並列処理可能である。

また、メッセージ長が長い場合には、CTR と OMAC を同時に動かす必要があるため、そのための実装には注意と工夫が必要である。

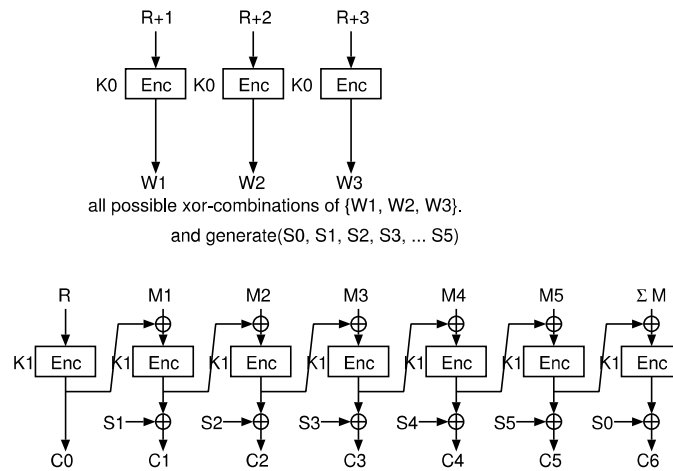


図 21: IACBC モードの暗号化の処理を示すブロック図

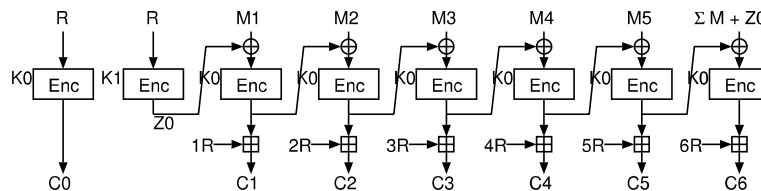


図 22: XCBC モードの暗号化の処理を示すブロック図

復号化 EAX モードでは、ブロック暗号の復号化関数を利用しない。よって、EAX 暗号化、EAX 復号化の両方の機能を実装する場合には、その実装コストは、CBC や ECB に比較して軽いことが期待できる。

6.4 IACBC/XCBC

仕様の概要 IACBC[J01, J00], XCBC[GD01a, GD01b] とともに CBC モードにおいてブロック暗号出力をマスクすることで本質的なメッセージ認証の安全性を与えた利用モードである。

IACBC について説明する。処理するメッセージ長を m ブロックとすると、第一の鍵と初期値 (乱数) から、 $\lceil \log_2 m \rceil$ ブロックのマスクの種 W_i を生成する。この W_i から約 m ブロック分の pairwise independent (ペア単位では独立) なブロック列 S_i を生成する ($\log_2 m$ 個の要素を含む集合から、可能な要素の組み合わせの数は $2^{\log_2 m} = m$ とおり)。

これら W_i ならびに S_i はメッセージ到着と同時に必要なとき逐次的に生成が可能であるため、これらの処理はオンライン処理性を崩すことはない。

これら S_i 列をそれぞれブロック暗号出力にマスクしながら第二の鍵で CBC モードのようなブロック連鎖を伴いながら暗号文を出力することが、スキームの主要部分となる。最後のブロックはメッセージのチェックサムとその暗号化のための末端処理がある。

一方、XCBC は、初期値である秘密乱数 R と二つの鍵から C_0, Z_0 を生成する。そして IACBC モードでいうところの S_i 列は、整数倍の R となり、ブロック毎に整数乗算 (おそらく 128 ビット幅) を行なう。暗号文の生成は、出力と S_i 列との算術加算の結果である。

仕様を厳密に記すと、XCBC は暗号化を行なうものであり、秘匿のみを保持する。このモードを使って、平文に特殊な秘密パディングを施したもの (仕様書では、そのひとつを XCBC-XOR と呼んでいる) が認証暗号の機能を達成することができる。

安全性 IACBC, XCBC とともに、近年の共通鍵暗号の安全性に関する議論を踏まえた安全性の証明を示している。

XCBC/XCBC-XOR についても秘匿とメッセージ認証両方の観点からの攻撃者の利得の上限を与えている。XCBC が $(q', t'; \epsilon')$ -安全な擬似ランダム関数を用いているとすると、初期値が乱数である XCBC は Left-or-Right に関する秘匿の意味で (q, t, μ, ϵ) -安全である。ただし

$$(t, \mu, \epsilon) = (t' - c\mu, q \cdot n, 2\epsilon' + (\mu^2/n^2 - \mu/n)2^{-n}).$$

XCBC-XOR に対するメッセージ認証に関する安全性として攻撃者の改竄成功確率の上限を与えている。 (q', t', ϵ') を秘匿の場合の定義と同じとして、

$$\begin{aligned} \text{Adv}_{\text{XCBC}}^{\text{auth}} \leq & \epsilon + \frac{\mu_v(\mu_v - n)}{n^2 2^{n+1}} + \frac{q_e(q_e - 1)}{2^{n+1}} + \frac{(q_e + 1)\mu_v}{n 2^n} \\ & + \frac{\mu_v}{n 2^{n+1}} (\log_2 \frac{\mu_v}{l} + 3) + \frac{q_v \mu_e}{n 2^n} (\log_2 \frac{\mu_e}{n} + 3). \end{aligned}$$

効率 認証暗号のスキームでは効率的な両方式である。IACBC は、メッセージのブロック数 m に対して $m + \log m$ 程度のブロック暗号呼び出しに加えて排他論理和を基本とした補助演算が含まれる。メッセージ長が大きくなると、CBC や ECB に対する負荷処理は割合としてさほど小さくなる。

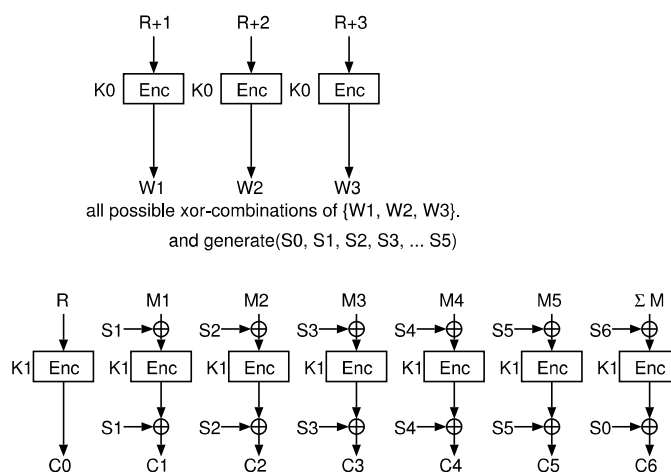


図 23: IAPM モードの暗号化の処理を示すブロック図

XCBC-XOR ではブロック暗号の呼びだし回数は ECB, CBC とほぼ同じである $m + 3$ 回程度の処理を行なうが、マスクの生成、ならびにマスク処理のために、算術加算 (また実装によっては算術乗算) の処理が含まれる。これらは 128 ビットのレジスタで処理される演算である。

並列処理性など 並列処理性については CBC モードと同様である。暗号化においては、主要な演算部分の並列処理性は達成できない。ただし、XCBC では、CBC で適用されたようにインターリーブする手法が記述されている。

復号化 復号化では、ブロック暗号プリミティブの暗号化演算、復号化演算両方を利用するため、復号処理では両方を同時に実装する必要がある。

6.5 IAPM/OCB

仕様の概要 IAPM[J00, J01], OCB[RBBK01a, RBBK01b] とともにブロック連鎖のない暗号処理である。主要な攪拌部分は、ECB モードにおいて、ブロック暗号の入出力部で、ブロック位置に応じた秘密マスクを行なうことである。

IAPM では、これら秘密マスクを $\log m$ ブロックの W_i 列の (擬似) 乱数ブロックから m ブロックの pairwise independent ブロックを生成している。一方、OCB では、秘密鍵と nonce から生成する (擬似) 乱数 2 ブロッ

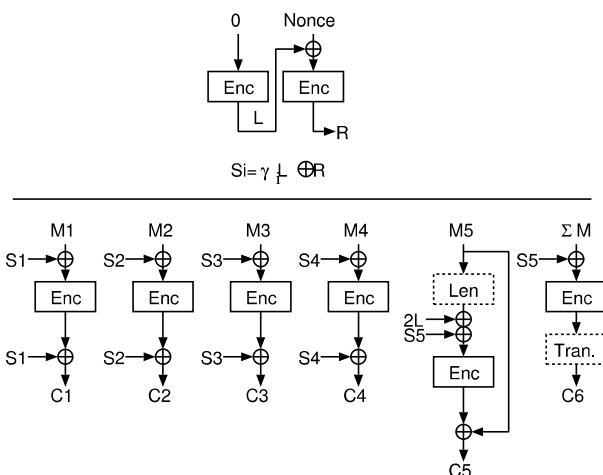


図 24: OCB モードの暗号化の処理を示すブロック図

ク、 L, R から S_i を生成している。具体的には、ブロック位置 i 番目には $\gamma_i L \oplus R$ を生成するような、線形式によるブロック列の生成である。

OCB では、これら線形列の生成が隣のブロックに対して排他的論理和を一度行なうだけでよいように gray code (自然数の並べかえであって、隣り合う整数どうしのバイナリ表現によるハミング距離が常に 1 であるような順列) の技術を使って生成している。

IAPM に比べて OCB は、後で提案されたこともあり様々な観点から改良と呼ぶことができる特徴がいくつもある。OCB では秘密鍵を 1 個利用する (IAPM は 2 個)。OCB では初期値として nonce であればよい (IAPM は乱数)。OCB では、ブロック暗号の呼びだしは m 回程度である (IAPM は約 $m + \log m$ 回)。OCB では端数処理の定義があり、パディングが本質的理由となる暗号文の増加が最小限に押えられている。

安全性 ランダム関数を内部で用いる OCB の、メッセージ認証に関する利得は以下のように示されている。

$$\text{Adv}_{\text{OCB}}^{\text{auth}} \leq 1.5(\mu_e + 3q + 5\mu_v + 11)^2 / 2^n + 2^{-\tau}.$$

ここで、 μ_e は攻撃者の q 回の暗号化オラクルへの質問で累積するブロック数、 μ_v は復号化への試行の数、 τ はタグ長である。

一方、秘匿に関する安全性としては、暗号文-乱数不可識別性による秘匿の定義により評価を行っており、この場合各パラメータ、変数はメッセージ認証と同じとして、ランダム関数を用いた OCB の秘匿に関する攻

撃者の利得は以下のようになる。

$$\text{Adv}_{\text{OCB}}^{\text{cr}} \leq 1.5(\mu_e + 2q + 3)^2/2^n.$$

並列処理性など これらの利用モードはメッセージ認証可能な暗号方式であってかつ、暗号化、復号化ともに並列処理性があることが大きな特徴である。ただし並列処理を行なう場合にも処理するブロックのブロック位置はプロセッサが知っておく必要がある。

復号化 復号化処理においても、ブロック暗号の暗号化関数が必要であるので、復号化デバイスには両方を実装する必要がある。

6.6 k -PCFB

仕様の概要 k -CFB に変更を加えた利用モードである [H01c]。従来の k -CFB モードは $k < n$ のとき、内部レジスタの更新に前の情報の内部レジスタ値を使っていた。このモードでは、ブロック暗号処理の出力の一部と暗号文を使って内部レジスタを更新する。

この利用モードとして、特殊な平文(前後に平文長がパディングされたもの)を使うことによりメッセージ認証も達成できると提案されている。

安全性 秘匿に関してはCFBの拡張の一種であり問題ないと考える。

メッセージ認証については特に安全性に関する技術的根拠が記載されていない。また、提案者自身の評価も公開されていないため、あまり研究者の興味を集めたモードでない。

実際に、スキームへの改竄が可能であることは簡単に示すことができる。 $k = n$ のときはCFBと等価であるため、ブロック単位のデータ欠損にはある程度の遅れを伴うもののすぐに同期が回復する。メッセージ中に長さ情報として読みとれる部分を二箇所、(その値で指定される)適切な幅で挿入しておけば、データ欠損時にもその改竄が検出できない。結果として部分だけを切りとる攻撃が既知平文攻撃により可能である。

7 ディスクセクタ向け暗号利用モード

IEEE の Security in Storage Working Group では、ハードディスクなどをセクタ単位で暗号化することを直接的な応用先として、利用モードとその運用の観点から技術調査、標準化を行なっている [WWW1]。

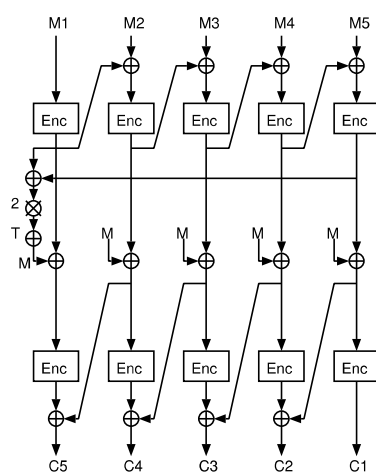


図 25: EMD モードの暗号化の処理を示すブロック図

この標準化における技術要件は、平文が暗号文の長さから変化することがない暗号化であって、かつ暗号文に対するいかなる改竄によっても平文が攪拌されていることを保証するものである。

現在標準化が策定中であり、提案された利用モードに関する情報は多くない。本報告では、提案方式を簡単に説明する。

7.1 EMD

EMD は Tweak 入力 (補助的な入力であって秘密情報ではないブロック暗号に対するパラメータのようなもの) をとりながら 2 パス処理により大きなブロックを攪拌する利用モードである [R02b].

この利用モードは、証明にミスがあり、かつ効率的に PRP から判定可能であることが示された [J03].

7.2 EME

EME は、EMD の並列化可能なスキームに改良したものである [R02b, HR03a].

この利用モードについても、Tweak が攻撃者により制御できる場合には効率的に PRP から判定可能であることが示された [J03].

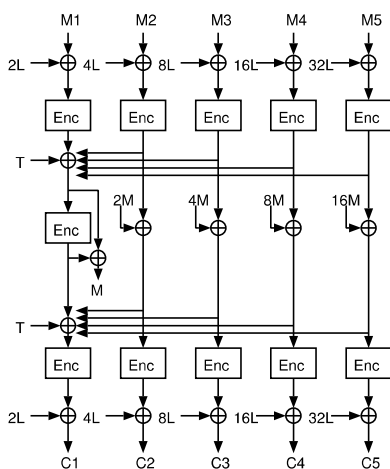


図 26: EME モードの暗号化の処理を示すブロック図

7.3 CMC

CMC は, EMD, EME モード [R02b, HR03a] に対して安全性の観点から改良した利用モードである.

7.4 NR

NR はブロック暗号の ECB モードに処理を加えた暗号処理方式である [NR03]. 入力出力にそれぞれ拡張 Feistel 構造で構成される線形変換を導入する. 入力側, 出力側で二種類の線形変換を定義するが, 各々の変換の内部では, 3つの universal hash を用いている.

8 認証に関する利用モード

本章では, 認証に関する利用モードについて述べる. EMAC, RMAC, XCBC, TMAC, OMAC は CBC MAC の変形であり, XOR MAC, XECB MAC, PMAC は並列計算可能な方式である. また, f_9 は 3GPP [3GPPa, 3GPPb] により標準化されている方式である.

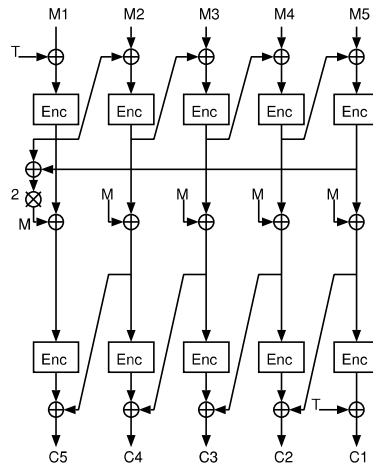


図 27: CMC モードの暗号化の処理を示すブロック図

8.1 CBC MAC

CBC MAC には、パディングの方法や、最終ブロックの処理など、いくつもの仕様がある。次に述べる仕様は、最も単純なものである。

方式 CBC MAC はブロック暗号 E 、タグ長 τ 、(メッセージ長を規定する) 定数 m をパラメータとする。ブロック長 n のブロック暗号 $E: \mathcal{K}_E \times \{0,1\}^n \rightarrow \{0,1\}^n$ を用いた場合は、 $\tau \leq n$ でなくてはならない。これらのパラメータを用いた CBC MAC を $\text{CBC}[E, \tau, m]$ と表記する。CBCMAC は鍵生成アルゴリズム CBC- \mathcal{K} 、タグ生成アルゴリズム CBC- \mathcal{G} 、確認アルゴリズム CBC- \mathcal{V} はそれぞれ以下のように動作する。

- 鍵生成アルゴリズム CBC- \mathcal{K} は確率的アルゴリズムであり、 $K \stackrel{R}{\leftarrow} \mathcal{K}_E$ を出力する。
- タグ生成アルゴリズム CBC- $\mathcal{G}: \mathcal{K}_E \times \{0,1\}^{mn} \rightarrow \{0,1\}^\tau$ は決定的アルゴリズムであり、鍵空間は \mathcal{K}_E 、メッセージ空間は $\{0,1\}^{mn}$ 、タグ空間は $\{0,1\}^\tau$ である。すなわち、鍵 $K \in \mathcal{K}_E$ とメッセージ $M \in \{0,1\}^{mn}$ を入力とし、タグ $T = \text{CBC-}\mathcal{G}_K(M) \in \{0,1\}^\tau$ を出力する。図 29, 図 30 にあるように動作する。図 30 において、trunc は n ビットの入力のうち、左 τ ビットを出力する。
- 確認アルゴリズム CBC- $\mathcal{V}: \mathcal{K}_E \times \{0,1\}^{mn} \times \{0,1\}^\tau \rightarrow \text{accept or reject}$

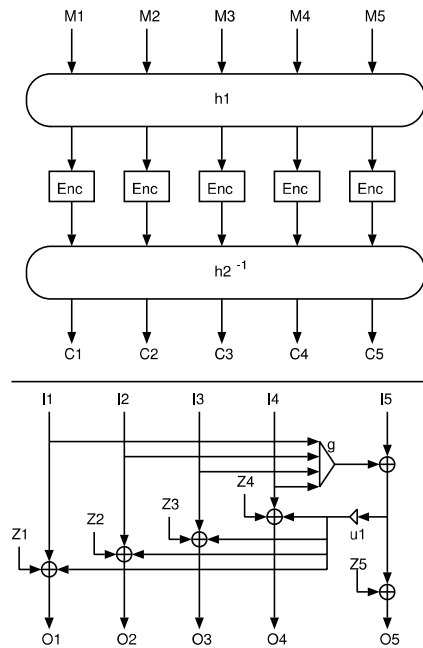


図 28: NR モードの暗号化の処理 (上) と内部の universal hash の構成 (下) を示すブロック図

は決定的アルゴリズムであり、鍵 $K \in \mathcal{K}_E$, メッセージ $M \in \{0, 1\}^{mn}$, タグ $T \in \{0, 1\}^\tau$ を入力とし, $\text{accept or reject} = \text{CBC-}\mathcal{V}_K(M, T)$ を出力する. 図 31 にあるように動作する.

安全性 Bellare, Kilian, Rogaway により, 安全性が解析されている [BKR00]. ブロック暗号 E が安全な擬似ランダム置換族であれば, $\text{CBC}[E, \tau, m] = (\mathcal{K}_{\text{CBC}}, \mathcal{G}_{\text{CBC}}, \mathcal{V}_{\text{CBC}})$ は, 偽造不可能性の意味で安全な MAC であることが示されている. (タグ生成アルゴリズムは決定的なので, この場合, 弱偽造不可能性と強偽造不可能性は同一の定義になる.) 以下の定理が示されている.

定理 8.1. $n, m \geq 1$ を整数, t, q を $qm \leq 2^{(n+1)/2}$ なる整数とする. $E : \mathcal{K}_E \times \{0, 1\}^n \rightarrow \{0, 1\}^n$ をブロック暗号とする. このとき,

$$\text{Adv}_{\text{CBC}[E, \tau, m]}^{\text{mac}}(t, q, mq) \leq \text{Adv}_E^{\text{prp}}(t', q') + \frac{2q^2m^2}{2^n} + \frac{1}{2^\tau}$$

である. ただし, $q' = mq, t' = t + O(nmq)$ であり, 質問の長さはブロック単位である.

```

Algorithm CBC- $\mathcal{G}_K(M)$ 
 $Y[0] \leftarrow 0^n$ 
Partition  $M$  into  $M[1] \cdots M[m]$ 
for  $i \leftarrow 1$  to  $m$  do
     $X[i] \leftarrow M[i] \oplus Y[i-1]$ 
     $Y[i] \leftarrow E_K(X[i])$ 
 $T \leftarrow$  the left most  $\tau$  bits of  $Y[m]$ 
return  $T$ 

```

図 29: CBC MAC のタグ生成アルゴリズム $\text{CBC-}\mathcal{G}_K(\cdot)$.

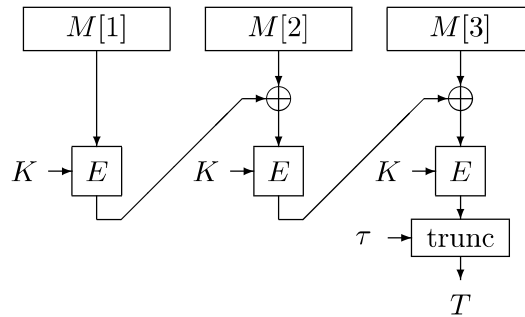


図 30: $M = M[1]M[2]M[3]$ の場合の $\text{CBC-}\mathcal{G}_K(M)$ の動作.

```

Algorithm CBC- $\mathcal{V}_K(M, T)$ 
 $T' \leftarrow \text{CBC-}\mathcal{G}_K(M)$ 
if  $T = T'$  then return accept
else return reject

```

図 31: CBC MAC の確認アルゴリズム $\text{CBC-}\mathcal{V}_K(\cdot, \cdot)$.

直感的に、定理 8.1 は、以下のことを示している： 実行時間 t , 高々 q 回の質問の後,

$$\text{Adv}_{\text{CBC}[E,\tau,m]}^{\text{mac}}(A) = \epsilon$$

で偽造に成功する敵が存在すると仮定する。このとき、実行時間 $t' = t + O(nmq)$, 高々 $q' = mq$ 回の質問の後,

$$\text{Adv}_E^{\text{prp}}(B) \geq \epsilon - \frac{2q^2m^2}{2^n} - \frac{1}{2^\tau}$$

なる敵 B が存在する。

しかし、上記の定理はメッセージ空間が、ある定数 m に対し、 $\{0,1\}^{mn}$ となっていないなければならない。そうでない場合、特に可変長のメッセージ空間 (たとえば $(\{0,1\}^n)^+$) に対しては、CBC MAC は安全な MAC ではなくなる。たとえば、図 32 の敵 A は、メッセージ空間を $(\{0,1\}^n)^+$ とした CBC MAC を偽造不可能性の意味で破る敵である。また、その成功確率は 1 である。

Algorithm $A^{\text{CBC-}\mathcal{G}_K(\cdot)}$

$M \leftarrow 0^n$

$T \leftarrow \text{CBC-}\mathcal{G}_K(M)$

$M' \leftarrow (M, T)$

return (M', T)

図 32: $A^{\text{CBC-}\mathcal{G}_K(\cdot)}$.

効率 CBC MAC の効率は、以下のようにまとめられる。

- 鍵長：ブロック暗号の鍵 $K \in \mathcal{K}_E$ 一つのみである。
- ブロック暗号鍵スケジューリングの呼び出し回数：1 回である。
- メッセージ M に対するタグを生成するのにかかるブロック暗号の呼び出し回数： $(|M|/n)$ 回の呼び出しである。
- 事前計算するべきブロック暗号の呼び出し回数：必要ない。
- 並列処理性：並列処理はできない。

標準化状況 広範囲にわたって標準化されている。FIPS 113, ISO 9797, ISO 8731-1, ISO 9807, ANSI X9.9, ANSI X9.19 に含まれている。

なお、メッセージ長の問題を解決するために、パディング、最終出力の前に暗号化を施すなど、いくつかの変形がある。正確な仕様については、各標準の文書を参照されたい。

8.2 EMAC

方式 EMAC はブロック暗号 E とタグ長 τ をパラメータとする。ブロック長 n のブロック暗号 $E : \mathcal{K}_E \times \{0, 1\}^n \rightarrow \{0, 1\}^n$ を用いた場合は、 $\tau \leq n$ でなくてはならない。これらのパラメータを用いた EMAC を $\text{EMAC}[E, \tau]$ と表記する。EMAC $[E, \tau] = (\text{EMAC-}\mathcal{K}, \text{EMAC-}\mathcal{G}, \text{EMAC-}\mathcal{V})$ の鍵生成アルゴリズム EMAC- \mathcal{K} 、タグ生成アルゴリズム EMAC- \mathcal{G} 、確認アルゴリズム EMAC- \mathcal{V} はそれぞれ以下のように動作する。

- 鍵生成アルゴリズム EMAC- \mathcal{K} は確率的アルゴリズムであり、 $K_1 \xleftarrow{R} \mathcal{K}_E$ と $K_2 \xleftarrow{R} \mathcal{K}_E$ を出力する。
- タグ生成アルゴリズム EMAC- $\mathcal{G} : (\mathcal{K}_E)^2 \times (\{0, 1\}^n)^+ \rightarrow \{0, 1\}^\tau$ は決定的アルゴリズムであり、鍵空間は $(\mathcal{K}_E)^2$ 、メッセージ空間は $(\{0, 1\}^n)^+$ 、タグ空間は $\{0, 1\}^\tau$ である。すなわち、鍵 $K_1, K_2 \in \mathcal{K}_E$ とメッセージ $M \in (\{0, 1\}^n)^+$ を入力とし、タグ $T = \text{EMAC-}\mathcal{G}_{K_1, K_2}(M) \in \{0, 1\}^\tau$ を出力する。図 33, 図 34 にあるように動作する。
- 確認アルゴリズム EMAC- $\mathcal{V} : (\mathcal{K}_E)^2 \times (\{0, 1\}^n)^+ \times \{0, 1\}^\tau \rightarrow \text{accept or reject}$ は決定的アルゴリズムであり、鍵 $K_1, K_2 \in \mathcal{K}_E$ 、メッセージ $M \in (\{0, 1\}^n)^+$ 、タグ $T \in \{0, 1\}^\tau$ を入力とし、 $\text{accept or reject} = \text{EMAC-}\mathcal{V}_{K_1, K_2}(M, T)$ を出力する。図 35 にあるように動作する。

安全性 Petrank, Rackoff により、安全性が解析されている [PR00]。ブロック暗号 E が安全な擬似ランダム置換族であれば、EMAC $[E, \tau]$ は、偽造不可能性の意味で安全な MAC であることが示されている。以下の定理が示されている。

定理 8.2. $n, \tau \geq 1$ を整数、 $t, q, \sigma \geq 1$ を $\sigma^2 \leq 2^{(n+1)/2}$ なる整数とする。 $E : \mathcal{K}_E \times \{0, 1\}^n \rightarrow \{0, 1\}^n$ をブロック暗号とする。このとき、

$$\text{Adv}_{\text{EMAC}[E, \tau]}^{\text{mac}}(t, q, \sigma) \leq 2\text{Adv}_E^{\text{prp}}(t', q') + \frac{3\sigma^2}{2^n} + \frac{1}{2^{\tau-1}}$$

```

Algorithm EMAC- $\mathcal{G}_{K_1, K_2}(M)$ 
 $Y[0] \leftarrow 0^n$ 
Partition  $M$  into  $M[1] \cdots M[m]$ 
for  $i \leftarrow 1$  to  $m$  do
     $X[i] \leftarrow M[i] \oplus Y[i-1]$ 
     $Y[i] \leftarrow E_{K_1}(X[i])$ 
 $T \leftarrow$  the left most  $\tau$  bits of  $E_{K_2}(Y[m])$ 
return  $T$ 

```

図 33: EMAC のタグ生成アルゴリズム EMAC- $\mathcal{G}_{K_1, K_2}(\cdot)$.

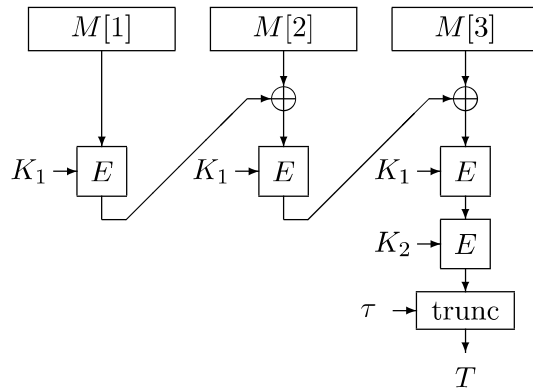


図 34: $M = M[1]M[2]M[3]$ の場合の EMAC- $\mathcal{G}_{K_1, K_2}(M)$ の動作.

```

Algorithm EMAC- $\mathcal{V}_{K_1, K_2}(M, T)$ 
 $T' \leftarrow$  EMAC- $\mathcal{G}_{K_1, K_2}(M)$ 
if  $T = T'$  then return accept
else return reject

```

図 35: EMAC の確認アルゴリズム EMAC- $\mathcal{V}_{K_1, K_2}(\cdot, \cdot)$.

である。ただし、 $q' = \sigma$, $t' = t + O(n\sigma)$ であり、質問の長さはブロック単位である。

定理 8.2 は、以下のことを示している：実行時間 t , 高々 q 回の質問をし、それらの質問が合計で高々 σ ブロックであり、

$$\text{Adv}_{\text{EMAC}[E,\tau]}^{\text{mac}}(A) = \epsilon$$

なる敵 A が存在すると仮定する。このとき、実行時間 $t' = t + O(n\sigma)$, 高々 $q' = \sigma$ 回の質問の後、

$$\text{Adv}_E^{\text{DFP}}(B) \geq \frac{\epsilon}{2} - \frac{3\sigma^2}{2^{n+1}} - \frac{1}{2\tau}$$

なる敵 B が存在する。

効率 EMAC の効率は、以下のようにまとめられる。

- 鍵長：ブロック暗号の鍵 $K_1, K_2 \in \mathcal{K}_E$ の二つである。
- ブロック暗号鍵スケジューリングの呼び出し回数：2 回である。
- メッセージ M に対するタグを生成するのにかかるブロック暗号の呼び出し回数： $(|M|/n) + 1$ 回の呼び出しである。
- 事前計算するべきブロック暗号の呼び出し回数：必要ない。
- 並列処理性：並列処理はできない。

標準化状況 ISO/IEC 9797-1 に含まれている [ISOIEC9797-1]。また、NESSIE の portfolio にも含まれている [WWW8]。実装が容易であること、証明可能安全であること、効率と鍵スケジューリングが妥当であることなどが挙げられている [WWW8]。

8.3 RMAC

RMAC にはいくつかのバージョンが存在する。Jaulmes, Joux, Vallete によって提案されたオリジナルの RMAC [JJ+02a, JJ+02b] と NIST が SP800-38B のドラフト版 [SP800-38B] で提案した RMAC である。それぞれ RMAC-JJV と RMAC-NIST と表記することにする。

Jaulmes, Joux, Vallete によって NIST に提案された文書 [JJ+02c] には 2 の方式が提案されている。メッセージのパディングの仕方が異なり、それぞれ、RMAC-JJV1, RMAC-JJV2 と表記する。

方式 (RMAC-JJV1) はじめに, RMAC-JJV1 について述べる.

$$\text{RMAC-JJV1} = (\text{RMAC-JJV1-}\mathcal{K}, \text{RMAC-JJV1-}\mathcal{G}, \text{RMAC-JJV1-}\mathcal{V})$$

の鍵生成アルゴリズム RMAC-JJV1- \mathcal{K} , タグ生成アルゴリズム RMAC-JJV1- \mathcal{G} , 確認アルゴリズム RMAC-JJV1- \mathcal{V} はそれぞれ以下のように動作する.

$\text{Perm}(n)$ を n ビット上のすべての置換の集合とし, r を整数とする. ランダム置換 f_1 とは, $\text{Perm}(n)$ から一様ランダムに選んだ f_1 である. $f_1 \stackrel{R}{\leftarrow} \text{Perm}(n)$ と表記する. 置換族 F_2 を以下のように定義する.

$$F_2 = \left\{ f_2^{(R)} \mid R \in \{0, 1\}^r, f_2^{(R)} \in \text{Perm}(n) \right\}$$

すなわち, 各 $R \in \{0, 1\}^r$ に対し, インデックス R を持つ置換 $f_2^{(R)} \in \text{Perm}(n)$ からなる集合である.

- 鍵生成アルゴリズム RMAC-JJV1- \mathcal{K} は確率的アルゴリズムであり, $f_1 \stackrel{R}{\leftarrow} \text{Perm}(n)$ と, 各 $R \in \{0, 1\}^r$ に対し, $f_2(R) \stackrel{R}{\leftarrow} \text{Perm}(n)$ を出力する.

すなわち, 鍵空間は $\text{Perm}(n) \times F_2$ であり, 鍵は,

$$f_1, f_2^{(0, \dots, 0)}, f_2^{(0, \dots, 1, 0)}, \dots, f_2^{(1, \dots, 1)}$$

となる.

- タグ生成アルゴリズム RMAC-JJV1- \mathcal{G} : $(\text{Perm}(n) \times F_2) \times \{0, 1\}^* \rightarrow (\{0, 1\}^n \times \{0, 1\}^r)$ は確率的アルゴリズムであり, 鍵空間は $\text{Perm}(n) \times F_2$, メッセージ空間は $\{0, 1\}^*$, タグ空間は $\{0, 1\}^n \times \{0, 1\}^r$ である. 鍵 $f_1 \in \text{Perm}(n)$, $f_2^{(R)}$ ($R \in \{0, 1\}^r$) とメッセージ $M \in \{0, 1\}^*$ を入力とし, タグ $T = \text{RMAC-JJV1-}\mathcal{G}_{f_1, f_2^{(R)}}(M) \in \{0, 1\}^n \times \{0, 1\}^r$ を出力する. 図 36, 図 37 にあるように動作する.

まず, 2 行目で r ビットの乱数 R を生成し, この R をインデックスにもつ $f_2^{(R)}$ を最終ブロックの暗号化の際に用いる. 3 行目では, M に 1 を連結してから, 全体が n ビットの倍数になるよう 0 を連結する. すなわち,

$$M \leftarrow M \| 1 \| 0^{n-1-|M| \bmod n}$$

とする. M がすでに n の整数倍である場合は, 10^{n-1} を連結する.

```

Algorithm RMAC-JJV1- $\mathcal{G}_{f_1, f_2^{(R)}}(M)$ 
 $R \xleftarrow{R} \{0, 1\}^r$ 
Pad  $M$ 
 $Y[0] \leftarrow 0^n$ 
Partition  $M$  into  $M[1] \cdots M[m]$ 
for  $i \leftarrow 1$  to  $m$  do
     $X[i] \leftarrow M[i] \oplus Y[i-1]$ 
     $Y[i] \leftarrow f_1(X[i])$ 
 $T' \leftarrow f_2^{(R)}(Y[m])$ 
 $T \leftarrow (T', R)$ 
return  $T$ 

```

図 36: RMAC-JJV1 のタグ生成アルゴリズム $\text{RMAC-JJV1-}\mathcal{G}_{f_1, f_2^{(\cdot)}}(\cdot)$.

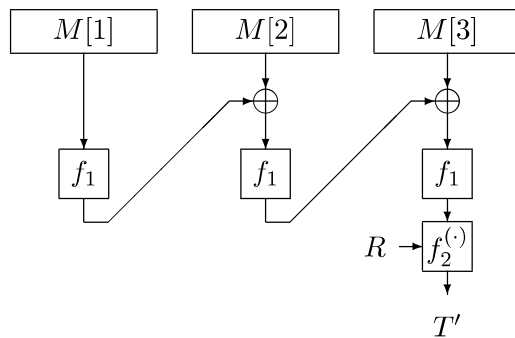


図 37: $M = M[1]M[2]M[3]$ の場合の $\text{RMAC-JJV1-}\mathcal{G}_{f_1, f_2^{(R)}}(M)$ の動作.

- 確認アルゴリズム $\text{RMAC-JJV1-}\mathcal{V}$: $(\text{Perm}(n) \times F_2) \times \{0,1\}^* \times (\{0,1\}^n \times \{0,1\}^r) \rightarrow \text{accept or reject}$ は決定的アルゴリズムであり, 鍵 $f_1 \in \text{Perm}(n)$, $f_2^{(\cdot)} \in F_2$, メッセージ $M \in \{0,1\}^*$, タグ $T \in (\{0,1\}^n \times \{0,1\}^r)$ を入力とし, $\text{accept or reject} = \text{RMAC-JJV1-}\mathcal{V}_{f_1, f_2^{(R)}}(M, T)$ を出力する. 図 38 にあるように動作する.

Algorithm $\text{RMAC-JJV1-}\mathcal{V}_{f_1, f_2^{(R)}}(M, (T', R))$

Pad M

$Y[0] \leftarrow 0^n$

Partition M into $M[1] \cdots M[m]$

for $i \leftarrow 1$ **to** m **do**

$X[i] \leftarrow M[i] \oplus Y[i-1]$

$Y[i] \leftarrow f_1(X[i])$

$T'' \leftarrow f_2^{(R)}(Y[m])$

if $T' = T''$ **then return** accept

else return reject

図 38: RMAC-JJV1 の確認アルゴリズム $\text{RMAC-JJV1-}\mathcal{V}_{f_1, f_2^{(\cdot)}}(\cdot, \cdot)$.

方式 (RMAC-JJV2) RMAC-JJV2 は, パディングの仕方が RMAC-JJV1 とは異なる. メッセージ長が n の倍数の場合は, 10^{n-1} を連結する必要がなく, ブロック暗号の呼び出し回数を 1 回削減できる.

メッセージ長が n の倍数である場合は, $f_2^{(R)}$ を, そうでない場合は, それとは異なる $f_2'^{(R)}$ を用いる.

AES を用いた方式 (RMAC-JJV1) ブロック暗号として AES を用いた場合の RMAC-JJV1 の実装方法が提案されている. まず, $r = 128$ として, 128 ビット乱数 R を生成する. K_1 を 128 ビット鍵, K_2 を 128 ビット, もしくは 256 ビット鍵とする. f_1 として, AES_{K_1} を, $f_2^{(R)}$ として, $\text{AES}_{K_2 \oplus R}$ (K_2 が 128 ビットの場合), もしくは $\text{AES}_{K_2 \oplus (R \parallel 0^{128})}$ (K_2 が 256 ビットの場合) とする.

AES を用いた方式 (RMAC-JJV2) ブロック暗号として AES を用いた場合の RMAC-JJV2 の実装方法が提案されている. まず, K_1 を 128 ビット鍵, K_2 を 192 ビット, もしくは 256 ビット鍵とする. RMAC-JJV2

では K_2 の長さが R の長さよりも長くないので、128 ビットの K_2 を用いることはできない。

$r = 128$ として、128 ビット乱数 R' を生成する。 f_1 として、 AES_{K_1} をもちいる。メッセージ長が n の倍数の場合、 $f_2^{(R)}$ として、 $\text{AES}_{K_2 \oplus R}$, $R = (R' \| 1 \| 0^{63})$ (K_2 が 192 ビットの場合) もしくは $\text{AES}_{K_2 \oplus R}$, $R = (R' \| 1 \| 0^{127})$ (K_2 が 256 ビットの場合) とする。

メッセージ長が n の倍数ではない場合、 $f_2^{(R)}$ として、 $\text{AES}_{K_2 \oplus R}$, $R = (R' \| 0 \| 0^{63})$ (K_2 が 192 ビットの場合) もしくは $\text{AES}_{K_2 \oplus R}$, $R = (R' \| 0 \| 0^{127})$ (K_2 が 256 ビットの場合) とする。

方式 (RMAC-NIST) NIST は SP800-38B のドラフト版で RMAC を提案した。 R の扱いがオリジナルとは異なる。オリジナルでは、 R が乱数であったのに対し、NIST の提案ではカウンタになることが許されていた。また、RMAC-JJV1 に対応する提案のみであり、RMAC-JJV2 に対応する提案はなかった。

RMAC-NIST はパラメータとして、ブロック暗号 $E : \{0, 1\}^k \times \{0, 1\}^n \rightarrow \{0, 1\}^n$, タグ長 τ , R の長さ r をとる。これらのパラメータを用いた場合、 $\text{RMAC-NIST}[E, \tau, r]$ と表記する。

$\text{RMAC-NIST}[E, \tau, r] = (\text{RMAC-NIST-}\mathcal{K}, \text{RMAC-NIST-}\mathcal{G}, \text{RMAC-NIST-}\mathcal{V})$ の鍵生成アルゴリズム $\text{RMAC-NIST-}\mathcal{K}$, タグ生成アルゴリズム $\text{RMAC-NIST-}\mathcal{G}$, 確認アルゴリズム $\text{RMAC-NIST-}\mathcal{V}$ はそれぞれ以下のように動作する。

- 鍵生成アルゴリズム $\text{RMAC-NIST-}\mathcal{K}$ は確率的アルゴリズムであり、 $K_1, K_2 \xleftarrow{R} \{0, 1\}^k$ を出力する。
- タグ生成アルゴリズム $\text{RMAC-NIST-}\mathcal{G} : (\{0, 1\}^k)^2 \times \{0, 1\}^r \times \{0, 1\}^* \rightarrow \{0, 1\}^r \times \{0, 1\}^\tau$ は決定的アルゴリズムであり、鍵空間は $(\{0, 1\}^k)^2$, メッセージ空間は $\{0, 1\}^*$, タグ空間は $\{0, 1\}^r \times \{0, 1\}^\tau$ である。さらに NIST の仕様では R はタグ生成アルゴリズムへの入力として扱われる。すなわち、鍵 $K_1, K_2 \in \{0, 1\}^k$, $R \in \{0, 1\}^r$, メッセージ $M \in \{0, 1\}^*$ を入力とし、タグ $T = \text{RMAC-NIST-}\mathcal{G}_{K_1, K_2}(R, M) \in \{0, 1\}^r \times \{0, 1\}^\tau$ を出力する。図 39, 図 40 にあるように動作する。

3 行目では、 M に 1 を連結してから、全体が n ビットの倍数になるよう 0 を連結する。すなわち、

$$M \leftarrow M \| 1 \| 0^{n-1-|M| \bmod n}$$

とする。 M がすでに n の整数倍である場合は、 10^{n-1} を連結する。

```

Algorithm RMAC-NIST- $\mathcal{G}_{K_1, K_2}(R, M)$ 
Pad  $M$ 
 $Y[0] \leftarrow 0^n$ 
Partition  $M$  into  $M[1] \cdots M[m]$ 
for  $i \leftarrow 1$  to  $m$  do
     $X[i] \leftarrow M[i] \oplus Y[i-1]$ 
     $Y[i] \leftarrow E_{K_1}(X[i])$ 
if  $r = 0$  then  $K_3 \leftarrow K_2$ 
    else  $K_3 \leftarrow K_2 \oplus (R \parallel 0^{k-r})$ 
 $T' \leftarrow$  the left most  $\tau$  bits of  $E_{K_3}(Y[m])$ 
 $T \leftarrow (R, T')$ 
return  $T$ 

```

図 39: RMAC-NIST のタグ生成アルゴリズム RMAC-NIST- $\mathcal{G}_{K_1, K_2}(\cdot, \cdot)$.

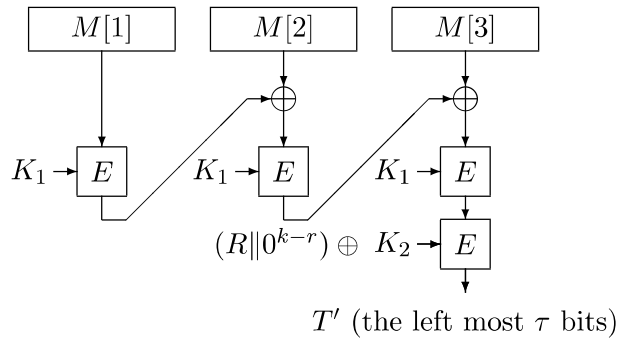


図 40: $M = M[1]M[2]M[3]$ の場合の RMAC-NIST- $\mathcal{G}_{K_1, K_2}(R, M)$ の動作.

- 確認アルゴリズム $\text{RMAC-NIST-}\mathcal{V} : (\{0, 1\}^k)^2 \times \{0, 1\}^* \times (\{0, 1\}^r \times \{0, 1\}^\tau) \rightarrow \text{accept or reject}$ は決定的アルゴリズムであり, 鍵 $K_1, K_2 \in \{0, 1\}^k$, メッセージ $M \in \{0, 1\}^*$, タグ $T \in (\{0, 1\}^r \times \{0, 1\}^\tau)$ を入力とし,

$$\text{accept or reject} = \text{RMAC-NIST-}\mathcal{V}_{K_1, K_2}(M, T)$$

を出力する. 図 41 にあるように動作する.

Algorithm $\text{RMAC-NIST-}\mathcal{V}_{K_1, K_2}(M, (R, T'))$

Pad M

$Y[0] \leftarrow 0^n$

Partition M into $M[1] \cdots M[m]$

for $i \leftarrow 1$ **to** m **do**

$X[i] \leftarrow M[i] \oplus Y[i-1]$

$Y[i] \leftarrow E_{K_1}(X[i])$

if $r = 0$ **then** $K_3 \leftarrow K_2$

else $K_3 \leftarrow K_2 \oplus (R \parallel 0^{k-r})$

$T'' \leftarrow$ the left most τ bits of $E_{K_2}(Y[m])$

if $T' = T''$ **then return** accept

else return reject

図 41: RMAC-NIST の確認アルゴリズム $\text{RMAC-NIST-}\mathcal{V}_{K_1, K_2}(\cdot, \cdot)$.

パラメータについて RMAC-NIST はパラメータとして, ブロック暗号 $E : \{0, 1\}^k \times \{0, 1\}^n \rightarrow \{0, 1\}^n$, タグ長 τ , R の長さ r をとる. E としては, AES-128, AES-192, AES-256, Triple DES-112, Triple DES-168 のいずれかを, τ と r については, 図 42 を提案している.

Parameter Set II ~ V は一般的な使用に適している, と述べられている.

安全性 ランダム置換 f_1 とランダム置換族 $f_2^{(R)}$ ($R \in \{0, 1\}^R$) を用いた RMAC-JJV1 と RMAC-JJV2 について安全性が解析されている [JJ+02a, JJ+02b]. 安全性の定義は, 一般的な強偽造不能性に近いが, タグが異なっていない点で異なる.

敵は, タグ生成オラクルと確認オラクルをもつ. タグ生成オラクルに q 個のメッセージ M_1, \dots, M_q を質問し, その答え T_1, \dots, T_q を得たとする.

Parameter Set	$n = 128$		$n = 64$	
	r	n	r	n
I	0	32	0	32
II	0	64	64	64
III	16	80	n/a	
IV	64	96	n/a	
V	128	128	n/a	

図 42: RMAC-NIST のパラメータ.

また, 確認オラクルに q' 個のメッセージ, タグのペア $(M'_1, T'_1), \dots, (M'_{q'}, T'_{q'})$ を質問したとする.

ある i に対し, $MAC\text{-}\mathcal{V}_K(M'_i, T'_i) = \text{accept}$ であり, $T'_i \notin \{T_1, \dots, T_j\}$ であれば, A は偽造に成功した, という. $\{T_1, \dots, T_j\}$ は, (M'_i, T'_i) を確認オラクルに質問する以前に, タグ生成オラクルから返ってきた答えである.

直感的には, メッセージは見たことがあってもよいが, タグは見たことがあってはならない. たとえば, タグ生成オラクルに M_1 を送り, T_1 を得たとする. 次に, タグ生成オラクルに M_2 を送り, T_2 を得たとする. 強偽造不能性の定義では (M_1, T_2) を偽造文として許すが, 上記安全性の定義では, これは偽造文ではない.

ここで, アドバンテージ $\text{Adv}^{\text{rmac-uf}}(A)$ を以下のように定義する.

$$\text{Adv}^{\text{rmac-uf}}(A) \stackrel{\text{def}}{=} \Pr(f_1 \stackrel{R}{\leftarrow} \text{Perm}(n), f_2 \stackrel{(R)}{\leftarrow} F_2 :$$

$A^{\text{RMAC-JJV-}\mathcal{G}_{f_1, f_2}^{(R)}(\cdot), \text{RMAC-JJV-}\mathcal{V}_{f_1, f_2}^{(R)}(\cdot, \cdot)}$ が上記の意味で偽造に成功)

以下の定理が示されている [JJ+02a, JJ+02b].

定理 8.3. $n \geq 2$ を整数, $r = n$ とする. A を高々 σ ブロックの質問をする敵とする. このとき,

$$\text{Adv}^{\text{rmac-uf}}(A) \leq \frac{4n\sigma + 4\sigma + 2}{2^n}$$

である.

上記の安全性のバウンドはほかに比べ, 非常に小さいことがわかる. $\sigma \approx 2^{n/2}$ とすると, XCBC や OMAC のバウンドは 1 を超えるのに対し, 上記のアドバンテージは小さい値のままである.

ただし、上記の定理は帰着を示していない。ランダム置換やランダム置換族を鍵として持つのは、非現実的である。

AES を用いた実装に対しても安全性解析がなされている [JJ+02a, JJ+02b] が、該当箇所には議論の不備が指摘されている [R02a]。XCBC や OMAC のように、ブロック暗号の擬似ランダム性に安全性を帰着させる結果は知られていない。[R02b] では帰着することは不可能である、と述べられている。

また、NESSIE でも考慮されたが、最終的には portfolio には含まれなかった [WWW8]。

効率 RMAC の効率は、以下のようにまとめられる。

- 鍵長：ブロック暗号の鍵 $K_1, K_2 \in \mathcal{K}_E$ の二つである。
- ブロック暗号鍵スケジューリングの呼び出し回数：鍵生成アルゴリズム実行時に 1 回必要であり、さらにタグ生成アルゴリズム、もしくは確認アルゴリズムを呼び出すごとに 1 回必要である。
- メッセージ M に対するタグを生成するのにかかるブロック暗号の呼び出し回数： $(|M|/n) + 1$ 回の呼び出しである。
- 事前計算するべきブロック暗号の呼び出し回数：必要ない。
- 並列処理性：並列処理はできない。

標準化状況 NIST に提案され、2002 年 10 月、SP800-38B のドラフト版 [SP800-38B] が提案された。

これに対し、いくつかのコメントが寄せられた。Knudsen は、Triple DES を用いたときの安全性の問題点を指摘した [K02]。Rogaway [R02b]、Wagner [W02a]、Black [B02] は、いずれも、ブロック暗号の擬似ランダム性に RMAC の安全性が帰着できない点を指摘した。また、そもそも birthday bound をこえる安全性への疑問も出された。MAC は多くの場合、暗号化方式と組み合わせて使用される。多くの暗号化方式、たとえば CTR や CBC は birthday bound をこえる安全性を有していない。これらの暗号化方式は birthday bound に到達すると、平文に関する情報を漏洩する。これらのコメントはいずれも、RMAC の決定を見直すべきだと主張している。

NIST は 2003 年 6 月、RMAC の決定を見直し、OMAC を提案すると発表した [WWW9]。

8.4 XCBC

方式 XCBC はブロック暗号 E とタグ長 τ をパラメータとする. ブロック長 n のブロック暗号 $E : \mathcal{K}_E \times \{0, 1\}^n \rightarrow \{0, 1\}^n$ を用いた場合は, $\tau \leq n$ でなくてはならない. これらのパラメータを用いた XCBC を $\text{XCBC}[E, \tau]$ と表記する. $\text{XCBC}[E, \tau] = (\text{XCBC-}\mathcal{K}, \text{XCBC-}\mathcal{G}, \text{XCBC-}\mathcal{V})$ の鍵生成アルゴリズム $\text{XCBC-}\mathcal{K}$, タグ生成アルゴリズム $\text{XCBC-}\mathcal{G}$, 確認アルゴリズム $\text{XCBC-}\mathcal{V}$ はそれぞれ以下のように動作する.

- 鍵生成アルゴリズム $\text{XCBC-}\mathcal{K}$ は確率的アルゴリズムであり, $K_1 \stackrel{R}{\leftarrow} \mathcal{K}_E, K_2 \stackrel{R}{\leftarrow} \{0, 1\}^n, K_3 \stackrel{R}{\leftarrow} \{0, 1\}^n$ を出力する.
- タグ生成アルゴリズム $\text{XCBC-}\mathcal{G} : (\mathcal{K}_E \times (\{0, 1\}^n)^2) \times \{0, 1\}^* \rightarrow \{0, 1\}^\tau$ は決定的アルゴリズムであり, 鍵空間は $\mathcal{K}_E \times (\{0, 1\}^n)^2$, メッセージ空間は $\{0, 1\}^*$, タグ空間は $\{0, 1\}^\tau$ である. すなわち, 鍵 $K_1 \in \mathcal{K}_E, K_2, K_3 \in \{0, 1\}^n$ とメッセージ $M \in \{0, 1\}^*$ を入力とし, タグ $T = \text{XCBC-}\mathcal{G}_{K_1, K_2, K_3}(M) \in \{0, 1\}^\tau$ を出力する. 図 43, 図 44 にあるように動作する. XCBC は M の長さが n の倍数でなくてもよい. 図 43 の 3 行目において,

$$M = M[1]M[2] \cdots M[m-1]M[m]$$

は, $|M[1]| = |M[2]| = \cdots = |M[m-1]|$ かつ $1 \leq |M[m]| \leq n$ となるように分割される. $M = \varepsilon$ のときは例外である. この場合, $|M[m]| = 0$ となる.

また, 図 43 の 7 行目の関数 $\text{pad}_n : \{0, 1\}^{\leq n} \rightarrow \{0, 1\}^n$ は以下のように定義される. a を長さが高々 n ビットのビット列とする ($a = \varepsilon$ でもよい). ことのき,

$$\text{pad}_n(a) = \begin{cases} a10^{n-|a|-1} & \text{if } |a| < n, \\ a & \text{if } |a| = n. \end{cases} \quad (1)$$

- 確認アルゴリズム $\text{XCBC-}\mathcal{V} : (\mathcal{K}_E \times (\{0, 1\}^n)^2) \times \{0, 1\}^* \times \{0, 1\}^\tau \rightarrow \text{accept or reject}$ は決定的アルゴリズムであり, 鍵 $K_1 \in \mathcal{K}_E, K_2, K_3 \in \{0, 1\}^n$, メッセージ $M \in \{0, 1\}^*$, タグ $T \in \{0, 1\}^\tau$ を入力とし, $\text{accept or reject} = \text{XCBC-}\mathcal{V}_{K_1, K_2, K_3}(M, T)$ を出力する. 図 45 にあるように動作する.

```

Algorithm XCBC- $\mathcal{G}_{K_1, K_2, K_3}(M)$ 
 $Y[0] \leftarrow 0^n$ 
Partition  $M$  into  $M[1] \cdots M[m]$ 
for  $i \leftarrow 1$  to  $m - 1$  do
     $X[i] \leftarrow M[i] \oplus Y[i - 1]$ 
     $Y[i] \leftarrow E_{K_1}(X[i])$ 
 $X[m] \leftarrow \text{pad}_n(M[m]) \oplus Y[m - 1]$ 
if  $|M[m]| = n$  then  $X[m] \leftarrow X[m] \oplus K_2$ 
    else  $X[m] \leftarrow X[m] \oplus K_3$ 
 $T \leftarrow$  the left most  $\tau$  bits of  $E_{K_1}(Y[m])$ 
return  $T$ 

```

図 43: XCBC のタグ生成アルゴリズム XCBC- $\mathcal{G}_{K_1, K_2, K_3}(\cdot)$.

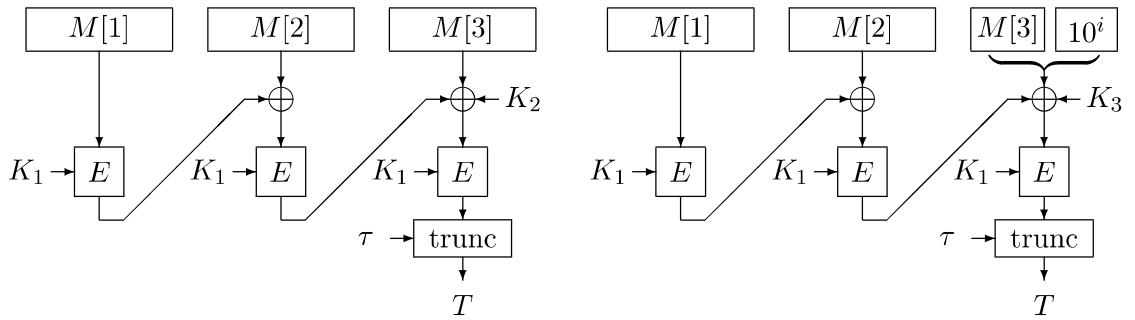


図 44: $M = M[1]M[2]M[3]$ の場合の XCBC- $\mathcal{G}_{K_1, K_2, K_3}(M)$ の動作.

```

Algorithm XCBC- $\mathcal{V}_{K_1, K_2, K_3}(M, T)$ 
 $T' \leftarrow$  XCBC- $\mathcal{G}_{K_1, K_2, K_3}(M)$ 
if  $T = T'$  then return accept
    else return reject

```

図 45: XCBC の確認アルゴリズム XCBC- $\mathcal{V}_{K_1, K_2, K_3}(\cdot, \cdot)$.

安全性 Black, Rogaway により, 安全性が解析されている [BR00]. ブロック暗号 E が安全な擬似ランダム置換族であれば, $\text{XCBC}[E, \tau]$ は, 偽造不可能性の意味で安全な MAC であることが示されている. 以下の定理が示されている [IK03b].

定理 8.4. $n, \tau \geq 1$ を整数, $t, q, \sigma \geq 1$ を $\sigma^2 \leq 2^{(n+1)/2}$ なる整数とする. $E : \mathcal{K}_E \times \{0, 1\}^n \rightarrow \{0, 1\}^n$ をブロック暗号とする. このとき,

$$\text{Adv}_{\text{XCBC}[E, \tau]}^{\text{mac}}(t, q, \sigma) \leq \text{Adv}_E^{\text{prp}}(t', q') + \frac{3\sigma^2}{2^n} + \frac{1}{2^\tau}$$

である. ただし, $q' = \sigma, t' = t + O(n\sigma)$ であり, 質問の長さはブロック単位である.

定理 8.4 は, 以下のことを示している: 実行時間 t , 高々 q 回の質問をし, それらの質問が合計で高々 σ ブロックであり,

$$\text{Adv}_{\text{XCBC}[E, \tau]}^{\text{mac}}(A) = \epsilon$$

なる敵 A が存在すると仮定する. このとき, 実行時間 $t' = t + O(n\sigma)$, 高々 $q' = \sigma$ 回の質問をし,

$$\text{Adv}_E^{\text{prp}}(B) \geq \epsilon - \frac{3\sigma^2}{2^n} - \frac{1}{2^\tau}$$

なる敵 B が存在する.

効率 XCBC の効率は, 以下のようにまとめられる.

- 鍵長: ブロック暗号の鍵 $K_1 \in \mathcal{K}_E$ と n ビットの鍵 $K_2, K_3 \in \{0, 1\}^n$ の計 3 つが必要である.
- ブロック暗号鍵スケジューリングの呼び出し回数: 1 回である.
- メッセージ M に対するタグを生成するのにかかるブロック暗号の呼び出し回数: $\max\{1, \lceil |M|/n \rceil\}$ 回の呼び出しである.
- 事前計算するべきブロック暗号の呼び出し回数: 必要ない.
- 並列処理性: 並列処理はできない.

標準化状況 NIST に提案されている [WWW9]. また, [FH03] や [H03b] で議論されている.

8.5 TMAC

方式 TMAC はブロック暗号 E とタグ長 τ をパラメータとする。ブロック長 n のブロック暗号 $E: \mathcal{K}_E \times \{0,1\}^n \rightarrow \{0,1\}^n$ を用いた場合は、 $\tau \leq n$ でなくてはならない。これらのパラメータを用いた TMAC を $\text{TMAC}[E, \tau]$ と表記する。TMAC $[E, \tau] = (\text{TMAC-}\mathcal{K}, \text{TMAC-}\mathcal{G}, \text{TMAC-}\mathcal{V})$ の鍵生成アルゴリズム TMAC- \mathcal{K} 、タグ生成アルゴリズム TMAC- \mathcal{G} 、確認アルゴリズム TMAC- \mathcal{V} はそれぞれ以下のように動作する。

- 鍵生成アルゴリズム TMAC- \mathcal{K} は確率的アルゴリズムであり、 $K_1 \xleftarrow{R} \mathcal{K}_E$ と $K_2 \xleftarrow{R} \{0,1\}^n$ を出力する。
- タグ生成アルゴリズム TMAC- $\mathcal{G}: (\mathcal{K}_E \times \{0,1\}^n) \times \{0,1\}^* \rightarrow \{0,1\}^\tau$ は決定的アルゴリズムであり、鍵空間は $\mathcal{K}_E \times \{0,1\}^n$ 、メッセージ空間は $\{0,1\}^*$ 、タグ空間は $\{0,1\}^\tau$ である。すなわち、鍵 $K_1 \in \mathcal{K}_E$ 、 $K_2 \in \{0,1\}^n$ とメッセージ $M \in \{0,1\}^*$ を入力とし、タグ $T = \text{TMAC-}\mathcal{G}_{K_1, K_2}(M) \in \{0,1\}^\tau$ を出力する。図 46、図 47 にあるように動作する。図 46、図 47 において、 $K_2 \cdot u$ は、 $\text{GF}(2^n)$ 上の乗算である。一般的に $a \in \{0,1\}^n$ に対し、

$$a \cdot u = \begin{cases} a \ll 1 & \text{if } \text{msb}(a) = 0, \\ (a \ll 1) \oplus \text{Cst}_n & \text{otherwise} \end{cases} \quad (2)$$

となる。ここで、(2) において、 $a \ll 1$ は a の左 1 ビットシフトを表し、 $a = a_{n-1}a_{n-2} \cdots a_1a_0$ と a をビット表現した場合、 $a \ll 1 = a_{n-2}a_{n-3} \cdots a_00$ となる。すなわち、最上位ビットはなくなり、最下位ビットに 0 が補充される。また、 $\text{msb}(a)$ は a の最上位ビットを表し、 Cst_n は n ビットの定数である。たとえば、 $\text{Cst}_{128} = 0^{120}10000111$ であり、 $\text{Cst}_{64} = 0^{59}11011$ である。TMAC も XCBC と同様、 M の長さが n の倍数でなくてもよい。図 46 の 3 行目において、

$$M = M[1]M[2] \cdots M[m-1]M[m]$$

は、 $|M[1]| = |M[2]| = \cdots = |M[m-1]|$ かつ $1 \leq |M[m]| \leq n$ となるように分割される。 $M = \varepsilon$ のときは例外で、この場合、 $|M[m]| = 0$ となる。

また、図 46 の 7 行目の関数 $\text{pad}_n: \{0,1\}^{\leq n} \rightarrow \{0,1\}^n$ は (1) のように定義される。

```

Algorithm TMAC- $\mathcal{G}_{K_1, K_2}(M)$ 
 $Y[0] \leftarrow 0^n$ 
Partition  $M$  into  $M[1] \cdots M[m]$ 
for  $i \leftarrow 1$  to  $m - 1$  do
     $X[i] \leftarrow M[i] \oplus Y[i - 1]$ 
     $Y[i] \leftarrow E_{K_1}(X[i])$ 
 $X[m] \leftarrow \text{pad}_n(M[m]) \oplus Y[m - 1]$ 
if  $|M[m]| = n$  then  $X[m] \leftarrow X[m] \oplus K_2 \cdot u$ 
    else  $X[m] \leftarrow X[m] \oplus K_2$ 
 $T \leftarrow$  the left most  $\tau$  bits of  $E_{K_1}(Y[m])$ 
return  $T$ 

```

図 46: TMAC のタグ生成アルゴリズム TMAC- $\mathcal{G}_{K_1, K_2}(\cdot)$.

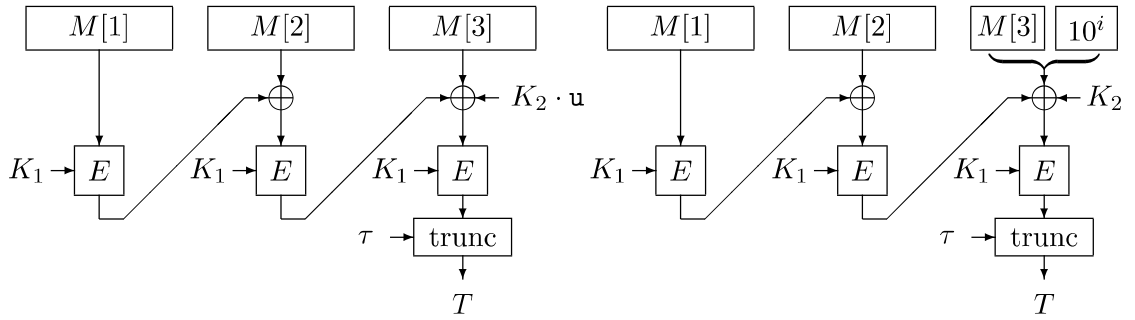


図 47: $M = M[1]M[2]M[3]$ の場合の TMAC- $\mathcal{G}_{K_1, K_2}(M)$ の動作.

- 確認アルゴリズム $\text{TMAC-}\mathcal{V} : (\mathcal{K}_E \times \{0,1\}^n) \times \{0,1\}^* \times \{0,1\}^\tau \rightarrow \text{accept or reject}$ は決定的アルゴリズムであり, 鍵 $K_1 \in \mathcal{K}_E, K_2 \in \{0,1\}^n$, メッセージ $M \in \{0,1\}^*$, タグ $T \in \{0,1\}^\tau$ を入力とし, $\text{accept or reject} = \text{TMAC-}\mathcal{V}_{K_1, K_2}(M, T)$ を出力する. 図 48 にあるように動作する.

Algorithm $\text{TMAC-}\mathcal{V}_{K_1, K_2}(M, T)$
 $T' \leftarrow \text{TMAC-}\mathcal{G}_{K_1, K_2}(M)$
if $T = T'$ **then return** accept
else return reject

図 48: TMAC の確認アルゴリズム $\text{TMAC-}\mathcal{V}_{K_1, K_2}(\cdot, \cdot)$.

安全性 Kurosawa, Iwata により, 安全性が解析されている [KI03]. ブロック暗号 E が安全な擬似ランダム置換族であれば, $\text{TMAC}[E, \tau]$ は, 偽造不可能性の意味で安全な MAC であることが示されている. 以下の定理が示されている [IK03b].

定理 8.5. $n, \tau \geq 1$ を整数, $t, q, \sigma \geq 1$ を $\sigma^2 \leq 2^{(n+1)/2}$ なる整数とする. $E : \mathcal{K}_E \times \{0,1\}^n \rightarrow \{0,1\}^n$ をブロック暗号とする. このとき,

$$\text{Adv}_{\text{TMAC}[E, \tau]}^{\text{mac}}(t, q, \sigma) \leq \text{Adv}_E^{\text{prp}}(t', q') + \frac{3\sigma^2}{2^n} + \frac{1}{2^\tau}$$

である. ただし, $q' = \sigma, t' = t + O(n\sigma)$ であり, 質問の長さはブロック単位である.

定理 8.5 は, 以下のことを示している: 実行時間 t , 高々 q 回の質問をし, それらの質問が合計で高々 σ ブロックであり,

$$\text{Adv}_{\text{TMAC}[E, \tau]}^{\text{mac}}(A) = \epsilon$$

なる敵 A が存在すると仮定する. このとき, 実行時間 $t' = t + O(n\sigma)$, 高々 $q' = \sigma$ 回の質問をし,

$$\text{Adv}_E^{\text{prp}}(B) \geq \epsilon - \frac{3\sigma^2}{2^n} - \frac{1}{2^\tau}$$

なる敵 B が存在する.

効率 TMAC の効率は、以下のようにまとめられる。

- 鍵長：ブロック暗号の鍵 $K_1 \in \mathcal{K}_E$ と n ビットの鍵 $K_2 \in \{0,1\}^n$ の計 2 つが必要である。
- ブロック暗号鍵スケジューリングの呼び出し回数：1 回である。
- メッセージ M に対するタグを生成するのにかかるブロック暗号の呼び出し回数： $\max\{1, \lceil |M|/n \rceil\}$ 回の呼び出しである。
- 事前計算するべきブロック暗号の呼び出し回数：必要ない。
- 並列処理性：並列処理はできない。

標準化状況 NIST に提案されている [WWW9].

8.6 OMAC

OMAC は 2 つの方式 OMAC1 と OMAC2 の総称である。

方式 (OMAC1) OMAC1 はブロック暗号 E とタグ長 τ をパラメータとする。ブロック長 n のブロック暗号 $E : \mathcal{K}_E \times \{0,1\}^n \rightarrow \{0,1\}^n$ を用いた場合は、 $\tau \leq n$ でなくてはならない。これらのパラメータを用いた OMAC1 を $\text{OMAC1}[E, \tau]$ と表記する。

$$\text{OMAC1}[E, \tau] = (\text{OMAC1-}\mathcal{K}, \text{OMAC1-}\mathcal{G}, \text{OMAC1-}\mathcal{V})$$

の鍵生成アルゴリズム $\text{OMAC1-}\mathcal{K}$ 、タグ生成アルゴリズム $\text{OMAC1-}\mathcal{G}$ 、確認アルゴリズム $\text{OMAC1-}\mathcal{V}$ はそれぞれ以下のように動作する。

- 鍵生成アルゴリズム $\text{OMAC1-}\mathcal{K}$ は確率的アルゴリズムであり、 $K \stackrel{R}{\leftarrow} \mathcal{K}_E$ を出力する。
- タグ生成アルゴリズム $\text{OMAC1-}\mathcal{G} : \mathcal{K}_E \times \{0,1\}^* \rightarrow \{0,1\}^\tau$ は決定的アルゴリズムであり、鍵空間は \mathcal{K}_E 、メッセージ空間は $\{0,1\}^*$ 、タグ空間は $\{0,1\}^\tau$ である。すなわち、鍵 $K \in \mathcal{K}_E$ とメッセージ $M \in \{0,1\}^*$ を入力とし、タグ $T = \text{OMAC1-}\mathcal{G}_K(M) \in \{0,1\}^\tau$ を出力する。図 49, 図 50 にあるように動作する。図 49, 図 50 において、 $L \cdot u$ は (2) によって得られ、 $L \cdot u^2$ は $(L \cdot u) \cdot u$ として、(2) によって得られる。OMAC1 も XCBC, TMAC と同様、 M の長さが


```

Algorithm OMAC1- $\mathcal{G}_K(M)$ 
 $L \leftarrow E_K(0^n)$ 
 $Y[0] \leftarrow 0^n$ 
Partition  $M$  into  $M[1] \cdots M[m]$ 
for  $i \leftarrow 1$  to  $m - 1$  do
     $X[i] \leftarrow M[i] \oplus Y[i - 1]$ 
     $Y[i] \leftarrow E_K(X[i])$ 
 $X[m] \leftarrow \text{pad}_n(M[m]) \oplus Y[m - 1]$ 
if  $|M[m]| = n$  then  $X[m] \leftarrow X[m] \oplus L \cdot u$ 
    else  $X[m] \leftarrow X[m] \oplus L \cdot u^2$ 
 $T \leftarrow$  the left most  $\tau$  bits of  $E_K(Y[m])$ 
return  $T$ 

```

図 49: OMAC1 のタグ生成アルゴリズム OMAC1- $\mathcal{G}_K(\cdot)$.

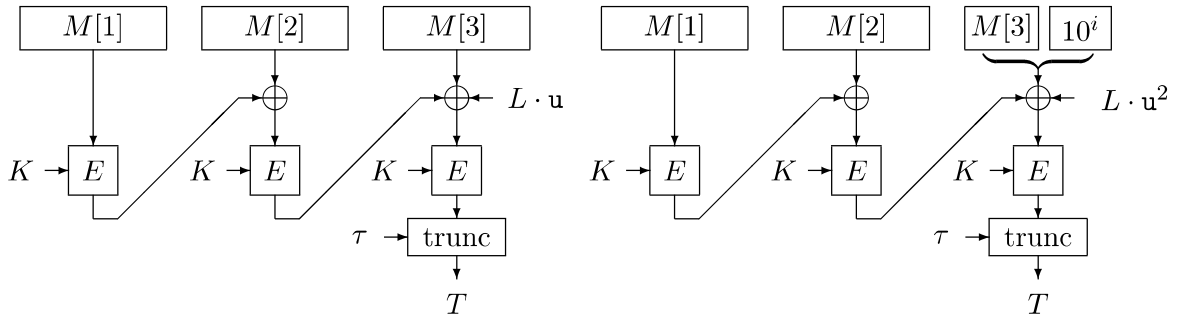


図 50: $M = M[1]M[2]M[3]$ の場合の OMAC1- $\mathcal{G}_K(M)$ の動作.

n の倍数でなくてもよい。図 49 の 3 行目において,

$$M = M[1]M[2] \cdots M[m-1]M[m]$$

は, $|M[1]| = |M[2]| = \cdots = |M[m-1]|$ かつ $1 \leq |M[m]| \leq n$ となるように分割される. $M = \varepsilon$ のときは例外で, この場合, $|M[m]| = 0$ となる.

また, 図 49 の 7 行目の関数 $\text{pad}_n : \{0, 1\}^{\leq n} \rightarrow \{0, 1\}^n$ は (1) のように定義される.

- 確認アルゴリズム $\text{OMAC1-}\mathcal{V} : \mathcal{K}_E \times \{0, 1\}^* \times \{0, 1\}^\tau \rightarrow \text{accept or reject}$ は決定的アルゴリズムであり, 鍵 $K \in \mathcal{K}_E$, メッセージ $M \in \{0, 1\}^*$, タグ $T \in \{0, 1\}^\tau$ を入力とし, $\text{accept or reject} = \text{OMAC1-}\mathcal{V}_K(M, T)$ を出力する. 図 51 にあるように動作する.

Algorithm $\text{OMAC1-}\mathcal{V}_K(M, T)$
 $T' \leftarrow \text{OMAC1-}\mathcal{G}_K(M)$
if $T = T'$ **then return** accept
else return reject

図 51: OMAC1 の確認アルゴリズム $\text{OMAC1-}\mathcal{V}_K(\cdot, \cdot)$.

方式 (OMAC2) OMAC2 は OMAC1 とほぼ同様である. OMAC1 中の $L \cdot u^2$ を $L \cdot u^{-1}$ としたものが OMAC2 である. 一般に $a \in \{0, 1\}^n$ に対し,

$$a \cdot u^{-1} = \begin{cases} a \gg 1 & \text{if } \text{lsb}(a) = 0, \\ (a \gg 1) \oplus \text{Cst}'_n & \text{otherwise.} \end{cases} \quad (3)$$

となる. ここで, 上記 (3) において, $a \gg 1$ は a の右 1 ビットシフトを表す. $a = a_{n-1}a_{n-2} \cdots a_1a_0$ と a をビット表現した場合, $a \gg 1 = 0a_{n-1}a_{n-2} \cdots a_2a_1$ となる. すなわち, 最下位ビットはなくなり, 最上位ビットに 0 が補充される. また, $\text{lsb}(a)$ は a の最下位ビットを表し, Cst'_n は n ビットの定数である. たとえば, $\text{Cst}'_{128} = 10^{120}1000011$ である.

安全性 Iwata, Kurosawa により, 安全性が解析されている [IK03a]. ブロック暗号 E が安全な擬似ランダム置換族であれば, $\text{OMAC1}[E, \tau]$ と $\text{OMAC2}[E, \tau]$ は, 偽造不可能性の意味で安全な MAC であることが示されている. 以下の定理が示されている [IK03b].

定理 8.6. $n, \tau \geq 1$ を整数, $t, q, \sigma \geq 1$ を $\sigma^2 \leq 2^{(n+1)/2}$ なる整数とする. $E : \mathcal{K}_E \times \{0, 1\}^n \rightarrow \{0, 1\}^n$ をブロック暗号とする. このとき,

$$\begin{cases} \text{Adv}_{\text{OMAC1}[E, \tau]}^{\text{mac}}(t, q, \sigma) \leq \text{Adv}_E^{\text{prp}}(t', q') + \frac{4\sigma^2}{2^n} + \frac{1}{2^\tau} \\ \text{Adv}_{\text{OMAC2}[E, \tau]}^{\text{mac}}(t, q, \sigma) \leq \text{Adv}_E^{\text{prp}}(t', q') + \frac{4\sigma^2}{2^n} + \frac{1}{2^\tau} \end{cases}$$

である. ただし, $q' = \sigma, t' = t + O(n\sigma)$ であり, 質問の長さはブロック単位である.

定理 8.6 は, 以下のことを示している: 実行時間 t , 高々 q 回の質問をし, それらの質問が合計で高々 σ ブロックであり,

$$\text{Adv}_{\text{OMAC1}[E, \tau]}^{\text{mac}}(A) = \epsilon$$

なる敵 A が存在すると仮定する. このとき, 実行時間 $t' = t + O(n\sigma)$, 高々 $q' = \sigma$ 回の質問をし,

$$\text{Adv}_E^{\text{prp}}(B) \geq \epsilon - \frac{4\sigma^2}{2^n} - \frac{1}{2^\tau}$$

なる敵 B が存在する. OMAC2 についても同様である.

効率 OMAC の効率は, 以下のようにまとめられる.

- 鍵長: ブロック暗号の鍵 $K \in \mathcal{K}_E$ の一つのみである.
- ブロック暗号鍵スケジューリングの呼び出し回数: 1 回である.
- メッセージ M に対するタグを生成するのにかかるブロック暗号の呼び出し回数: $\max\{1, \lceil |M|/n \rceil\}$ 回の呼び出しである.
- 事前計算するべきブロック暗号の呼び出し回数: $L = E_K(0^n)$ を計算するのに 1 回必要である.
- 並列処理性: 並列処理はできない.

標準化状況 NIST に提案されている [WWW9]. NIST は 2003 年 6 月, RMAC の決定を見直し, OMAC を提案すると発表した [WWW9]. 2003 年 11 月現在, OMAC1 を提案予定である, としている.

8.7 XOR MAC

2つの方式が提案されており、一つは乱数を用いる XMACR 方式、もう一つはカウンタを用いる XMACC 方式である。どちらも関数族 $F : \{0, 1\}^k \times \{0, 1\}^n \rightarrow \{0, 1\}^{n'}$ を用いる。 F としてブロック暗号を用いてもよいが、入力長 n と出力長 n' は異なってもよい。 XMACR, XMACC どちらも、パラメータとして、 F と整数 b をとる。ただし、 $b \leq n-1$ でなくてはならない。メッセージ M は $|M| \leq b \cdot 2^{n-b-1}$ であり、長さが b の整数倍になるようにパディングされているとする。たとえば、

$$M \leftarrow M \parallel 10^{(b-|M|-1) \bmod b} \quad (4)$$

とする。関数 $\text{tag} : \{0, 1\}^k \times (\{0, 1\}^b)^+ \times \{0, 1\}^{n-1} \rightarrow \{0, 1\}^{n'}$ を以下のように定義する。

$$\text{tag}(K, M, r) \stackrel{\text{def}}{=} F_K(0 \parallel r) \oplus F_K(1 \parallel \langle 1 \rangle_{n-b-1} \parallel M[1]) \oplus \cdots \oplus F_K(1 \parallel \langle m \rangle_{n-b-1} \parallel M[m])$$

ただし、 $M = M[1] \cdots M[m]$ はパディングされていて、各 $M[1], \dots, M[m]$ は b ビット、 r は $(n-1)$ ビット、 $\langle i \rangle_{n-b-1}$ は整数 i の $(n-b-1)$ ビット表現である。以下、 $\text{tag}(K, M, r)$ を $\text{tag}_K(M, r)$ と表記する。図 52 参照。

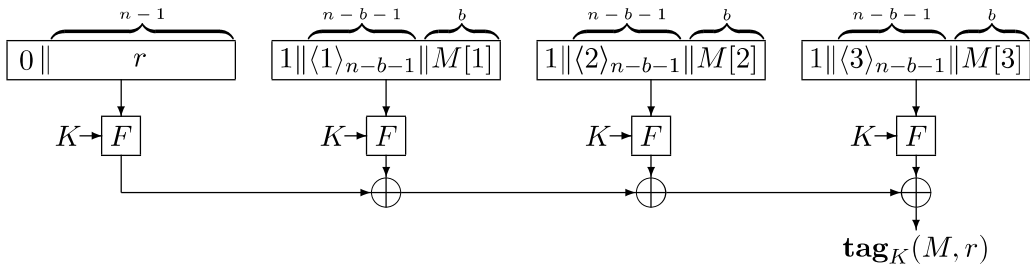


図 52: $M = M[1]M[2]M[3]$ の場合の $\text{tag}_K(M, r)$ の動作。

方式 (XMACR) XMACR は、関数族 F とブロック長 n をパラメータとする。関数族 $F : \{0, 1\}^k \times \{0, 1\}^n \rightarrow \{0, 1\}^{n'}$ を用いた場合は、 $b \leq n-1$ でなくてはならない。これらのパラメータを用いた XMACR を $\text{XMACR}[F, b]$ と表記する。 $\text{XMACR}[F, b] = (\text{XMACR-}\mathcal{K}, \text{XMACR-}\mathcal{G}, \text{XMACR-}\mathcal{V})$ の鍵生成アルゴリズム XMACR- \mathcal{K} , タグ生成アルゴリズム XMACR- \mathcal{G} , 確認アルゴリズム XMACR- \mathcal{V} はそれぞれ以下のように動作する。

- 鍵生成アルゴリズム XMACR- \mathcal{K} は確率的アルゴリズムであり、 $K \xleftarrow{R} \{0, 1\}^k$ を出力する。

- タグ生成アルゴリズム $\text{XMACR-}\mathcal{G} : \{0, 1\}^k \times \{0, 1\}^* \rightarrow (\{0, 1\}^{n-1} \times \{0, 1\}^{n'})$ は確率的アルゴリズムであり，鍵空間は $\{0, 1\}^k$ ，メッセージ空間は $\{0, 1\}^*$ ，タグ空間は $(\{0, 1\}^{n-1} \times \{0, 1\}^{n'})$ である．すなわち，鍵 $K \in \{0, 1\}^k$ とメッセージ $M \in \{0, 1\}^*$ を入力とし，タグ $T = \text{XMACR-}\mathcal{G}_K(M) \in (\{0, 1\}^{n-1} \times \{0, 1\}^{n'})$ を出力する．図 53 にあるように動作する．

<p>Algorithm $\text{XMACR-}\mathcal{G}_K(M)$ Pad M $r \xleftarrow{R} \{0, 1\}^{n-1}$ $T' \leftarrow \mathbf{tag}_K(M, r)$ $T \leftarrow (r, T')$ return T</p>
--

図 53: XMACR のタグ生成アルゴリズム $\text{XMACR-}\mathcal{G}_K(\cdot)$.

ただし，2 行目は $M \in \{0, 1\}^*$ に対しパディングを施し， $M \in (\{0, 1\}^n)^+$ となるようにする．たとえば，(4) のようにする．3 行目では $n - 1$ ビットの乱数 r を選ぶ．

- 確認アルゴリズム $\text{XMACR-}\mathcal{V} : \{0, 1\}^k \times \{0, 1\}^* \times (\{0, 1\}^{n-1} \times \{0, 1\}^{n'}) \rightarrow \text{accept or reject}$ は決定的アルゴリズムであり，鍵 $K \in \{0, 1\}^k$ ，メッセージ $M \in \{0, 1\}^*$ ，タグ $T \in (\{0, 1\}^{n-1} \times \{0, 1\}^{n'})$ を入力とし， $\text{accept or reject} = \text{XMACR-}\mathcal{V}_K(M, T)$ を出力する．図 54 にあるように動作する．

<p>Algorithm $\text{XMACR-}\mathcal{V}_K(M, (r, T'))$ Pad M $T'' \leftarrow \mathbf{tag}_K(M, r)$ if $T' = T''$ then return accept else return reject</p>

図 54: XMACR の確認アルゴリズム $\text{XMACR-}\mathcal{V}_K(\cdot, \cdot)$.

ただし，2 行目は $M \in \{0, 1\}^*$ に対し，(4) のようにする．

方式 (XMACC) XMACC は, XMACR と同様, 関数族 F とブロック長 n をパラメータとする. 関数族 $F : \{0, 1\}^k \times \{0, 1\}^n \rightarrow \{0, 1\}^{n'}$ を用いた場合は, $b \leq n-1$ でなくてはならない. これらのパラメータを用いた XMACC を $\text{XMACC}[F, b]$ と表記する.

$$\text{XMACC}[F, b] = (\text{XMACC-}\mathcal{K}, \text{XMACC-}\mathcal{G}, \text{XMACC-}\mathcal{V})$$

の鍵生成アルゴリズム XMACC- \mathcal{K} , タグ生成アルゴリズム XMACC- \mathcal{G} , 確認アルゴリズム XMACC- \mathcal{V} はそれぞれ以下のように動作する.

- 鍵生成アルゴリズム XMACC- \mathcal{K} は確率的アルゴリズムであり, $K \stackrel{R}{\leftarrow} \{0, 1\}^k$ を出力する.
- タグ生成アルゴリズム XMACC- $\mathcal{G} : \{0, 1\}^k \times \{0, 1\}^* \times \text{Count} \rightarrow (\text{Count} \times \{0, 1\}^{n'})$ は決定的アルゴリズムであり, 鍵空間は $\{0, 1\}^k$, メッセージ空間は $\{0, 1\}^*$, タグ空間は $(\text{Count} \times \{0, 1\}^{n'})$ である. さらに入力として, カウンタ $C \in \text{Count}$ をとる. Count はカウンタの空間であり, $\text{Count} = \{0, 1, \dots, 2^{n-1} - 1\}$ である. カウンタは送信者により保持されており, 0 に初期化され, タグ生成アルゴリズムによって更新される. 受信者はこれを保持しない. すなわち, 鍵 $K \in \{0, 1\}^k$, メッセージ $M \in \{0, 1\}^*$, カウンタ $C \in \text{Count}$ を入力とし, タグ $T = \text{XMACC-}\mathcal{G}_K(M) \in (\text{Count} \times \{0, 1\}^{n'})$ を出力する. 図 55 にあるように動作する.

Algorithm XMACC- $\mathcal{G}_K(M, C)$
 Pad M
 $C \leftarrow C + 1$
 $T' \leftarrow \text{tag}_K(M, \langle C \rangle_{n-1})$
 $T \leftarrow (C, T')$
return T

図 55: XMACC のタグ生成アルゴリズム XMACC- $\mathcal{G}_K(\cdot)$.

ただし, $\langle C \rangle_{n-1}$ はカウンタ C の $(n-1)$ ビット表現であり, 2 行目は $M \in \{0, 1\}^*$ に対し, (4) のようにしてから, $M = M[1] \cdots M[m]$ とする.

- 確認アルゴリズム XMACC- $\mathcal{V} : \{0, 1\}^k \times \{0, 1\}^* \times (\text{Count} \times \{0, 1\}^{n'}) \rightarrow \text{accept or reject}$ は決定的アルゴリズムであり, 鍵 $K \in \{0, 1\}^k$, メ

メッセージ $M \in \{0,1\}^*$, タグ $T \in (\text{Count} \times \{0,1\}^{n'})$ を入力とし, accept or reject = $\text{XMACC-}\mathcal{V}_K(M, T)$ を出力する. 図 56 にあるように動作する.

Algorithm $\text{XMACC-}\mathcal{V}_K(M, (C, T'))$
 $T'' \leftarrow \text{tag}_K(M, C)$
if $T' = T''$ **then return** accept
else return reject

図 56: XMACC の確認アルゴリズム $\text{XMACC-}\mathcal{V}_K(\cdot, \cdot)$.

安全性 Bellare, Guérin, Rogaway により, 安全性が解析されている [BGR95]. 関数族 F が安全な擬似ランダム関数族であれば, $\text{XMACR}[F, b]$ と $\text{XMACC}[F, b]$ は, 強偽造不可能性の意味で安全な MAC であることが示されている.

擬似ランダム関数族 関数族 $F : \{0,1\}^k \times \{0,1\}^n \rightarrow \{0,1\}^{n'}$ に対し, 「 F が擬似ランダム関数族である」とは, 適応的選択平文攻撃を行う任意の敵が, 関数族 $\{F_K(\cdot) \in \text{Rand}(n, n') \mid K \in \{0,1\}^k\}$ と $\{0,1\}^n$ から $\{0,1\}^{n'}$ へのすべての関数の集合 $\text{Rand}(n, n')$ を区別できないことをいう.

より厳密には, 敵 A として, オラクルにアクセスできるアルゴリズムを考える. 何回かの質問の後, A は 1 ビットを出力する. 関数族 $F : \{0,1\}^k \times \{0,1\}^n \rightarrow \{0,1\}^{n'}$ の, 敵 A に対する, 擬似ランダム関数としての安全性は, アドバンテージ $\text{Adv}_F^{\text{prf}}(A)$ によって評価される. ここで,

$$\text{Adv}_F^{\text{prf}}(A) \stackrel{\text{def}}{=} \left| \Pr(K \xleftarrow{R} \{0,1\}^k : A^{F_K(\cdot)} = 1) - \Pr(R \xleftarrow{R} \text{Rand}(n, n') : A^{R(\cdot)} = 1) \right|$$

と定義され, $A^{F_K(\cdot)}$ は質問 X に対し, $Y = F_K(X)$ を返すオラクル $F_K(\cdot)$ を持つ敵 A を表し, $A^{R(\cdot)}$ は質問 X に対し, $Y = R(X)$ を返すオラクル $R(\cdot)$ を持つ敵 A を表す.

計算量理論的安全性 関数族 F の擬似ランダム関数族としての安全性を考える場合に扱う資源は, 実行時間 t とオラクルへの質問回数 q である.

$$\text{Adv}_F^{\text{prf}}(t, q) \stackrel{\text{def}}{=} \max_A \left\{ \text{Adv}_E^{\text{prf}}(A) \right\}$$

と定義される. ただし, 最大値は実行時間 t , オラクルへの質問回数 q のすべての敵 A についてとる.

XMACR の安全性 $\text{Adv}_{\text{XMACR}[F,b]}^{\text{s-uf}}(t, q_g, q_v, m)$ を

$$\text{Adv}_{\text{XMACR}[F,b]}^{\text{s-uf}}(t, q_g, q_v, m) \stackrel{\text{def}}{=} \max_A \{ \text{Adv}_{\text{XMACR}[F,b]}^{\text{s-uf}}(A) \}$$

と定義する。ただし、最大値は実行時間 t 、タグ生成オラクルへ高々 q_g 回、確認オラクルへ高々 q_v 回、それぞれの質問の長さが高々 m ブロックであるすべての敵 A についてとる。

XMACR については、以下の定理が示されている [BGR95]。

定理 8.7. $n, n' \geq 1$ を整数、 b を $b \leq n - 1$ なる整数、 $t, q_g, q_v, m \geq 1$ を整数とする。 $F : \{0, 1\}^k \times \{0, 1\}^n \rightarrow \{0, 1\}^{n'}$ を関数族とする。このとき、

$$\text{Adv}_{\text{XMACR}[F,b]}^{\text{s-uf}}(t, q_g, q_v, m) \leq \text{Adv}_F^{\text{prf}}(t', q') + \frac{2q_g^2}{2^n} + \frac{2q_v^2}{2^{n'}}$$

である。ただし、 $q' = (q_g + q_v) \cdot (m + 1)$ 、 $t' = t + O((n + n')q')$ である。

定理 8.7 は、以下のことを示している：実行時間 t 、タグ生成オラクルに高々 q_g 回、確認オラクルに高々 q_v 回の質問をし、それぞれの質問が高々 m ブロック (1 ブロックは b ビット) であり、

$$\text{Adv}_{\text{XMACR}[F,b]}^{\text{s-uf}}(A) = \epsilon$$

なる敵 A が存在すると仮定する。このとき、実行時間 $t' = t + O((n + n')q')$ 、高々 $q' = (q_g + q_v) \cdot (m + 1)$ 回の質問をし、

$$\text{Adv}_E^{\text{prp}}(B) \geq \epsilon - \frac{2q_g^2}{2^n} - \frac{2q_v^2}{2^{n'}}$$

なる敵 B が存在する。

XMACC の安全性 $\text{Adv}_{\text{XMACC}[F,b]}^{\text{s-uf}}(t, q_g, q_v, m)$ を

$$\text{Adv}_{\text{XMACC}[F,b]}^{\text{s-uf}}(t, q_g, q_v, m) \stackrel{\text{def}}{=} \max_A \{ \text{Adv}_{\text{XMACC}[F,b]}^{\text{s-uf}}(A) \}$$

と定義する。最大値のとりかたは、XMACR と同様である。

XMACC については、以下の定理が示されている [BGR95]。

定理 8.8. $n, n' \geq 1$ を整数、 b を $b \leq n - 1$ なる整数、 $t, q_g, q_v, m \geq 1$ を $q_g \leq 2^{n-1}$ なる整数とする。 $F : \{0, 1\}^k \times \{0, 1\}^n \rightarrow \{0, 1\}^{n'}$ を関数族とする。このとき、

$$\text{Adv}_{\text{XMACC}[F,b]}^{\text{s-uf}}(t, q_g, q_v, m) \leq \text{Adv}_F^{\text{prf}}(t', q') + \frac{2q_v^2}{2^{n'}}$$

である。ただし、 $q' = (q_g + q_v) \cdot (m + 1)$ 、 $t' = t + O((n + n')q')$ である。

定理 8.8 は、以下のことを示している： 実行時間 t , タグ生成オラクルに高々 q_g 回, 確認オラクルに高々 q_v 回の質問をし, それぞれの質問が高々 m ブロック (1 ブロックは b ビット) であり,

$$\text{Adv}_{\text{XMACC}[F,b]}^{\text{suif}}(A) = \epsilon$$

なる敵 A が存在すると仮定する. このとき, 実行時間 $t' = t + O((n+n')q')$, 高々 $q' = (q_g + q_v) \cdot (m + 1)$ 回の質問をし,

$$\text{Adv}_E^{\text{prp}}(B) \geq \epsilon - \frac{2q_v^2}{2^{n'}}$$

なる敵 B が存在する.

XMACC は, 送信者がカウンタを保持しなければならない代わりに, 安全性のバウンドが q_g に依存しない, という利点を持っている.

効率 XMACR, XMACC の効率は, 以下のようにまとめられる.

- 鍵長: 関数族 F (ブロック暗号) の鍵 $K \in \{0, 1\}^k$ の一つのみである.
- F の鍵スケジューリングの呼び出し回数: 1 回である.
- メッセージ M に対するタグを生成するのにかかる F の呼び出し回数: パディングの定義により異なるが, (4) のようにした場合は, $\lceil (|M| + 1)/b \rceil + 1$ 回必要である. F として, ブロック暗号を用いた場合, CBC MAC では $|M|/n$ なので, CBC MAC と比べ, n/b 倍程度必要である. たとえば, $b = n/2$ とした場合, およそ 2 回の呼び出し回数が必要である.
- 事前計算すべき F の呼び出し回数: XMACC における送信者は $F_K(0||C)$ を計算できる.
- 並列処理性: 並列処理可能である. CBC MAC とその変形は, ブロック暗号の並列処理ができない.

標準化状況 標準化された実績はない.

8.8 XECB MAC

3つの方式: 乱数を用いる XECBS-MAC 方式, 送信者が状態を用いる XECBC-MAC 方式, 状態と乱数を用いる XECBS-MAC 方式が提案されている.

どの方式もブロック暗号 $E: \mathcal{K}_E \times \{0, 1\}^n \rightarrow \{0, 1\}^n$ を用いる.

方式 (XECB\$-MAC) XECB\$-MAC は乱数を用いる方式である。XECB\$-MAC は、ブロック暗号 E をパラメータとする。これを XECB\$-MAC を XECB\$-MAC[E] と表記する。

$$\text{XECB\$-MAC}[E] = (\text{XECB\$-}\mathcal{K}, \text{XECB\$-}\mathcal{G}, \text{XECB\$-}\mathcal{V})$$

の鍵生成アルゴリズム XECB\$- \mathcal{K} 、タグ生成アルゴリズム XECB\$- \mathcal{G} 、確認アルゴリズム XECB\$- \mathcal{V} はそれぞれ以下のように動作する。

- 鍵生成アルゴリズム XECB\$- \mathcal{K} は確率的アルゴリズムであり、 $K \stackrel{R}{\leftarrow} \mathcal{K}_E$ を出力する。
- タグ生成アルゴリズム XECB\$- $\mathcal{G} : \mathcal{K}_E \times \{0, 1\}^* \rightarrow (\{0, 1\}^n \times \{0, 1\}^n)$ は確率的アルゴリズムであり、鍵空間は \mathcal{K}_E 、メッセージ空間は $\{0, 1\}^*$ 、タグ空間は $(\{0, 1\}^n \times \{0, 1\}^n)$ である。すなわち、鍵 $K \in \mathcal{K}_E$ とメッセージ $M \in \{0, 1\}^*$ を入力とし、タグ $T = \text{XECB\$-}\mathcal{G}_K(M) \in (\{0, 1\}^n \times \{0, 1\}^n)$ を出力する。図 57 にあるように動作する。

Algorithm XECB\$- $\mathcal{G}_K(M)$

```

 $r_0 \stackrel{R}{\leftarrow} \{0, 1\}^n$ 
 $y_0 \leftarrow E_K(r_0)$ 
 $z_0 \leftarrow E_K(r_0 + 1)$ 
Partition  $M$  into  $M[1] \cdots M[m]$ 
if  $|M[m]| = n$  then  $Z \leftarrow \bar{z}_0$ 
           else  $Z \leftarrow z_0$ 
 $M[m] \leftarrow \text{pad}_n(M[m])$ 
 $M[m+1] \leftarrow Z$ 
for  $i \leftarrow 1$  to  $m+1$  do
     $X[i] \leftarrow M[i] \oplus i \times y_0$ 
     $Y[i] \leftarrow E_K(X[i])$ 
 $T' \leftarrow Y[1] \oplus \cdots \oplus Y[m+1]$ 
 $T \leftarrow (r_0, T')$ 
return  $T$ 

```

図 57: XECB\$-MAC のタグ生成アルゴリズム XECB\$- $\mathcal{G}_K(\cdot)$.

ただし、 $+$ や \times の演算は $\text{mod } 2^n$ 上で行われる。2 行目の r_0 は n ビットの乱数である。6 行目の \bar{z}_0 は z_0 のビットごとの反転である。8 行目の $\text{pad}_n(\cdot)$ は (1) で定義されている。

- 確認アルゴリズム $\text{XECBC}\$-\mathcal{V} : \mathcal{K}_E \times \{0,1\}^* \times (\{0,1\}^n \times \{0,1\}^n) \rightarrow \text{accept or reject}$ は決定的アルゴリズムであり、鍵 $K \in \mathcal{K}_E$ 、メッセージ $M \in \{0,1\}^*$ 、タグ $T \in (\{0,1\}^n \times \{0,1\}^n)$ を入力とし、 $\text{accept or reject} = \text{XECBC}\$-\mathcal{V}_K(M, T)$ を出力する。図 58 にあるように動作する。

```

Algorithm  $\text{XECBC}\$-\mathcal{V}_K(M, (r_0, T'))$ 
 $y_0 \leftarrow E_K(r_0)$ 
 $z_0 \leftarrow E_K(r_0 + 1)$ 
Partition  $M$  into  $M[1] \cdots M[m]$ 
if  $|M[m]| = n$  then  $Z \leftarrow \bar{z}_0$ 
    else  $Z \leftarrow z_0$ 
 $M[m] \leftarrow \text{pad}_n(M[m])$ 
 $M[m+1] \leftarrow Z$ 
for  $i \leftarrow 1$  to  $m+1$  do
     $X[i] \leftarrow M[i] \oplus i \times y_0$ 
     $Y[i] \leftarrow E_K(X[i])$ 
 $T'' \leftarrow Y[1] \oplus \cdots \oplus Y[m+1]$ 
 $T''' \leftarrow (r_0, T')$ 
if  $T' = T'''$  then return accept
    else return reject

```

図 58: XECBC\$-MAC の確認アルゴリズム $\text{XECBC}\$-\mathcal{V}_K(\cdot, \cdot)$.

r_0 を用いてタグ生成を行い、一致していれば accept を返す。

方式 (XECBC-MAC) XECBC-MAC は、送信者が状態を用いる方式である。XECBC\$-MAC と同様、ブロック暗号 E をパラメータとする。これを、 $\text{XECBC-MAC}[E]$ と表記する。

$$\text{XECBC-MAC}[E] = (\text{XECBC-}\mathcal{K}, \text{XECBC-}\mathcal{G}, \text{XECBC-}\mathcal{V})$$

の鍵生成アルゴリズム $\text{XECBC-}\mathcal{K}$ 、タグ生成アルゴリズム $\text{XECBC-}\mathcal{G}$ 、確認アルゴリズム $\text{XECBC-}\mathcal{V}$ はそれぞれ以下のように動作する。

- 鍵生成アルゴリズム $\text{XECBC-}\mathcal{K}$ は確率的アルゴリズムであり、 $K \stackrel{R}{\leftarrow} \mathcal{K}_E$ を出力する。


```

Algorithm XMACC- $\mathcal{V}_K(M, (C, T'))$ 
 $y_0 \leftarrow E_K(C)$ 
 $z_0 \leftarrow E_K(y_0)$ 
Partition  $M$  into  $M[1] \cdots M[m]$ 
if  $|M[m]| = n$  then  $Z \leftarrow \bar{z}_0$ 
           else  $Z \leftarrow z_0$ 
 $M[m] \leftarrow \text{pad}_n(M[m])$ 
 $M[m+1] \leftarrow Z$ 
for  $i \leftarrow 1$  to  $m+1$  do
            $X[i] \leftarrow M[i] \oplus i \times y_0$ 
            $Y[i] \leftarrow E_K(X[i])$ 
 $T'' \leftarrow Y[1] \oplus \cdots \oplus Y[m+1]$ 
if  $T' = T''$  then return accept
           else return reject

```

図 60: XECBC の確認アルゴリズム $\text{XECBC-}\mathcal{V}_K(\cdot, \cdot)$.

方式 (XECBS-MAC) XECBS-MAC は状態と乱数を用いる方式である。これも、ブロック暗号 E をパラメータとする。XECBS-MAC[E] と表記する。XECBS-MAC[E] = (XECBS- \mathcal{K} , XECBS- \mathcal{G} , XECBS- \mathcal{V}) の鍵生成アルゴリズム XECBS- \mathcal{K} , タグ生成アルゴリズム XECBS- \mathcal{G} , 確認アルゴリズム XECBS- \mathcal{V} はそれぞれ以下のように動作する。

- 鍵生成アルゴリズム XECBS- \mathcal{K} は確率的アルゴリズムであり、 $K \xleftarrow{R} \mathcal{K}_E$ を出力する。
- タグ生成アルゴリズム XECBS- $\mathcal{G} : \mathcal{K}_E \times \{0, 1\}^* \times \text{Count} \rightarrow (\text{Count} \times \{0, 1\}^n)$ は決定的アルゴリズムであり、鍵空間は \mathcal{K}_E , メッセージ空間は $\{0, 1\}^*$, タグ空間は $(\text{Count} \times \{0, 1\}^n)$ である。さらに入力として、カウンタ $C \in \text{Count}$ をとる。Count はカウンタの空間であり、 $\text{Count} = \{1, 2, \dots\}$ である。カウンタは送信者により保持されており、1 に初期化され、タグ生成アルゴリズムによって更新される。受信者はこれを保持しない。すなわち、鍵 $K \in \mathcal{K}_E$, メッセージ $M \in \{0, 1\}^*$, カウンタ $C \in \text{Count}$ を入力とし、タグ $T = \text{XECBS-}\mathcal{G}_K(M) \in (\text{Count} \times \{0, 1\}^n)$ を出力する。さらにアルゴリズム内部では、状態 R と R^* を用いる。これらは、 n ビットのビット列であり、鍵ごとに更新される。メッセージごとに更新され

るわけではない。この状態は送信者だけでなく、受信者も保持している。秘密鍵 K から導出してよいと記されている [GD01a]。図 61 にあるように動作する。

```

Algorithm XECBS- $\mathcal{G}_K(C, M)$ 
Partition  $M$  into  $M[1] \cdots M[m]$ 
if  $|M[m]| = n$  then  $Z \leftarrow \bar{R}$ 
      else  $Z \leftarrow R$ 
 $M[m] \leftarrow \text{pad}_n(M[m])$ 
 $M[m+1] \leftarrow Z$ 
for  $i \leftarrow 1$  to  $m$  do
       $X[i] \leftarrow M[i] \oplus C \times Z \oplus i \times R^*$ 
       $Y[i] \leftarrow E_K(X[i])$ 
 $T' \leftarrow Y[1] \oplus \cdots \oplus Y[m]$ 
 $C' \leftarrow C + 1$ 
 $T \leftarrow (C, T')$ 
return  $T$ 

```

図 61: XECBS-MAC のタグ生成アルゴリズム XECBS- $\mathcal{G}_K(\cdot)$ 。

ただし、 C' は更新されたカウンタの値であり、 $+$ と \times の演算は、 $\text{mod } 2^n$ 上で行われる。

- 確認アルゴリズム XECBS- $\mathcal{V} : \mathcal{K}_E \times \{0, 1\}^* \times (\text{Count} \times \{0, 1\}^n) \rightarrow \text{accept or reject}$ は決定的アルゴリズムであり、鍵 $K \in \mathcal{K}_E$ 、メッセージ $M \in \{0, 1\}^*$ 、タグ $T \in (\text{Count} \times \{0, 1\}^n)$ を入力とし、 $\text{accept or reject} = \text{XMACC-}\mathcal{V}_K(M, T)$ を出力する。さらにアルゴリズム内部では、状態 R と R^* を用いる。これらは、 n ビットのビット列であり、鍵ごとに更新される。メッセージごとに更新されるわけではない。この状態は、受信者も保持している。図 62 にあるように動作する。

安全性 Glogor, Donescu により、安全性が解析されている [GD01a]。ブロック暗号 E が安全な擬似ランダム置換族であれば、XECBS-MAC[E]、XECBC-MAC[E]、XECBS-MAC[E] は、いずれも、強偽造不可能性の意味で安全な MAC であることが示されている。

```

Algorithm XMACC- $\mathcal{V}_K(M, (C, T'))$ 
Partition  $M$  into  $M[1] \cdots M[m]$ 
if  $|M[m]| = n$  then  $Z \leftarrow \bar{R}$ 
      else  $Z \leftarrow R$ 
 $M[m] \leftarrow \text{pad}_n(M[m])$ 
 $M[m+1] \leftarrow Z$ 
for  $i \leftarrow 1$  to  $m$  do
       $X[i] \leftarrow M[i] \oplus C \times Z \oplus i \times R^*$ 
       $Y[i] \leftarrow E_K(X[i])$ 
 $T'' \leftarrow Y[1] \oplus \cdots \oplus Y[m]$ 
if  $T' = T''$  then return accept
      else return reject

```

図 62: XECBS の確認アルゴリズム $\text{XECBS-}\mathcal{V}_K(\cdot, \cdot)$.

XECBS-MAC の安全性 $\text{Adv}_{\text{XECBS-MAC}[E]}^{\text{s-uf}}(t, q_g, \mu_g, q_v, \mu_v)$ を

$$\text{Adv}_{\text{XECBS-MAC}[E]}^{\text{s-uf}}(t, q_g, \mu_g, q_v, \mu_v) \stackrel{\text{def}}{=} \max_A \{ \text{Adv}_{\text{XECBS-MAC}[E]}^{\text{s-uf}}(A) \}$$

と定義する。ただし、最大値は実行時間 t , タグ生成オラクルへ高々 q_g 回の質問を合計で高々 μ_g ブロック, 確認オラクルへ高々 q_v 回の質問を合計で高々 μ_v ブロックであるすべての敵 A についてとる。

XECBS-MAC については、以下の定理が示されている [GD01a].

定理 8.9. $n \geq 1$ を整数, $t, q_g, \mu_g, q_v, \mu_v \geq 1$ を整数とする。 $E : \mathcal{K}_E \times \{0, 1\}^n \rightarrow \{0, 1\}^{n'}$ をブロック暗号とする。このとき,

$$\begin{aligned} & \text{Adv}_{\text{XECBS-MAC}[E]}^{\text{s-uf}}(t, q_g, \mu_g, q_v, \mu_v) \\ & \leq \text{Adv}_E^{\text{prf}}(t', q') + \frac{\mu_v((\log \mu_v) + 3)}{2^n} + \frac{q_g \mu_v^2}{2^n} \\ & \quad + \left(q_g + 2q_v + \frac{\mu_g}{2} \right) \frac{\mu_g((\log \mu_v) + 3)}{2^{n+1}} \end{aligned}$$

である。ただし、 $\mu_s + \mu_g \leq q'$, $t \leq t'$ である。

バウンドは最後の項が最も大きく、ほかの MAC と比べると、通常の birthday paradox バウンドよりも \log スケールで悪いことがわかる。

XECBS-MAC の安全性 $\text{Adv}_{\text{XECBS-MAC}[E]}^{\text{s-uf}}(t, q_g, \mu_g, q_v, \mu_v)$ も $\text{XECBS-MAC}[E]$ と同様に定義する.

XECBS-MAC については、以下の定理が示されている [GD01a].

定理 8.10. $n \geq 1$ を整数, $t, q_g, \mu_g, q_v, \mu_v \geq 1$ を整数とする. $E : \mathcal{K}_E \times \{0, 1\}^n \rightarrow \{0, 1\}^{n'}$ をブロック暗号とする. このとき,

$$\begin{aligned} & \text{Adv}_{\text{XECBS-MAC}[E]}^{\text{s-uf}}(t, q_g, \mu_g, q_v, \mu_v) \\ & \leq \text{Adv}_E^{\text{prf}}(t', q') + \frac{q_v}{2^n} + \frac{\mu_v((\log \mu_v) + 3)}{2^{n+1}} \\ & \quad + (q_v + \mu_g) \frac{q_s((\log q_s) + 3)}{2^{n+1}} + (q_v + \mu_g) \frac{\mu_g((\log \mu_v) + 3)}{2^{n+1}} \end{aligned}$$

である. ただし, $\mu_s + \mu_g \leq q', t \leq t'$ である.

XECBC-MAC の安全性 $\text{Adv}_{\text{XECBC-MAC}[E]}^{\text{s-uf}}(t, q_g, \mu_g, q_v, \mu_v)$ も上記二つと同様に定義する.

XECBC-MAC については、以下の定理が示されている [GD01a].

定理 8.11. $n \geq 1$ を整数, $t, q_g, \mu_g, q_v, \mu_v \geq 1$ を整数とする. $E : \mathcal{K}_E \times \{0, 1\}^n \rightarrow \{0, 1\}^{n'}$ をブロック暗号とする. このとき,

$$\begin{aligned} & \text{Adv}_{\text{XECBC-MAC}[E]}^{\text{s-uf}}(t, q_g, \mu_g, q_v, \mu_v) \\ & \leq \text{Adv}_E^{\text{prf}}(t', q') + \frac{\mu_v^2}{2^{n+1}} + \frac{q_v}{2^n} + \frac{\mu_v((\log \mu_v) + 3)}{2^{n+1}} \\ & \quad + (q_v + \mu_g) \frac{q_g((\log q_g) + 3)}{2^{n+1}} + (q_v + \mu_g) \frac{\mu_g((\log \mu_v) + 3)}{2^{n+1}} + \frac{\mu_g^2}{2^{n+1}} \end{aligned}$$

である. ただし, $\mu_s + \mu_g \leq q', t \leq t'$ である.

効率 XECB MAC の効率は、以下のようにまとめられる.

- 鍵長：ブロック暗号 E の鍵 $K \in \mathcal{K}_E$ の一つのみである.
- E の鍵スケジューリングの呼び出し回数：1 回である.
- メッセージ M に対するタグを生成するのにかかる F の呼び出し回数：XECBS-MAC と XECBC-MAC では, $\lceil |M|/n \rceil + 3$ 回, XECBS-MAC では, $\lceil |M|/n \rceil$ 回必要である. しかし, XECBS-MAC では, R と R^* の生成にブロック暗号を呼び出す必要がある場合がある.

- 事前計算するべき F の呼び出し回数：XECBS-MAC では、 R と R^* の生成にブロック暗号を呼び出す必要がある場合がある。
- 並列処理性：並列処理可能である。

標準化状況 NIST に提案されている [WWW9].

8.9 PMAC

方式 PMAC はブロック暗号 E とタグ長 τ をパラメータとする。ブロック長 n のブロック暗号 $E: \mathcal{K}_E \times \{0, 1\}^n \rightarrow \{0, 1\}^n$ を用いた場合は、 $\tau \leq n$ でなくてはならない。これらのパラメータを用いた PMAC を $\text{PMAC}[E, \tau]$ と表記する。 $\text{PMAC}[E, \tau] = (\text{PMAC-}\mathcal{K}, \text{PMAC-}\mathcal{G}, \text{PMAC-}\mathcal{V})$ の鍵生成アルゴリズム $\text{PMAC-}\mathcal{K}$ 、タグ生成アルゴリズム $\text{PMAC-}\mathcal{G}$ 、確認アルゴリズム $\text{PMAC-}\mathcal{V}$ はそれぞれ以下のように動作する。

- 鍵生成アルゴリズム $\text{PMAC-}\mathcal{K}$ は確率的アルゴリズムであり、 $K \xleftarrow{R} \mathcal{K}_E$ を出力する。
- タグ生成アルゴリズム $\text{PMAC-}\mathcal{G}: \mathcal{K}_E \times \{0, 1\}^* \rightarrow \{0, 1\}^\tau$ は決定的アルゴリズムであり、鍵空間は \mathcal{K}_E 、メッセージ空間は $\{0, 1\}^*$ 、タグ空間は $\{0, 1\}^\tau$ である。すなわち、鍵 $K \in \mathcal{K}_E$ とメッセージ $M \in \{0, 1\}^*$ を入力とし、タグ $T = \text{PMAC-}\mathcal{G}_K(M) \in \{0, 1\}^\tau$ を出力する。図 63, 図 64 にあるように動作する。PMAC は M の長さが n の倍数でなくてもよい。図 63 の 3 行目において、

$$M = M[1]M[2] \cdots M[m-1]M[m]$$

は、 $|M[1]| = |M[2]| = \cdots = |M[m-1]|$ かつ $1 \leq |M[m]| \leq n$ となるように分割される。 $M = \varepsilon$ のときは例外である。この場合、 $|M[m]| = 0$ となる。

5 行目の $\gamma_i \cdot L$ は、以下のように計算される。

$$\begin{cases} \gamma_1 \cdot L = L \\ \gamma_i \cdot L = (\gamma_{i-1} \cdot L) \oplus (L \cdot \mathbf{u}^{\text{ntz}(i)}) \quad (i \geq 2) \end{cases}$$

ここで、 $\text{ntz}(i)$ は、 i をビット表現したときの、最下位ビットから連続して並ぶ 0 の個数である。もしくは、 $\text{ntz}(i)$ は、 2^z が i を割り切る最大の z である。たとえば、 $\text{ntz}(7) = 0$ 、 $\text{ntz}(8) = 3$ である。

```

Algorithm PMAC- $\mathcal{G}_K(M)$ 
 $L \leftarrow E_K(0^n)$ 
Partition  $M$  into  $M[1] \cdots M[m]$ 
for  $i \leftarrow 1$  to  $m - 1$  do
     $X[i] \leftarrow M[i] \oplus \gamma_i \cdot L$ 
     $Y[i] \leftarrow E_K(X[i])$ 
 $\Sigma \leftarrow Y[1] \oplus Y[2] \oplus \cdots \oplus Y[m - 1] \oplus \mathbf{pad}_n(M[m])$ 
if  $|M[m]| = n$  then  $X[m] \leftarrow \Sigma \oplus L \cdot \mathbf{u}^{-1}$ 
    else  $X[m] \leftarrow \Sigma$ 
 $T \leftarrow$  the left most  $\tau$  bits of  $E_K(X[m])$ 
return  $T$ 

```

図 63: PMAC のタグ生成アルゴリズム PMAC- $\mathcal{G}_K(\cdot)$.

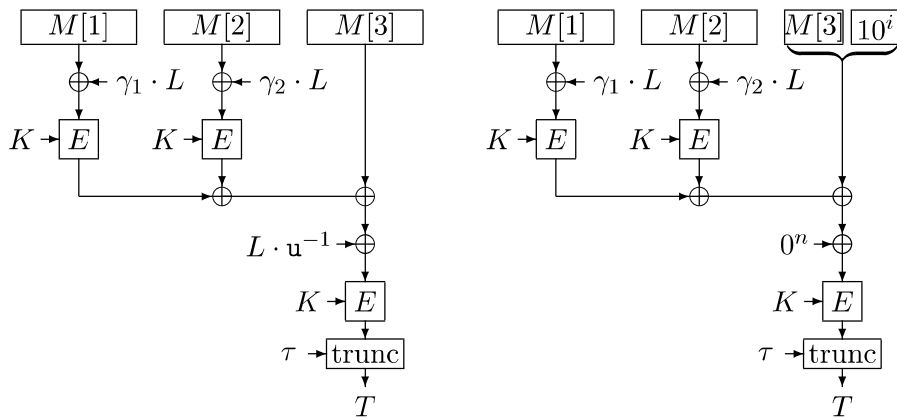


図 64: $M = M[1]M[2]M[3]$ の場合の PMAC- $\mathcal{G}_K(M)$ の動作.

$\gamma_i \cdot L$ は事前計算でいくつか計算しておいてもよいし、必要に応じて計算してもよい。

また、図 63 の 7 行目の関数 $\text{pad}_n : \{0, 1\}^{\leq n} \rightarrow \{0, 1\}^n$ は (1) と同様である。8 行目の $L \cdot u^{-1}$ は、(3) のように計算される。

- 確認アルゴリズム $\text{PMAC-}\mathcal{V} : \mathcal{K}_E \times \{0, 1\}^* \times \{0, 1\}^\tau \rightarrow \text{accept or reject}$ は決定的アルゴリズムであり、鍵 $K \in \mathcal{K}_E$ 、メッセージ $M \in \{0, 1\}^*$ 、タグ $T \in \{0, 1\}^\tau$ を入力とし、 $\text{accept or reject} = \text{PMAC-}\mathcal{V}_K(M, T)$ を出力する。図 65 にあるように動作する。

Algorithm $\text{PMAC-}\mathcal{V}_K(M, T)$
 $T' \leftarrow \text{PMAC-}\mathcal{G}_K(M)$
if $T = T'$ **then return** accept
else return reject

図 65: PMAC の確認アルゴリズム $\text{PMAC-}\mathcal{V}_K(\cdot, \cdot)$.

安全性 Black, Rogaway により、安全性が解析されている [BR02]。ブロック暗号 E が安全な擬似ランダム置換族であれば、 $\text{PMAC}[E, \tau]$ は、偽造不可能性の意味で安全な MAC であることが示されている。具体的には、以下の定理が示されている [BR02]。

定理 8.12. $n, \tau \geq 1$ を整数, $t, q, \sigma \geq 1$ を整数とする。 $E : \mathcal{K}_E \times \{0, 1\}^n \rightarrow \{0, 1\}^n$ をブロック暗号とする。このとき、

$$\text{Adv}_{\text{PMAC}[E, \tau]}^{\text{mac}}(t, q, \sigma) \leq \text{Adv}_E^{\text{prp}}(t', q') + \frac{1.5\sigma'^2}{2^n} + \frac{1}{2^\tau}$$

である。ただし、 $\sigma' = \sigma + q + 1$, $q' = \sigma + 1$, $t' = t + O(n\sigma)$ であり、質問の長さはブロック単位である。

定理 8.12 は、以下のことを示している：実行時間 t 、高々 q 回の質問をし、それらの質問が合計で高々 σ ブロックであり、

$$\text{Adv}_{\text{PMAC}[E, \tau]}^{\text{mac}}(A) = \epsilon$$

なる敵 A が存在すると仮定する。 $\sigma' = \sigma + q + 1$ とする。このとき、実行時間 $t' = t + O(n\sigma)$ 、高々 $q' = \sigma$ 回の質問をし、

$$\text{Adv}_E^{\text{prp}}(B) \geq \epsilon - \frac{1.5\sigma'^2}{2^n} - \frac{1}{2^\tau}$$

なる敵 B が存在する。

効率 PMAC の効率は、以下のようにまとめられる。

- 鍵長：ブロック暗号の鍵 $K \in \mathcal{K}_E$ の計 1 つが必要である。
- ブロック暗号鍵スケジューリングの呼び出し回数：1 回である。
- メッセージ M に対するタグを生成するのにかかるブロック暗号の呼び出し回数： $\max\{1, \lceil |M|/n \rceil\}$ 回の呼び出しである。
- 事前計算するべきブロック暗号の呼び出し回数：1 回である。
- 並列処理性：並列処理可能である。

標準化状況 NIST に提案されている [WWW9]。

8.10 f_9

方式 f_9 はブロック暗号 KASUMI： $\{0, 1\}^{128} \times \{0, 1\}^{64} \rightarrow \{0, 1\}^{64}$ を用いる。鍵生成アルゴリズム $f_9\text{-}\mathcal{K}$ 、タグ生成アルゴリズム $f_9\text{-}\mathcal{G}$ 、確認アルゴリズム $f_9\text{-}\mathcal{V}$ はそれぞれ以下のように動作する。

- 鍵生成アルゴリズム $f_9\text{-}\mathcal{K}$ は確率的アルゴリズムであり、 $K \stackrel{R}{\leftarrow} \{0, 1\}^{128}$ を出力する。
- タグ生成アルゴリズム $f_9\text{-}\mathcal{G} : \mathcal{K}_E \times \{0, 1\}^* \rightarrow \{0, 1\}^\tau$ は決定的アルゴリズムであり、鍵空間は $\{0, 1\}^{64}$ 、メッセージ空間は $\{0, 1\}^*$ 、タグ空間は $\{0, 1\}^{32}$ である。さらに、32 ビットのカウンタ COUNT、32 ビットの乱数 FRESH、1 ビットの direction identifier DIRECTION を入力にもつ。これらは、送受信者の間で共有されている。図 66、図 67 にあるように動作する。

2 行目の $\text{pad}_{64}(\text{COUNT}, \text{FRESH}, \text{DIRECTION}, M)$ は以下のように動作する：まず、COUNT, FRESH, M, DIRECTION を連結し、次に 1 ビットの “1” を連結し、最後に、全体の長さが 64 ビットの整数倍になるように、“0” を連結する。すなわち、

$$\begin{aligned} \text{pad}_{64}(\text{COUNT}, \text{FRESH}, \text{DIRECTION}, M) \\ = \text{COUNT} \parallel \text{FRESH} \parallel M \parallel \text{DIRECTION} \parallel 1 \parallel 0^{63 - (|M| + 1 \bmod 64)} . \end{aligned}$$

とする。KM は、128 ビットの定数であり、 $\text{KM} = 0x\text{AA}\dots\text{AA}$ である。

Algorithm $f9\mathcal{G}_K(\text{COUNT}, \text{FRESH}, \text{DIRECTION}, M)$
 $M \leftarrow \text{pad}_{64}(\text{COUNT}, \text{FRESH}, \text{DIRECTION}, M)$
Break M into 64-bit blocks $M[1] \parallel \dots \parallel M[m]$
 $Y[0] \leftarrow 0^{64}$
For $i = 1$ to m do:
 $X[i] \leftarrow M[i] \oplus Y[i - 1]$
 $Y[i] \leftarrow \text{KASUMI}_K(X[i])$
 $T \leftarrow \text{KASUMI}_{K \oplus KM}(Y[1] \oplus \dots \oplus Y[m])$
 $T \leftarrow$ the leftmost 32 bits of T
Return T

図 66: $f9$ のタグ生成アルゴリズム $f9\mathcal{G}_K(\cdot)$.

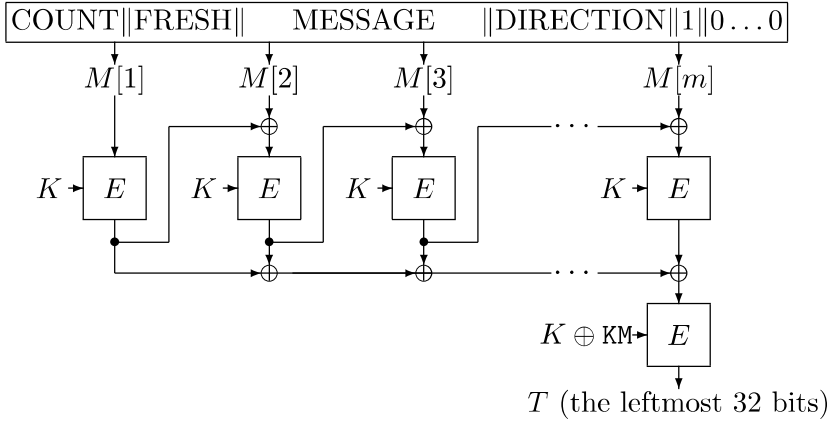


図 67: $f9\mathcal{G}_K(M)$ の動作. E は KASUMI である.

- 確認アルゴリズム $f9-V: \{0, 1\}^{64} \times \{0, 1\}^* \times \{0, 1\}^{32} \rightarrow \text{accept or reject}$ は決定的アルゴリズムであり, 鍵 $K \in \{0, 1\}^{64}$, メッセージ $M \in \{0, 1\}^*$, タグ $T \in \{0, 1\}^{32}$ を入力とし, $\text{accept or reject} = f9-V_K(M, T)$ を出力する. さらに, 送受信者間で共有されている 32 ビットのカウンタ COUNT, 32 ビットの乱数 FRESH, 1 ビットの direction identifier DIRECTION を入力にもつ.

図 68 にあるように動作する.

Algorithm $f9-V_K(\text{COUNT}, \text{FRESH}, \text{DIRECTION}, M, T)$
 $T' \leftarrow f9-G_K(\text{COUNT}, \text{FRESH}, \text{DIRECTION}, M)$
if $T = T'$ **then return** accept
else return reject

図 68: $f9$ の確認アルゴリズム $f9-V_K(\cdot, \cdot)$.

安全性 Hong, Kang, Preneel, Ryu により, KASUMI が安全な擬似ランダム置換であれば, $f9$ が偽造不能性の意味で安全な MAC であることが主張された [HKPR03] が, 証明の不備が指摘されている [IK03c].

効率 $f9$ の効率は, 以下のようにまとめられる.

- 鍵長: KASUMI の鍵 $K \in \{0, 1\}^{64}$ 一つのみである.
- ブロック暗号鍵スケジューリングの呼び出し回数: K と $K \oplus KM$ の 2 回である.
- メッセージ M に対するタグを生成するのにかかるブロック暗号の呼び出し回数: $\lceil |M|/n \rceil + 2$ 回の呼び出しである.
- 事前計算すべきブロック暗号の呼び出し回数: 必要ない.
- 並列処理性: 並列処理はできない.

標準化状況 3GPP により標準化されている [3GPPa, 3GPPb].

9 まとめ

本報告書では、ブロック暗号利用モードの種類、特徴、安全性、処理速度、などを調査しまとめた。また、利用モードの安全性評価手法と標準化動向についても調査しまとめた。

FIPS81, SP800-38Aなどで既に標準化されている情報の秘匿を目的としたモード ECB, CBC, k -CFB, OFB, CTR に対しては、今後選択される機会も多いと思われるため、その特性を表9にまとめている。表中において「秘匿性に関する注意点」は、利用の際に特に注意する点を記述している。ECBモードは暗号文を見るだけで平文ブロックが同じ値であるか否かを判定できるため、長い文書の暗号化には用いないほうがよい。また、CTRモードにおけるIVは、暗号化の際にIVから導かれるカウンターの値が過去に使われた値と異なるように設定されなければならない[SP800-38A]。「処理速度」は、暗号化処理1回で暗号化される平文のブロックサイズ (n はブロック暗号ブロックサイズ) を表しており、大量のデータを暗号化する際には大きな値を取るほうがよい。「並列性」は複数の平文/暗号文ブロックを並列で処理できるか否かを表している。処理を並列化できる場合にはこの特徴を生かすことができる。「復号関数の実装」は、復号処理の際にブロック暗号の復号関数を必要とするか否かを表している。不要となっている方式はブロック暗号の暗号化関数のみ実装すればよいことを意味する。

メッセージ認証や認証暗号を目的とした利用モードの必要性も高まることが予想されるため、今後は、それらの比較検討を行う予定である。

表 5: 秘匿に関する暗号利用モードのまとめ

	秘匿性に関する注意点	1ビット エラーの 伝播範囲	処理 速度	並列性		復号 関数 の実装	機能に 関する コメント
				暗号化	復号		
ECB	<ul style="list-style-type: none"> 暗号文を見るだけで平文ブロックが同じ値であるか否かを判定できる。よって、1) 平文がブロックサイズより小さい 2) 平文ブロックが全て異なる、などの特別な理由がない限り用いるべきでない。特に、長い文章を暗号化する際の利用は避けた方がよい。 	1 ブロック	1	有り	有り	必要	
CBC	<ul style="list-style-type: none"> $2^{n/2}$ ブロック程度以上の平文を暗号化すると、中間一致攻撃により、暗号文を見るだけで平文に関する1ブロック分の情報が得られる可能性がある。 	1 ブロック +1ビット	1	無し	有り	必要	
k -CFB	<ul style="list-style-type: none"> $2^{n/2}$ ブロック程度以上の平文を暗号化すると、中間一致攻撃により、暗号文を見るだけで平文に関する1ブロック分 (kビット) の情報が得られる可能性がある。 kが小さい場合、初期値と平文の組み合わせによっては、鍵ストリームの周期が極端に小さくなる恐れがある。 	$(\lfloor \frac{n}{k} \rfloor \sim \lceil \frac{n}{k} \rceil)$ 平文 ブロック + 1 ビット (1 平文ブ ロック = k ビット)	$\frac{k}{n}$	無し	有り	不要	k ビット単 位の自動同 期回復機能 がある。
OFB	<ul style="list-style-type: none"> $2^{n/2}$ ブロック程度で周期を形成。(k が小さい場合、IV によっては、暗号文から容易に鍵の候補を絞り込むことが可能。) 初期値の運用を誤ると重大な欠陥につながる恐れがあり、注意が必要。 	1ビット	1	無し	無し	不要	
CTR	<ul style="list-style-type: none"> 初期値の運用を誤ると重大な欠陥につながる恐れがあり、注意が必要。 	1ビット	1	有り	有り	不要	

参考文献

- [3GPPa] 3GPP TS 35.201 v 3.1.1. Specification of the 3GPP confidentiality and integrity algorithms, Document 1: *f8* and *f9* specification. Available at <http://www.3gpp.org/tb/other/algorithms.htm>.
- [3GPPb] 3GPP TS 35.202 v 3.1.1. Specification of the 3GPP confidentiality and integrity algorithms, Document 2: KASUMI specification. Available at <http://www.3gpp.org/tb/other/algorithms.htm>.
- [AGS97] V. Afanassiev, C. Gehrman, and B. Smeets, “Fast Message Authentication Using Efficient Polynomial Evaluation,” *Fast Software Encryption, 4th International Workshop, FSE’97, Haifa, Israel, January 20–22, 1997, Proceedings*, ed. E. Biham, pp. 190–204, Lecture Notes in Computer Science vol. 1267, Springer-Verlag, 1997.
- [AGPS02] A. Alkassar, A. Gerald, B. Pfitzmann, and A. R. Sadeghi, “Optimized Self-synchronizing Mode of Operation,” *Fast Software Encryption, 8th International Workshop, FSE2001, Yokohama, Japan, April 2–4, 2001, Revised Papers*, ed. M. Matsui, pp. 78–91, Lecture Notes in Computer Science vol. 2355, Springer-Verlag, 2002.
- [ANSIX3.106] ANSI X 3.106, American National Standard for Information Systems – Data Encryption Algorithm – Modes of Operation,” American National Standard Institute, 1983.
- [ANSIX3.92] ANSI X 3.92, American National Standard for Information Systems – Data Encryption Algorithm,” American National Standard Institute, 1981.
- [AB99] J.H. An and M. Bellare, “Constructing VIL-MACs from FIL-MACs: Message Authentication under Weakened Assumptions,” *Advances in Cryptology — CRYPTO ’99, 19th Annual International Cryptology Conference, Santa Barbara, California, USA, August 15–19, 1999. Proceedings*, ed. M. Wiener, pp. 252–269, Lecture Notes in Computer Science vol. 1666, Springer-Verlag, 1999.
- [AB01] J.H. An and M. Bellare, “Does Encryption with Redundancy Provide Authenticity?” *Advances in Cryptology, — EUROCRYPT*

2001, *International Conference on the Theory and Application of Cryptographic Techniques, Innsbruck, Austria, May 6–10, 2001, Proceedings*, ed. B. Pfitzmann, pp. 512–528, Lecture Notes in Computer Science vol. 2045, Springer-Verlag, 2001.

- [BA01] A. A. Belal and M.A.Abdel-Gawad, “2D-Encryption Mode,” Submitted document for Modes of Operation for Symmetric Key Block Ciphers, Computer Security Resource Center of Information Technology Laboratory, National Institute of Standards and Technology, 2001, available at <http://csrc.nist.gov/CryptoToolkit/modes/proposedmodes/>.
- [BGR95] M. Bellare, R. Gu erin, and P. Rogaway, “XOR MACs: New Methods for Message Authentication Using Finite Pseudorandom Functions,” *Advances in Cryptology — CRYPTO ’95, 15th Annual International Cryptology Conference, Santa Barbara, California, USA, August 1995. Proceedings*, ed. D. Coppersmith, pp. 15–28, Lecture Notes in Computer Science vol. 963, Springer-Verlag, 1995.
- [BCK96] M. Bellare, R. Canetti, and H. Krawczyk, “Keying Hash Functions for Message Authentication,” *Advances in Cryptology — CRYPTO ’96, 16th Annual International Cryptology Conference, Santa Barbara, California, USA, August 1996. Proceedings*, ed. N. Koblitz, pp. 1–15, Lecture Notes in Computer Science vol. 1109, Springer-Verlag, 1996.
- [BDJR97] M. Bellare, A. Desai, E. Joriki, and P. Rogaway. A concrete security treatment of symmetric encryption. *Proceedings of The 38th Annual Symposium on Foundations of Computer Science, FOCS ’97*, pp. 394–405, IEEE, 1997.
- [BN00] M. Bellare and C. Namprempre, “Authenticated Encryption: Relations among Notions and Analysis of the Generic Composition Paradigm,” *Advances in Cryptology — ASIACRYPT 2000, 6th International Conference on the Theory and Application of Cryptology and Information Security, Kyoto, Japan, December 3–7, 2000 Proceedings*, ed. T. Okamoto, pp. 531–545, Lecture Notes in Computer Science vol. 1976, Springer-Verlag, 2000.
- [BKR00] M. Bellare, J. Kilian, and P. Rogaway. The security of the cipher block chaining message authentication code. *JCSS*, Vol. 61,

- No. 3, pp. 362–399, 2000. Earlier version in *Advances in Cryptology — CRYPTO '94, LNCS 839*, pp. 341–358, Springer-Verlag, 1994.
- [BBKN01] M. Bellare, A. Boldyreva, L. Knudsen, and C. Namprempre, “Online Ciphers and the Hash-CBC Construction,” *Advances in Cryptology — CRYPTO 2001, 21st Annual International Cryptology Conference, Santa Barbara, California, USA, Aug. 2001, Proceedings*, ed. J. Kilian, pp.292–309, Lecture Notes in Computer Science vol. 2139, Springer-Verlag, 2001.
- [BK03] M. Bellare, and T. Kohno. A theoretical treatment of related-key attacks: RKA-PRPs, RKA-PRFs, and applications. *Advances in Cryptology — EUROCRYPT 2003, LNCS 2656*, pp. 491–506, Springer-Verlag, 2003.
- [BRW03] M. Bellare, P. Rogaway, and D. Wagner, “A Conventional Authenticated-Encryption Mode,” Submitted document for Modes of Operation for Symmetric Key Block Ciphers, Computer Security Resource Center of Information Technology Laboratory, National Institute of Standards and Technology, 2003, available at <http://csrc.nist.gov/CryptoToolkit/modes/proposedmodes/>.
- [BB+95] A. Berendschot, B. den Boer, J. Boly, A. Bosselaers, J. Brandt, D. Chaum, I. Damgaard, M. Dichtl, W. Fumy, M. van der Ham, C. Jansen, P. Landrock, B. Preneel, G. Roelofsen, P. de Rooij, J. Vandewalle, *Final Report of Race Integrity Primitives, Lecture Notes in Computer Science*, vol. 1007, Springer-Verlag, 1995.
- [B96] E. Biham, “Cryptanalysis of Triple-Modes of Operation,” Technion technical report CS885, 1996, available at <http://www.cs.technion.ac.il/~biham/publications.html>.
- [BHKKR99] J. Black, S. Halevi, H. Krawczyk, T. Krovets, and P. Rogaway, “UMAC: Fast and Secure Message Authentication,” *Advances in Cryptology — CRYPTO '99, 19th Annual International Cryptology Conference, Santa Barbara, California, USA, August 15–19, 1999. Proceedings*, ed. M. Wiener, pp. 216–233, Lecture Notes in Computer Science vol. 1666, Springer-Verlag, 1999.
- [BR00] J. Black and P. Rogaway, “CBC MACs for Arbitrary-Length Messages: The Three-Key Constructions,” *Advances in Cryptology*

- *CRYPTO 2000, 20th Annual International Cryptology Conference, Santa Barbara, California, USA, August 2000. Proceedings*, ed. M. Bellare, pp. 197–215, Lecture Notes in Computer Science vol. 1880, Springer-Verlag, 2000.
- [BR01] J. Black and P. Rogaway. Comments to NIST concerning AES modes of operations: A suggestion for handling arbitrary-length messages with the CBC MAC. *Second Modes of Operation Workshop*. Available at <http://www.cs.ucdavis.edu/~rogaway/>.
- [BR02] J. Black and P. Rogaway, “A Block-Cipher Modes of Operation for Parallelizable Message Authentication,” *Advances in Cryptology — EUROCRYPT 2002, International Conference on the Theory and Application of Cryptographic Techniques, Amsterdam, the Netherlands, April 28–May 2, 2002. Proceedings*, ed. L. Knudsen, pp. 384–397, Lecture Notes in Computer Science vol. 2332, Springer-Verlag, 2002.
- [BRS02] J. Black, P. Rogaway, and T. Shrimpton, “Black-Box Analysis of the Block-Cipher-Based Hash-Function Constructions from PGV,” *Advances in Cryptology — CRYPT 2002, 22nd Annual International Cryptology Conference, Santa Barbara, California, USA, August 2002, Proceedings*, ed. M. Yung, pp. 320–335, Lecture Notes in Computer Science vol. 2442, Springer-Verlag, 2002.
- [B02] J. Black. Comments on the RMAC algorithm. Comments to NIST. Available at <http://csrc.nist.gov/CryptoToolkit/modes/comments/>.
- [C78] C. M. Campbell, “Design and Specification of Cryptographic Capabilities,” *Computer Security and the Data Encryption Standard*, (ed.) D. K. Brandstad, National Bureau of Standards Special Publications 500-27, U. S. Department of Commerce, February 1978, pp. 54–66.
- [CW79] L. Carter and M. Wegman, “Universal Hash Functions,” *Journal of Computer and System Sciences*, vol. 18, 1979.
- [D93] J. Daemen, “Limitations of the Even-Mansour Construction,” *Advances in Cryptology — ASIACRYPT ’91, International Conference on the Theory and Application of Cryptology*, eds. H. Imai,

- R.L. Rivest, and T. Matsumoto, pp. 495–499, Lecture Notes in Computer Science vol. 739, Springer-Verlag, 1993.
- [DR99] J. Daemen and V. Rijmen, *AES Proposal: Rijndael*, AES Algorithm Submission, September 3, 1999, available at <http://www.nist.gov/CryptoToolkit>.
- [DH79] W. Diffie and M. E. Hellman, “Privacy and Authentication: An Introduction to Cryptography,” Proceedings of the IEEE 67/3, 1979, pp. 397–427.
- [SP800-38A] M. Dworkin, National Institute of Standards and Technology, Special Publication 800-38A, 2001 Edition, Recommendation for Block Cipher Modes of Operation: Methods and Techniques, December 2001.
- [SP800-38B] M. Dworkin, National Institute of Standards and Technology, Draft of Special Publication 800-38B, Recommendation for Block Cipher Modes of Operation: The RMAC Authentication Mode, Methods and Techniques, November 4, 2002.
- [SP800-38C] M. Dworkin, National Institute of Standards and Technology, Draft of Special Publication 800-38C, Recommendation for Block Cipher Modes of Operation: The CCM Mode for Authentication and Confidentiality, September, 2003.
- [EM97] S. Even and Y. Mansour, “A Construction of a Cipher from a Single Pseudorandom Permutation,” *J. of Cryptology*, 10(3) 151–161, Summer 1997.
- [FIPS46-3] National Institute of Standards and Technology, Federal Information Processing Standards Publication 46-3, Data Encryption Standard (DES).
- [FIPS81] National Institute of Standards and Technology, Federal Information Processing Standards Publication 81, DES Modes of Operation (DES), 1980.
- [FIPS113] National Institute of Standards and Technology, Federal Information Processing Standards Publication 113, Computer data authentication, 1994.

- [FIPS197] National Institute of Standards and Technology, Federal Information Processing Standards Publication 197, Advanced Encryption Standard (AES).
- [FH03] S. Frankel, and H. Herbert. The AES-XCBC-MAC-96 algorithm and its use with IPsec. Available at <http://www.ieft.org/>.
- [FMP03] P.-A. Fouque, G. Martinet, and G. Poupard, “Practical Symmetric On-line Encryption,” *FSE2003, Tenth Annual Workshop on Fast Software Encryption, February 24–26, 2003, AF-Borgen, Lund, Sweden. Pre-proceedings*, pp. 379–392, Department of Information Technology of Lund Institute of Technology, Lund University, 2003.
- [GD99] V. Gligor and P. Donescu, “Integrity-aware PCBC Encryption Schemes,” *Security Protocols, 7th International Workshop Cambridge, UK, April 19–21, 1999 Proceedings*, eds. B. Christianson, B. Crispo, J.A. Malcolm, and M. Roe, Lecture Notes in Computer Science vol. 1796, Springer-Verlag, 2000.
- [GD00] V. D. Gligor and P. Donescu, “On Message Integrity in Symmetric Encryption,” Submitted document for Modes of Operation for Symmetric Key Block Ciphers, Computer Security Resource Center of Information Technology Laboratory, National Institute of Standards and Technology, 2000, available at <http://csrc.nist.gov/CryptoToolKit/modes/proposedmodes/>.
- [GD01a] V.D. Gligor and P. Donescu, “Fast Encryption and Authentication: XCBC Encryption and XECB Authentication Modes,” *Fast Software Encryption, 8th International Workshop, FSE2001, Yokohama, Japan, April 2–4, 2001. Revised Papers*, ed. M. Matsui, pp. 92–108, Lecture Notes in Computer Science vol. 2355, Springer-Verlag, 2002.
- [GD01b] V. D. Gligor and P. Donescu, “Fast Encryption and Authentication: XCBC Encryption and XECB Authentication Modes,” Submitted document for Modes of Operation for Symmetric Key Block Ciphers, Computer Security Resource Center of Information Technology Laboratory, National Institute of Standards and Technology, 2001, available at <http://csrc.nist.gov/CryptoToolKit/modes/proposedmodes/>.

- [GGM86] O. Goldreich, S. Goldwasser, and S. Micali, “How to Construct Random Functions,” *Journal of the ACM*, Vol. 33, No. 4, 792–807, October 1986.
- [GM84] S. Goldwasser and S. Micali, “Probabilistic Encryption,” *J. Computer & System Sciences*, 28: pp.270–299, 1984.
- [HK97] S. Halevi and H. Krawczyk, “MMH: Software Message Authentication in the Gbit/second Rates,” *Fast Software Encryption, 4th International Workshop, FSE’97, Haifa, Israel, January 20–22, 1997, Proceedings*, ed. E. Biham, pp. 172–189, Lecture Notes in Computer Science vol. 1267, Springer-Verlag, 1997.
- [HR03a] S. Halevi and P. Rogaway, “A Parallelizable Enciphering Mode,” Working draft for SISWG, Security in Storage Working Group, March 2003, document available at <http://www.siswg.org/docs/>.
- [HR03b] S. Halevi, and P. Rogaway. A tweakable enciphering mode. *Advances in Cryptology — CRYPTO 2003, LNCS 2729*, pp. 482–499, Springer-Verlag, 2003.
- [HP99] H. Handschuh and B. Preneel, “On the Security of Double and 2-key Triple Modes of Operation,” *Fast Software Encryption, 6th International Workshop, FSE’99, Rome, Italy, March 1999, Proceedings*, ed. L. Knudsen, pp. 215–230, Lecture Notes in Computer Science vol. 1636, Springer-Verlag, 1999.
- [H01c] H. Hellström, “Propagating Cipher Feedback,” Submitted document for Modes of Operation for Symmetric Key Block Ciphers, Computer Security Resource Center of Information Technology Laboratory, National Institute of Standards and Technology, 2001, available at <http://csrc.nist.gov/CryptoToolkit/modes/proposedmodes/>.
- [H01a] H. M. Heys, “Delay Characteristics of Statistical Cipher Feedback Mode,” *IEEE Pacific Rim Conference on Communications, Computers, and Signal Processing — PACRIM 2001, Victoria, British Columbia*, 2001, available at <http://www.engr.mun.ca/~howard/Research/Papers/index.html>.

- [H01b] H. M. Heys, “An Analysis of the Statistical Self-Synchronization of Stream Ciphers,” *Proceedings of INFOCOM 2001, Anchorage, Alaska*, pp. 897–904, 2001, available at <http://www.engr.mun.ca/~howard/Research/Papers/index.html>.
- [H03a] H. M. Heys, “Analysis of the Statistical Cipher Feedback Mode of Block Ciphers,” *IEEE Transactions on Computers*, vol.=52, no. 1, pp. 77–92, January 2003, available at <http://www.engr.mun.ca/~howard/Research/Papers/index.html>.
- [H03b] P. Hoffman. The AES-XCBC-PRF-128 algorithm for IKE. Available at <http://www.ietf.org/>.
- [HKPR03] D. Hong, J-S. Kang, B. Preneel, and H. Ryu. A concrete security analysis for 3GPP-MAC. *Fast Software Encryption, FSE 2003, LNCS 2887*, pp. 154–169, Springer-Verlag, 2003.
- [ISO8372] ISO 8372: 1987, Information Processing – Modes of operation for a 64-bit block cipher algorithm (ANSI X3.92-1981 を参照している).
- [ISOIEC9797-1] ISO/IEC 9797-1. Information technology — security techniques — data integrity mechanism using a cryptographic check function employing a block cipher algorithm. International Organization for Standards, Geneva, Switzerland, 1999. Second edition.
- [ISO10116] ISO/IEC 10116:1997, Information technology – Security techniques – Modes of operation for an n-bit block cipher algorithm, 2002-6-26.
- [IK03a] T. Iwata and K. Kurosawa. OMAC: One-Key CBC MAC. *Fast Software Encryption, FSE 2003, LNCS 2887*, pp. 129–153, Springer-Verlag, 2003.
- [IK03b] T. Iwata and K. Kurosawa. Stronger security bounds for OMAC, TMAC and XCBC. *Progress in Cryptology — INDOCRYPT 2003, LNCS 2904*, pp. 402–415, 2003.
- [IK03c] T. Iwata and K. Kurosawa. On the correctness of security proofs for the 3GPP confidentiality and integrity algorithms. *Ninth IMA International Conference on Cryptography and Coding, LNCS 2898*, pp. 306–318, Springer-Verlag, 2003.

- [JJ+02a] É. Jaulmes, A. Joux, and F. Valette. On the security of randomized CBC-MAC beyond the birthday paradox limit: A new construction. *Fast Software Encryption, FSE 2002, LNCS 2365*, pp. 237–251, Springer-Verlag, 2002.
- [JJ+02b] É. Jaulmes, A. Joux, and F. Valette. On the security of randomized CBC-MAC beyond the birthday paradox limit: A new construction. Full version. Available at Cryptology ePrint Archive, Report 2001/074, <http://eprint.iacr.org/>.
- [JJ+02c] É. Jaulmes, A. Joux, and F. Valette. RMAC, A randomized MAC beyond the birthday paradox limit. *Second Modes of Operation Workshop*, 2001. Available at <http://csrc.nist.gov/CryptoToolkit/modes>.
- [JMV02] A. Joux, G. Martinet, and F. Valette, “Blockwise Adaptive Attackers: Revisiting the (In)security of Some Provably Secure Encryption Modes: CBC, GEM, IACBC,” *Advances in Cryptology — CRYPTO 2002, 22nd Annual International Cryptology Conference, Santa Barbara, California, USA, Aug. 18–22, 2002. Proceedings*, ed. M. Yung, pp. 17–30, Lecture Notes in Computer Science vol. 2442, Springer-Verlag, 2002.
- [J03] A. Joux, “Cryptanalysis of the EMD Mode of Operation,” *Advances in Cryptology — EUROCRYPT 2003, International Conference on the Theory and Applications of Cryptographic Techniques, Warsaw, Poland, May 4–8, 2003, Proceedings*, ed. E. Biham, pp. 1–16, Lecture Notes in Computer Science vol. 2656, Springer-Verlag, 2003.
- [JKRW01] O. Jung, S. Kuhn, C. Ruland, and K. Wollenweber, “Enhanced modes of operation for the encryption in high-speed networks and their impact on QoS,” *Information Security and Privacy: 6th Australasian Conference, ACISP 2001, Sydney, Australia, July 11–13, 2001, Proceedings*, eds. V. Varadharajan and Y. Mu, pp. 344–359, Lecture Notes in Computer Science vol. 2119, Springer-Verlag, 2001.
- [JR99] O. Jung and C. Ruland, “Encryption with statistical self-synchronization in synchronous broadband networks,” *Cryptographic Hardware and Embedded Systems, First International Workshop*,

- CHES '99, Worcester, MA, USA, August 12–13, 1999, Proceedings*, eds. C.K.Koç and C.Paar, pp. 340–352, Lecture Notes in Computer Science vol. 1717, Springer-Verlag, 1999.
- [J02] J. Jonsson, “On the Security of CTR + CBC-MAC,” *Selected Areas in Cryptography, 9th Annual Workshop, SAC 2002, St. John’s, Newfoundland, Canada, Aug. 2002, Revised Papers*, ed. K. Nyberg and H. Heys, pp. 76–93, Lecture Notes in Computer Science vol. 2595, Springer-Verlag, 2002.
- [J00] C. S. Jutla, “Encryption Modes with Almost Free Message Integrity,” Submitted document for Modes of Operation for Symmetric Key Block Ciphers, Computer Security Resource Center of Information Technology Laboratory, National Institute of Standards and Technology, 2000, available at <http://csrc.nist.gov/CryptoToolKit/modes/proposedmodes/>.
- [J01] C.S. Jutla, “Encryption Modes with Almost Free Message Integrity,” *Advances in Cryptology — EUROCRYPT 2001, International Conference on the Theory and Application of Cryptographic Techniques, Innsbruck, Austria, May 6–10, 2001. Proceedings*, ed. B. Pfitzmann, pp. 529–544, Lecture Notes in Computer Science vol. 2045, Springer-Verlag, 2001.
- [KY00a] J. Katz and M. Yung, “Complete Characterization of Security Notions for Probabilistic Private-key Encryption,” Proceedings of the Thirty-second Annual ACM Symposium on Theory of Computing, ACM, 2000.
- [KY00b] J. Katz and M. Yung, “Unforgeable Encryption and Chosen Cipher Secure Modes of Operation,” *Fast Software Encryption, 7th International Workshop, FSE 2000, New York, NY, USA, April 2000, Proceedings*, ed. B. Schneier, pp. 284–299, Lecture Notes in Computer Science vol. 1978, Springer-Verlag, 2001.
- [KR96] J. Kilian and P. Rogaway, “How to Protect DES against Exhaustive Search (an Analysis of DESX),” *Advances in Cryptology — CRYPTO '96, 16th Annual International Cryptology Conference, Santa Barbara, California, USA, August 1996. Proceedings*, ed. N. Koblitz, pp. 252–267, Lecture Notes in Computer Science vol. 1109, Springer-Verlag, 1996.

- [K00] L. R. Knudsen, “Block Chaining Modes of Operation,” Submitted document for Modes of Operation for Symmetric Key Block Ciphers, Computer Security Resource Center of Information Technology Laboratory, National Institute of Standards and Technology, 2000, available at <http://csrc.nist.gov/CryptoToolKit/modes/proposedmodes/>.
- [K02] L.R. Knudsen. Analysis of RMAC. Comments to NIST. Available at <http://csrc.nist.gov/CryptoToolkit/modes/comments/>.
- [KVV03] T. Kohno, J. Viega, and D. Whiting, “The CWC Authenticated Encryption (Associated Data) Mode,” Submitted document for Modes of Operation for Symmetric Key Block Ciphers, Computer Security Resource Center of Information Technology Laboratory, National Institute of Standards and Technology, 2003, available at <http://csrc.nist.gov/CryptoToolKit/modes/proposedmodes/>.
- [KI03] K. Kurosawa and T. Iwata, “TMAC, Two-Key CBC MAC,” *Topics in Cryptology — CT-RSA 2003, The Cryptographers’ Track at the RSA Conference 2003, San Francisco, CA, USA, April 13–17, 2003. Proceedings*, ed. M. Joye, pp. 33–49, Lecture Notes in Computer Science vol. 2612, Springer-Verlag, 2003.
- [LN94] R. Lidl and H. Niederreiter. Introduction to finite fields and their applications, revised edition. Cambridge University Press, 1994.
- [LRW00] H. Lipmaa, P. Rogaway, and D. Wagner, “Comments to NIST Concerning AES Modes of Operations: CTR-mode Encryption,” available at <http://csrc.nist.gov/>.
- [LR02] M. Liskov, R.L. Rivest, and D. Wagner, “Tweakable Block Ciphers,” *Advances in Cryptology — CRYPTO 2002, 22nd Annual International Cryptology Conference Santa Barbara, California, USA, August 18–22, 2002. Proceedings*, ed. M. Yung, pp. 31–46, Lecture Notes in Computer Science vol. 2442, Springer-Verlag, 2002.
- [LR88] M. Luby and C. Rackoff, “How to Construct Pseudorandom Permutations from Pseudorandom Functions,” *SIAM J. Comput.*, vol. 17, no. 2, April 1988.

- [L96] S.Lucks, “Faster Luby-Rackoff Ciphers,” *Fast Software Encryption, Third International Workshop, Cambridge, UK, February 1996, Proceedings*, ed. D. Gollmann, pp. 189–203, Lecture Notes in Computer Science vol. 1039, Springer-Verlag, 1996.
- [M91] U. M. Maurer, “New Approaches to the Design of Self-Synchronizing Stream Ciphers,” *Advances in Cryptology — EURO-CRYPT ’91, Brighton, UK*, ed. D.W.Davies, pp. 458–471, Lecture Notes in Computer Science vol. 547, Springer-Verlag, 1991.
- [MRS88] S. Micali, C. Rackoff, and R. Sloan, “The notion of security for probabilistic cryptosystems,” *SIAM J. of Computing*, April 1988.
- [M02] C.J. Mitchell, “The Security of Two-key DESX,” COSIC Seminar, Katholieke Universiteit Leuven, 15th March 2002, Leuven, Belgium.
- [MI02a] S. Moriai and H. Imai, “2-Key XCBC: The CBC-MAC for Arbitrary Length Messages by the Two-key Construction,” a talk at the *Recent Results* session of *Fast Software Encryption, 9th International Workshop, FSE 2002, Leuven, Belgium, February 4–6, 2002*.
- [MI02b] S. Moriai and H. Imai, “2-Key XCBC: The CBC MAC for Arbitrary-Length Messages by the Two-Key Construction,” *Proceedings of SCIS2002, The 2002 Symposium on Cryptography and Information Security*, The Institute of Electronics, Information and Communication Engineers, 2002 (in Japanese).
- [NR99] M. Naor and O. Reingold. On the construction of pseudorandom permutations: Luby-Rackoff revised. *J. Cryptology*, vol. 12, no. 1, pp. 29–66, Springer-Verlag, 1999.
- [NR03] M. Naor and O. Reingold, “A Pseudo-Random Encryption Mode,” Working draft for SISWG, Security in Storage Working Group, document available at <http://www.siswg.org/docs/>.
- [PR00] E. Petrank and C. Rackoff. CBC MAC for real-time data sources. *J.Cryptology*, Vol. 13, No. 3, pp. 315–338, Springer-Verlag, 2000.
- [PGV94] B. Preneel, R. Govaerts, and J. Vandewalle, “Hash functions based on block ciphers: A synthetic approach,” *Advances in Cryptology — CRYPTO ’93, 13th Annual International Cryptology Conference, Santa Barbara, California, USA, August 1993. Proceedings*,

- ed. D.R. Stinson, pp. 368–378, Lecture Notes in Computer Science vol. 773, Springer-Verlag, 1994.
- [PvO96] B. Preneel and P. C. van Oorschot. On the security of two MAC algorithms. *Advances in Cryptology — EUROCRYPT '96, LNCS 1070*, pp. 19–32, Springer-Verlag, 1996.
- [RFC2040] R. Baldwin and R. Rivest, “The RC5, RC5-CBC, RC5-CBC-Pad, and RC5-CTS Algorithms,” RFC 2040 (1996), available at <http://www.ietf.org/rfc/rfc2040.txt>.
- [R97] R.L. Rivest, “All-Or-Nothing Encryption and the Package Transform,” *Fast Software Encryption, 4th International Workshop, FSE'97, Haifa, Israel, January 20–22, 1997, Proceedings*, ed. E. Biham, pp. 210–218, Lecture Notes in Computer Science vol. 1267, Springer-Verlag, 1997.
- [R95] P. Rogaway. Bucket hashing and its application to fast message authentication. *Advances in Cryptology — CRYPTO '95, LNCS 963*, pp. 29–42, Springer-Verlag, 1995.
- [RBBK01a] P. Rogaway, M. Bellare, J. Black, and T. Krovetz, “OCB: A Block-cipher Mode of Operation for Efficient Authenticated Encryption,” *Eighth ACM conference on computer and communications security CCS-8*, ACM Press, 2001.
- [RBBK01b] P. Rogaway, M. Bellare, J. Black, and T. Krovetz, “OCB: A Block-cipher Mode of Operation for Efficient Authenticated Encryption,” Submitted document for Modes of Operation for Symmetric Key Block Ciphers, Computer Security Resource Center of Information Technology Laboratory, National Institute of Standards and Technology, 2001, available at <http://csrc.nist.gov/CryptoToolkit/modes/proposedmodes/>.
- [R02a] P. Rogaway. Comments on NIST’s RMAC proposal. Comments to NIST. Available at <http://www.cs.ucdavis.edu/~rogaway/xcbc/index.html>. Also available at <http://csrc.nist.gov/CryptoToolkit/modes/comments/>.
- [R02b] P. Rogaway, “The EMD Mode of Operation (A Tweaked, Wide-Blocksize, Strong PRP),” *Cryptology ePrint Archive 2002/148*, <http://eprint.iacr.org/2002/148/>.

- [RW03] P. Rogaway and D. Wagner, “A Critique of CCM,” available at <http://www.cs.berkeley.edu/~daw/papers/ccm.html>.
- [V02] S. Vaudenay, “Security Flaws Induced by CBC Padding — Applications to SSL, IPSEC, WTLS...,” *Advances in Cryptology — EUROCRYPT 2002, International Conference on the Theory and Application of Cryptographic Techniques, Amsterdam, the Netherlands, April 28–May 2, 2002, proceedings*, ed. L. Knudsen, pp. 534–546, Lecture Notes in Computer Science vol. 2332, Springer-Verlag, 2002.
- [WC81] M. Wegman and L. Carter, “New Hash Functions And Their Use in Authentication And Set Equality,” *Journal of Computer and System Sciences*, vol. 22, 1981.
- [W98] D. Wagner, “Cryptanalysis of Some Recently-proposed Multiple Modes of Operation,” *Fast Software Encryption, 5th International Workshop, FSE’98, Paris, France, March 1998. Proceedings*, ed. S. Vaudenay, pp. 254–269, Lecture Notes in Computer Science vol. 1372, Springer-Verlag, 1998.
- [W02a] D. Wagner, Comments on RMAC. Comments to NIST. Available at <http://csrc.nist.gov/CryptoToolkit/modes/comments/>.
- [W02b] D. Wagner, “OFB and CFB modes: A Cautionary Note Regarding IV Selection,” Rump-session Talk at CRYPTO 2002, 22nd Annual International Cryptology Conference Santa Barbara, California, USA, Aug. 18–22, 2002.
- [WHF02] D. Whiting, R. Housley, and F. Ferguson, “Counter with CBC-MAC (CCM) — AES Mode of Operation,” Submitted document for Modes of Operation for Symmetric Key Block Ciphers, Computer Security Resource Center of Information Technology Laboratory, National Institute of Standards and Technology, 2002, available at <http://csrc.nist.gov/CryptoToolKit/modes/proposedmodes/>.
- [WHR02] D. Whiting, R. Housley, and N. Ferguson, “AES Encryption & Authentication Using CTR Mode & CBC-MAC,” *IEEE P802.11 doc 02/001r2*, May 2002.

- [WWW1] SISWG, Security in Storage Working Group, An IEEE Information Assurance Activity, URL at <http://www.siswg.org/>.
- [WWW2] CRYPTREC, Cryptography Research and Evaluation Committees, <http://www.ipa.go.jp/security/enc/CRYPTREC/>.
- [WWW3] CRYPTREC, Cryptography Research and Evaluation Committees, <http://www.shiba.tao.go.jp/kenkyu/CRYPTREC/>.
- [WWW4] <http://www.itl.nist.gov/fipspubs/>.
- [WWW5] <http://www.nist.gov/>.
- [WWW6] <http://csrc.nist.gov/publications/nistpubs/>.
- [WWW7] <http://www.ansi.org/>.
- [WWW8] <http://www.cosic.esat.kuleuven.ac.be/nessie/>
- [WWW9] <http://www.nist.gov/>.